

RÉPUBLIQUE DU SÉNÉGAL



ÉCOLE POLYTECHNIQUE DE THIÈS

PROJET DE FIN D'ETUDES

EN VUE DE L'OBTENTION DU DIPLÔME D'INGÉNIEUR DE CONCEPTION

TITRE

CALCUL DE COQUES  
PAR ELEMENTS FINIS

DATE : 7 JUIN 1986

AUTEUR : YVES HABIB FRANCIS KONATE  
DIRECTEUR : MOUHAMADOU M. NDIAYE  
CO-DIRECTEUR :

## REMERCIEMENTS

je voudrais remercier

— Monsieur Mouhamadou Moustapha NDIAYE,  
professeur, pour avoir accepté la direction du  
projet

— l'équipe de techniciens et techniciennes  
du Centre de Calcul

— Monsieur Abdoul Aziz Gueye pour sa  
collaboration

## SOMMAIRE

Ce ouvrage est le rapport d'un travail effectué dans le but d'élaborer un logiciel de calcul de coques et de plaques par la méthode des éléments finis.

Après une introduction qui donne les raisons du choix du sujet comme projet de fin d'étude, nous avons procédé à la présentation des différents thèmes relatifs à la réalisation du logiciel, en insistant sur le côté pratique de leurs applications; c'est ainsi que nous décrivons d'abord la méthode des éléments finis, en évitant de nous attarder sur son aspect mathématique; il s'agit ensuite de la théorie des coques et des plaques dans laquelle on introduit juste les équations dont nous aurons besoin dans le troisième thème; ce dernier développe les formules nécessaires à l'élaboration du logiciel.

L'élément utilisé est le type le plus simple qui existe: un élément triangulaire à trois nœuds répartis à ses sommets.

L'analyse des résultats fait ressortir les limites du logiciel et les dispositions relatives à son exploitation; mais auparavant, on a décrit le fonctionnement du logiciel, de même que les noms des variables qui y sont utilisées.

3.4 Le voile mince	56
3.5 Résolution des équations et calcul des contraintes	62
<b>4 PRESENTATION DU LOGICIEL</b>	
4.1 Lecture des données	64
4.2 Calcul de l'adresse des diagonales	65
4.3 Boucle de calcul des données des éléments	66
4.4 Traitement des restraintes et décomposition	67
4.5 Boucle des cas de chargement	68
4.6 Algorithme du programme principal	69
<b>CONCLUSION</b>	70
<b>REFERENCES</b>	71
Appendix	71
listing du programme	90
Bibliographie	113

# INTRODUCTION

CHAPITRE I

PRESENTATION DE  
LA  
METHODE DES ELEMENTS  
FINIS

Depuis quelques années déjà, des travaux ont été entrepris à l'école polytechnique de Thies pour développer la conception assistée par ordinateur (C.A.O.), dans le domaine de l'analyse des structures. C'est ainsi que deux logiciels ont été réalisés :

- l'un pour l'analyse automatique des cadres rigides linéaires, et
- l'autre pour l'analyse des murs par élément fini.

Cette année, on se propose de confectionner un logiciel qui permettra d'analyser les plaques et les voiles minces en flexion.

La forme et les conditions d'appuis des plaques rencontrées dans la majorité des problèmes pratiques rendent difficiles l'utilisation des méthodes classiques : la méthode des séries doubles de Navier et celle des séries simples de Lévy sont limitées aux plaques rectangulaires, tandis que la méthode des différences finies connaît des difficultés lors de la représentation des conditions aux limites ; ce sont là les raisons du choix de la méthode des éléments finis : elle est la seule méthode susceptible de résoudre sans grosses difficultés les problèmes de plaques et de coques de formes quelconques.

Dans notre étude, nous appliquerons la théorie des plaques minces ; les déflections sont faibles et on néglige la distorsion de la section droite sous l'influence des efforts tranchants. Ces suppositions forment aussi

les bases de la théorie des voiles minces; la différence supplémentaire réside dans le comportement des plaques et des coques sous l'effet des charges extérieures alors que l'équilibre statique d'une plaque subissant des charges latérales est possible grâce à l'action des moments de torsion et de flexion, ainsi que des forces de cisaillement, les coques en général sont capables de transmettre les charges de surface par le biais des contraintes membranaires qui agissent parallèlement au plan tangent à un point donné de la surface médiane.

Une étude sur la théorie des membranes et de celle des plaques en flexion fera suite à une présentation de la théorie des éléments finis; c'est alors que nous procéderons à l'élaboration du logiciel; le langage utilisé sera le FORTRAN 77.

Nous supposons que le matériau utilisé est homogène, isotrope et élastique linéaire; nous ne tiendrons pas non plus compte des contraintes générées par les variations de température, ni de celles dues à d'éventuelles déformations initiales.

## 1.1 HISTORIQUE

Cent ans après l'établissement des bases de l'analyse structurelle et la consolidation des théories sur la flexion et la torsion des poutres durant la période de 1850 à 1860, le champ d'application de l'analyse des structures se limitait toujours à l'étude des systèmes unidimensionnels constitués d'éléments poutres et treillis; Toutefois en 1909, RITZ avait trouvé une méthode puissante de résolution approchée des problèmes de la mécanique des milieux continus; cette méthode consistait à minimiser un fonctionnelle, c'est-à-dire une fonction de fonctions par rapport aux inconnues; les fonctions prises à l'essai étaient des inconnues et devaient vérifier les conditions frontières du problème; c'est en ce point que résidait la difficulté de la méthode de Ritz. En 1943, COURANT la contourna en choisissant plusieurs fonctions linéaires qui se devaient de vérifier les conditions frontières en un nombre fini de points situés sur la frontière; mais le grand nombre d'équations à traiter devait arrêter le développement de cette méthode à l'époque.

En 1950, avec l'avènement de l'industrie de l'aéronautique, on développa un élément structural à deux dimensions afin d'améliorer la rigidité des éléments à fine membrane qu'on reliant aux traditionnels éléments unidimensionnels.

En 1960, CLOUGH utilisa pour la première fois le terme élément fini, dans son mémoire intitulé "The finite element method in plane stress analysis". La métho-

de connu un grand succès lié au développement des ordinateurs qui permettent le traitement numérique d'un grand nombre d'opérations.

De nos jours, la méthode des éléments finis est utilisée dans beaucoup d'autres domaines que celui de l'analyse structural : chaleur, mécanique des fluides, mécanique des sols, hydrologie, etc...

## 1. 2 LA STRUCTURE, SYSTEME PHYSIQUE A RESOUDRE

Dans la construction, le rôle principal de l'ingénieur est de procéder à l'analyse des structures en vu de leur dimensionnement ; les structures constituent des systèmes physiques dont l'analyse n'est pas toujours facile ; or, un système physique est caractérisé par un ensemble de variables qui dépendent des coordonnées spatiales et du temps ; dans le cas où ces variables ne dépendent pas du temps, le système est dit stationnaire.

Certaines variables sont connues a priori ; il s'agit des propriétés physiques, des dimensions du système, des solicitations, des conditions aux limites, etc... ; d'autres variables U par contre sont inconnues : déplacements, contraintes, etc... ; il apparaît immédiatement que le problème revient à construire à l'aide des lois physiques, un modèle mathématique reliant le champ inconnu au champ connu et dont la résolution donnera la valeur du champ inconnu.

Le nombre de degrés de liberté d'un système physique est le nombre de paramètres nécessaires pour définir le

champ si à un instant  $t$  donné, le système est discret s'il possède un nombre fini de degrés de liberté; dans le cas contraire, il est dit continu: une structure est un système continu car il possède un nombre infini de points où on peut définir les champs des forces, les champs des contraintes, des déplacements et des déformations.

Alors que le comportement d'un système discret est décrit par un système d'équations algébriques, dont la résolution peut être faite avec les méthodes numériques, le comportement d'un système continu est décrit par un système d'équations aux dérivées partielles associées aux conditions aux limites; compte tenu de la complexité de ces conditions, ces équations ne peuvent pas toujours être résolues directement; il est nécessaire de les discréteriser c'est-à-dire de les remplacer par des équations algébriques; la solution d'un problème de structure peut être mise sous forme variationnelle, c'est-à-dire qu'on peut exprimer à l'aide des méthodes énergétiques de la mécanique des matériaux qui une fonctionnelle prend une valeur stationnaire; la méthode des éléments finis est une méthode numérique de résolution approchée des problèmes de champ qui peuvent s'exprimer sous forme variationnelle;

### 1.3 INTERPRETATION PHYSIQUE

La méthode des éléments finis est basée sur le principe général bien connu désigné par l'expression « going

from part to whole»; elle consiste physiquement à considérer le milieu physique comme un assemblage de plusieurs petites parties : les éléments finis. La structure est subdivisée en un nombre fini de tels éléments, liés par un nombre fini de conditions de continuité, exprimées en certains points communs à plusieurs éléments, les noeuds. Ces conditions stipulent l'égalité des paramètres des divers champs aux noeuds communs.

On s'intéresse au comportement d'un seul élément que l'on voudrait exprimer en fonction de sa géométrie et de ses propriétés physiques; en présumant un champ de déplacements dans un élément, il est possible en utilisant les théorèmes énergétiques d'en tirer une matrice reliant les forces nodales aux déplacements modaux de l'élément; il en résulte une relation matricielle générale applicable à n'importe quel élément de la structure entière. La matrice des éléments assemblés est générée en appliquant une technique d'assemblage.

La représentation d'un milieu continu par des éléments structuraux assemblés n'est pas nouvelle; elle a déjà été utilisée dans la méthode des déplacements pour les structures dont les éléments ont un caractère unidimensionnel : structures formées de barres. Par contre, l'idée nouvelle est l'élément fini à deux ou trois dimensions qui permet de reproduire de façon plus exacte les propriétés physiques du continu qu'il divise.

## 1.4 PROCÉDURE D'UN CALCUL PAR ÉLÉMENTS FINIS

elle comporte les étapes suivantes :

- idéalisation et discréétisation de la structure
- évaluation des propriétés des éléments
- résolution de la structure discréétisée

### 1.4.1. Idéalisation et discréétisation d'une structure

C'est l'ensemble des opérations à effectuer pour établir le modèle mathématique de calcul représentant au mieux la structure réelle; elles portent sur les deux aspects principaux du problème pratique : la topologie (géométrie et charges) et la rhéologie (le matériau)

L'idéalisation consiste à rattacher la structure réelle à un modèle connu de la mécanique des matériaux : choix de la théorie et des équations constitutives décrivant le matériau; au point de vu topologique, il faut :

- ramener la structure à sa géométrie en choisissant des plans (parois ou plaques) ou des surfaces courbes (coques)
- choisir la théorie la plus appropriée à cette géométrie
- définir les conditions d'appui et les charges.

Au point de vu rhéologique, il faut :

- choisir les lois constitutives des matériaux et
- déterminer les constantes qui définissent ces lois.

La discréétisation est l'ensemble des opérations préparatoires à la résolution effective de la structure principalement idéalisée; elle consiste d'une part à décou-

per fintivement la structure en éléments simples et d'autre part choisir le type de ces éléments; pratiquement, cette étape est guidée par la topologie.

Il importe de noter que l'idéalisations et les théories proposées sont généralement imparfaites, si bien que les résultats ne sont corrects que dans le cadre de ces idéalisations.

#### 1.4.2 Evaluation des propriétés des éléments

la discréttisation effectuée, il convient de se rappeler que les éléments finis sont limités entre eux par des lignes (pour les éléments bidimensionnels) ou par des plans (pour les éléments tridimensionnels); étant entendu que l'assemblage des éléments doit reconstituer la structure réelle tout entière et son comportement, certaines précautions doivent être prise dans le choix des propriétés de l'élément fini; c'est pourquoi, on doit s'efforcer de respecter les conditions suivantes:

— on doit exprimer la compatibilité des déplacements ou l'équilibre des forces tout le long des frontières séparant les éléments, et non pas en quelques points des frontières ou nœuds uniquement; le fait de faillir à cette exigence se traduirait par des concentrations de contraintes aux nœuds et des discontinuités de déplacements et contraintes entre les nœuds.

— les fonctions décrivant les champs de déplacements ou de contraintes dans les éléments finis n'étant pas connues a priori, on doit faire des hypothèses sur ces fonctions;

Tout champ s'exprime en fonction d'un certain nombre de paramètres qui eux-même sont fonctions des inconnues nodales; le champ est choisi de façon à respecter au mieux les conditions de compatibilité ou d'équilibre le long des frontières liant les nœuds; les fonctions décrivant un champ inconnu sont normalement des fonctions polynomiales de degré infini; toute fois, on ne peut utiliser que des fonctions polynôme de degré fini; il apparaît que cette troncature affecte la précision des résultats; c'est pourquoi, ces fonctions doivent satisfaire à divers critères, assurant la convergence de la solution approchée vers la solution exacte.

Suivant la grandeur sur laquelle on fait le choix d'un champ et suivant les conditions que ce champ respecte, tant à l'intérieur que sur la frontière de l'élément, on peut créer différents modèles d'éléments finis; ainsi, on distingue les éléments deplacement et les éléments équilibre.

Les éléments deplacement sont élaborés à partir d'un champ de déplacements exclusivement; les éléments deplacement purs sont tels que les déplacements sont continus dans l'élément (compatibilité interne) et d'un

élément à l'élément voisin (compatibilité à travers la frontière); par contre le champ de contrainte qu'on déduit ne vérifie pas cette compatibilité et les conditions d'équilibre sont violées par ces modèles; si la compatibilité à travers la frontière n'est pas vérifiée, on a un élément déplacement non pur.

Pour les éléments équilibrés, ils sont obtenus à partir d'un champ de contraintes exclusivement; les propriétés des déplacements pour les éléments déplacement sont maintenant valables pour les contraintes, et inversement celles des contraintes pour les déplacements.

Dans notre étude, nous utilisons des éléments déplacement; les fonctions, dans ce cas, sont appellées fonction de déplacements; elles sont liées au nombre d'inconnues (déplacements) de l'élément: si un élément possède  $n$  déplacements linéairement indépendants, on choisit généralement un ensemble de fonctions ayant au total  $n$  paramètres inconnus; les critères de convergence qu'elles doivent vérifier sont:

Critère n° 1: la fonction de déplacement choisie doit être telle qu'elle ne permet pas la déformation d'un élément lorsque les déplacements de ses noeuds sont la conséquence d'un mouvement du corps rigide: en effet, la fonction de déplacement devrait représenter le champ réel aussi fidèlement que possible, il ne faut

drait pas qu'elle permette la déformation d'un élément alors qu'il est soumis à un déplacement de corps rigide.

critère n° 2: la forme de la fonction de déplacement doit être choisie telle que, si les déplacements nodaux sont compatibles avec un état de déformation constante, on obtienne réellement ces déformations constantes dans tout l'élément: ce deuxième critère est issu des exigences du premier; lorsque la taille des éléments décroît, il y régne des conditions de déformation constante; il faudrait donc éviter de prendre des fonctions satisfaisant au premier critère, mais qui en même temps nécessitent une variation des déformations dans l'élément alors que ses déplacements nodaux sont compatibles avec un état de déformation constante; à propos de ce critère, on parle aussi de critère de constance des dérivées premières.

critère n° 3: entre les éléments, on doit avoir la continuité des jumaines uniquement (i.e que la continuité des pentes n'est pas nécessaire); autrement dit, les fonctions de déplacement doivent être choisies de telle manière que les déformations aux interfaces des éléments soient finies (bien qu'in déterminées); c'est la condition de compatibilité pur de l'élément

#### 1.4.3 Résolution de la structure discrétisée

La méthode de résolution employée est celle des déplacements; elle découle du principe de variation des déplacements. Le système d'équations obtenu par l'application de ce principe exprime physiquement en chacun des nœuds, l'égalité des composantes de deux types de forces nodales, résultantes énergétiques

- des forces intérieures produites dans la structure par sa déformation, et
- des forces produites par les sollicitations extérieures;

Les équations obtenues traduisent l'équilibre des nœuds; l'énergie étant quadratique, elles sont linéaires et la matrice de leurs coefficients s'appelle la matrice de rigidité de la structure; elle est symétrique et elle exprime les forces en fonction des déplacements.

Les opérations principales de l'analyse par la méthode des déplacements sont les suivantes:

- a) déterminer la matrice de rigidité de chaque élément dans un système d'axe propre à l'élément (local)
- b) transformer la matrice du système local au système d'axes global relatif à la structure complète
- c) superposer les matrices individuelles pour obtenir, par assemblage, la matrice de rigidité de la structure complète :  $[K]$

- d) Résoudre l'équation  $\{\bar{F}\} - [K]\{\bar{A}\} = \{0\}$
- e) à partir des solutions trouvées  $\bar{A}$  (déplacements aux nœuds), calculer les contraintes aux points déb

rés.

Nous allons maintenant voir, comment on détermine la matrice de rigidité à partir du principe variationnel.

## 1.5 FORMULATION DE LA RIGIDITÉ PAR ELEMENT FINI

### 1.5.1 Principe de l'énergie potentielle minimale

Le "potentiel total" est fonction des déplacements. Lorsqu'il est dérivé (ou minimisé) par rapport aux déplacements, on obtient des équations d'équilibre; le principe de l'énergie potentielle minimale sert à dériver les équations d'équilibre; on l'appelle également principe de variation des déplacements, et il s'écrit comme suit:

« Parmi toutes les configurations possibles pour déplacer un système tout en satisfaisant les conditions initiales et les conditions frontières, les champs de déplacements qui en plus vont satisfaire les équations d'équilibre, rendront alors l'énergie potentielle totale stationnaire. Si cette valeur est un minimum, l'équilibre est stable ». »

Si on désigne par  $\Pi_{pe}$  cette énergie, ce principe s'écrit :

$$\delta \Pi_{pe} = 0 \quad (\text{éq. 1})$$

Quant à l'énergie totale, elle se compose de l'énergie

interne, ou énergie de déformation  $U_e$ , et de l'énergie externe, ou énergie potentielle des forces extérieures,  $W$ :

$$TIP_e = U_e + W \quad (\text{éq. 2})$$

### 1.5.2 Formulation générale de l'énergie potentielle

#### 1.5.2.1 Energie interne

L'expression de l'énergie interne au niveau d'un élément est :

$$U_e = \int_V U_0 \, dv \quad (\text{éq. 3})$$

où  $U_0$  est la densité d'énergie de déformation.

Considérons un corps de volume unité, aux propriétés élastiques où les contraintes sont liées aux déformations par les lois constitutives (type Hooke) :

$$\{\sigma\} = [E] \{ \{e\} - \{e_0\} \} = [E] \{e\} + \{\sigma_0\} \quad (\text{éq. 4})$$

si à cause d'un déplacement infinitésimal, l'énergie interne  $U_0$  est augmentée de  $\delta U_0$ , on a :

$$\delta U_0 = \{\sigma\}^t / \{e\} \quad (\text{éq. 5})$$

$$\begin{aligned} \Rightarrow \delta U_0 &= \sigma_x \delta e_x + \sigma_y \delta e_y + \dots \\ &= \frac{\partial U_0}{\partial e_x} \delta e_x + \frac{\partial U_0}{\partial e_y} \delta e_y + \dots \end{aligned}$$

$$\Rightarrow \sigma_x = \frac{\partial U_0}{\partial e_x}, \quad \sigma_y = \frac{\partial U_0}{\partial e_y}, \quad \dots$$

ou encore, sous forme matricielle :

$$\left\{ \frac{\partial U_0}{\partial \epsilon} \right\} = \{ \sigma \} = [E] \{ \epsilon \} + \{ \sigma_0 \}$$

L'intégration de cette équation donne :

$$U_0 = \frac{1}{2} \{ \epsilon \}^t [E] \{ \epsilon \} + \{ \epsilon \}^t \{ \sigma_0 \} \quad (\text{eq. 6})$$

Dans cette équation,  $[E]$  est la matrice d'« elasticité »; elle montre bien que  $U_0$  est une forme quadratique.

### 1.5.2.2 Energie externe

Parmi les forces extérieures, on distingue :

- les forces de surface  $\{ P_S \}$
- les forces de volume  $\{ P_V \}$
- les forces concentrées en des points particuliers  $\{ P_f \}$ .

Si  $\{ u \}$  est le champ de déplacements, on a :

$$W = - \int_V \{ u \}^t \{ P_V \} dv - \int_S \{ u \}^t \{ P_S \} ds - \{ \Delta \}^t \{ P_f \} \quad (\text{eq. 7})$$

$\{ \Delta \}$  est la configuration des déplacements des points d'application de  $\{ P_f \}$ ; le signe moins (-) de l'équation 7 y est à cause du fait que les charges extérieures perdent de leur capacité à effectuer du travail.

### 1.5.2.3 Energie potentiel totale

Des équations 2, 3, 6 et 7, on a :

$$\Pi_{Pe} = \int_V \left( -\frac{1}{2} \{E\}^t [E] \{E\} + \{E\}^t \{P_v\} \right) dv - \int_S \{u\}^t \{P_v\} dv - \int_S \{u\}^t \{P_s\} ds \\ - \{d\}^t \{P\} \quad (\text{eq. 8})$$

si le polynôme choisi est bon pour décrire le champ  $u_f$  satisfait aux conditions frontières, la méthode de l'énergie potentielle minimale de la structure devient la méthode de Rayleigh-Ritz.

### 1.5.3 Formulation par élément fini

Elle consiste à appliquer la méthode de Ritz, à la seule différence que:

— au lieu de minimiser  $\Pi_P$  au niveau entier de la structure, on le fait au niveau des éléments seulement.

— au lieu de minimiser  $\Pi_{Pe}$  par rapport à des constantes, on le fait par rapport à des degrés de liberté aux noeuds, et ce toujours dans le cadre d'un seul élément.

Supposons que le champ de déplacement  $u_f$  soit donné en fonction d'un polynôme :

$$u_f = [G] \{d\} \quad (\text{eq. 9})$$

où  $\{d\}$  est un vecteur de constante.

On peut par différentiation de  $u_f$ , évaluer les déformations unitaires :

$$\{E\} = [B_d] \{d\} \quad (\text{eq. 10})$$

Si on substitue (9) et (10) dans (8), on a :

$$\Pi_{Pe} = \frac{1}{2} \{d\}^t \int_V [B_d]^t [E] [B_d] dv \{d\} - \{d\}^t \int_V [G]^t \{P_v\} dv - \{d\}^t \int_S [G]^t \{P_s\} ds - \{d\}^t \{P\} \quad (\text{eq. 11})$$

comme déjà dit, au lieu d'appliquer la méthode de Ritz ( $\frac{\delta \Pi_P}{\delta \bar{u}} = 0$ ), on va évaluer les constantes  $\{d\}$  en fonction de  $\{f\}$ :

L'équation (12) donne  $\{d\}$  à chaque nœud; par conséquent, on obtient  $\{d\}$ :

$$\{d\} = [C]^{-1} \{f\} \quad (\text{eq. 12})$$

$$\text{et} \quad \{d\} = [C^{-1}] \{f\} \quad (\text{eq. 13})$$

Si on substitue (13) dans (11), on a:

$$\begin{aligned} \Pi_P = & \frac{1}{2} \left\{ \int_{\Omega} \{d\}^T [C^{-1}]^T \left[ [B_d]^T [E] [B_d] \right] dv \right. \\ & \left. [C^{-1}] \{d\} - \{d\}^T [C^{-1}]^T \right\} \left[ [G]^T \{P_f\} dv \right. \\ & \left. - \{d\}^T [C^{-1}]^T \left[ [G]^T \{P_3\} ds \right] - \{d\}^T \{P_f\} \right] \quad (\text{eq. 14}) \end{aligned}$$

L'énergie potentielle totale de la structure est la somme des énergies potentielles de chaque élément:

$$\Pi_P = \sum \Pi_{P_e} \quad (\text{eq. 15})$$

Si  $\{\bar{f}\}$  est le vecteur des déplacements de toute la structure, on peut écrire à partir de (14) et (15) que:

$$\Pi_P = \frac{1}{2} \left\{ \int_{\Omega} \{d\}^T \left[ [C^{-1}]^T \left[ [B_d]^T [E] [B_d] dv \right] [C^{-1}] \right] \{d\} \right\} \quad (\text{eq. 16})$$

$$- \left\{ \int_{\Omega} \{d\}^T \left[ [C^{-1}]^T \left[ [G]^T \{P_f\} dv \right] \right] \{d\} \right\} - \left\{ \int_S \{d\}^T \left[ [G]^T \{P_3\} ds \right] \{d\} \right\} - \left\{ \int_{\Omega} \{d\}^T \{P_f\} \{d\} \right\}$$

Les équations d'équilibre sont celles qui vont satisfaire les conditions:

$$\frac{\partial \Pi_P}{\partial \bar{u}_1} = 0, \quad \frac{\partial \Pi_P}{\partial \bar{u}_2} = 0, \quad \dots, \quad \frac{\partial \Pi_P}{\partial \bar{u}_n} = 0 \quad (\text{eq. 17})$$

Les équations (17), écrites sous forme matricielle donnent l'expression suivante:

$$\left( \sum [C^{-1}]^t \int_V [B_u]^t [E] [B_d] dv [C^{-1}] \right) \{ \Delta \} = \\ \sum \left( [C^{-1}]^t \int_V [G]^t \{ P_f \} dv + [C^{-1}]^t \int_S [G]^t \{ P_f \} ds \right) + \{ \bar{P}_f \} \quad (\text{eq. 18})$$

Le côté gauche de l'équation représente la matrice de rigidité pour chaque élément :

$$[k]^e = [C^{-1}]^t \int_V [B_u]^t [E] [B_d] dv [C^{-1}] \quad (\text{eq. 19})$$

Quant aux intégrales au côté droit, elles représentent les forces équivalentes aux noeuds :

$$\{ P_{eqf} \}^e = [C^{-1}]^t \int_V [G]^t \{ P_f \} dv + [C^{-1}]^t \int_S [G]^t \{ P_f \} ds \quad (\text{eq. 20})$$

on peut donc écrire pour chaque élément :

$$[k]^e \{ \Delta \} = \{ P_f \} + \{ P_{eqf} \}^e \quad (\text{eq. 21})$$

et pour toute la structure, l'équation (21) devient

$$[K] \{ \Delta \} = \{ \bar{P}_f \} + \{ \bar{P}_{eqf} \} \quad (\text{eq. 22})$$

cette équation s'obtient par le processus d'assemblage

## CHAPITRE II

PRESENTATION DES  
COQUES ET PLAQUES

## 2.1 DEFINITION

L'idéalisat<sup>i</sup>on dont on a parl<sup>e</sup> dans la procédure de calcul en élément fini est une étape nécessaire dans le calcul des constructions de génie civil de toute nature; cela permet d'avoir un meilleur aperçu de l'essentiel de l'état des contraintes des solides à trois dimensions avec lesquels on a toujours affaire.

C'est ainsi que l'idéalisat<sup>i</sup>on d'un certain groupe d'éléments de construction conduit à la notion de coques; on dit aussi voile mince.

En effet, le désir de représenter de la meilleure façon possible le jeu des forces qui interviennent dans les parois des structures telles que les réservoirs, les ballons, les conduites, les coupole<sup>s</sup>, etc... nous emmène à l'idéalisat<sup>i</sup>on par solide continu à deux dimensions; ce sont des surfaces porteuses qui se divisent en deux catégories: les surfaces porteuses horizontales ou plaques, et les surfaces porteuses courbes ou coques.

Une coque est limitée par deux surfaces courbes, ses parois; leur écart  $h$ , épaisseur de la membrane, est variable, mais reste faible par rapport aux autres dimensions; la surface située entre les deux parois, et qui partage en deux l'épaisseur de la coque, est appellée surface médiane; une coque est géométriquement décrite par sa surface médiane et son épaisseur (figure 1); la courbure de la surface médiane est continue.

De cette définition des coques, on peut dire aussi

qu'une coque est une structure qui peut être obtenue à partir d'une plaque mince, en transformant le plan moyen en une surface à simple ou double courbure; si l'on suit que les hypothèses de distribution des contraintes et des déformations des plaques sont valables pour les coques; en effet, alors que les plaques travaillent essentiellement en flexion, les coques de part leur courbure transmettent également des efforts dans leur plan (effet membrane) (figure 2); les résultantes des

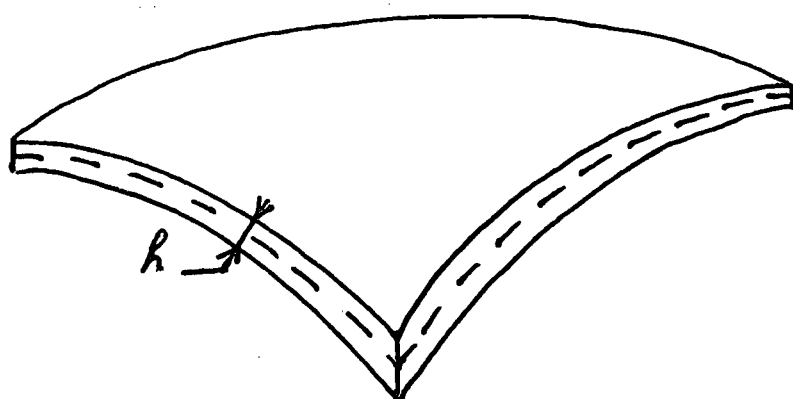
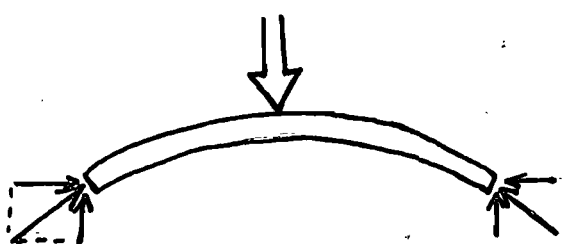
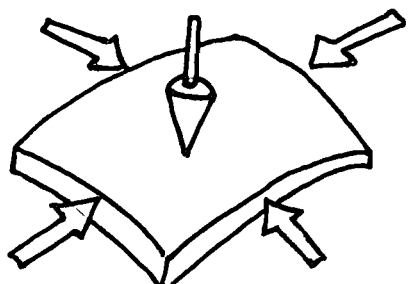


figure 1: élément de coque



vue en élévation



vue en perspective

figure 2: schéma arboré du libre d'un élément de coque

contraintes agissant parallèlement au plan moyen de la coque ont des composantes normales à la surface et supportent de ce fait la plus grande partie de la charge (raison économique de ce type de structure).

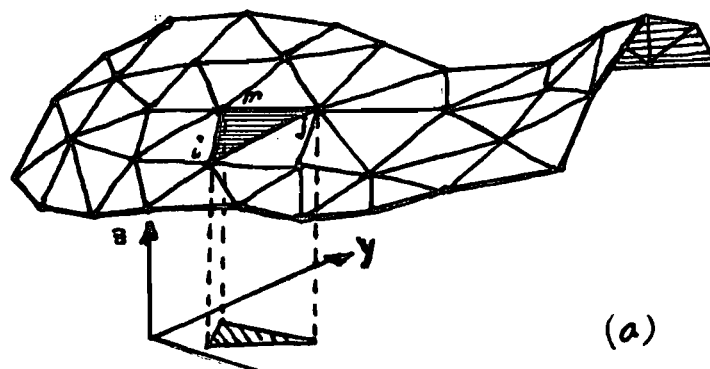
En élément fini, les difficultés inhérentes au traitement des coques sont contournées en faisant l'approximation qui consiste à supposer que le comportement d'une surface à courbure continue peut être convenablement représenté par celui d'une surface formée de petits éléments plats; on constate que l'approximation est d'autant meilleure que la taille des éléments décroît (figure 3).

Nous aurons donc à traiter des éléments plats subissant non seulement de la flexion, mais également des forces dans leur plan.

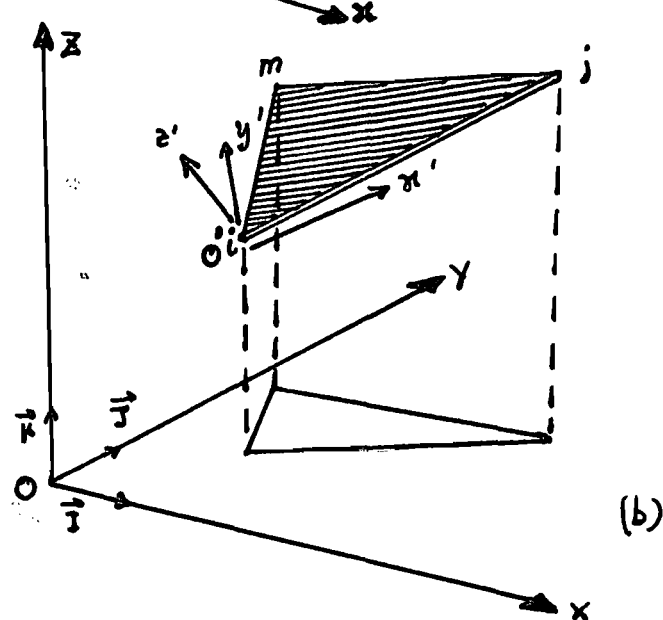
## 2.2 L'ETAT PLAN DE CONTRAINTE

Quand des forces sont appliquées à une plaque mince dans son propre plan, l'état de contrainte et de déformation à l'intérieur de la plaque est appelé « état plan de contrainte »; cet état est caractérisé par des conditions de très petites dimensions dans la direction z (fig. 4).

Aucune force n'étant appliquée suivant z sur la surface de la plaque, les composantes de contrainte  $\sigma_{xz}$  et  $\tau_{yz}$  sur la surface et  $\tau_z$  à travers l'épaisseur de la plaque s'annulent; il ne reste plus que les



(a)



(b)

Fig. 3 (a) Assemblage d'éléments triangulaires représentant une coque de forme arbitraire. (b) Coordonnées locales et coordonnées globales pour un élément triangulaire

contraintes  $\sigma_x$ ,  $\sigma_y$  et  $\tau_{xy}$ .

Considérons l'état de contrainte montré à la figure 5;  $\sigma_x$  et  $\sigma_y$  sont les contraintes normales agissant suivant  $x$  et  $y$  respectivement;  $\tau_{xy}$  et  $\tau_{yx}$  sont les contraintes de cisaillement qui agissent sur les bords  $x$  et  $y$  respectivement, et dans les directions  $y$  et  $x$  respectivement:

$$\{\sigma\} = [\sigma_x \ \sigma_y \ \tau_{xy}]^t$$

Ces contraintes correspondent aux déformations  $\{e\}$  générées à la suite des déplacements  $u_x$  et  $u_y$  dans les directions  $x$  et  $y$  (voir figure 6).

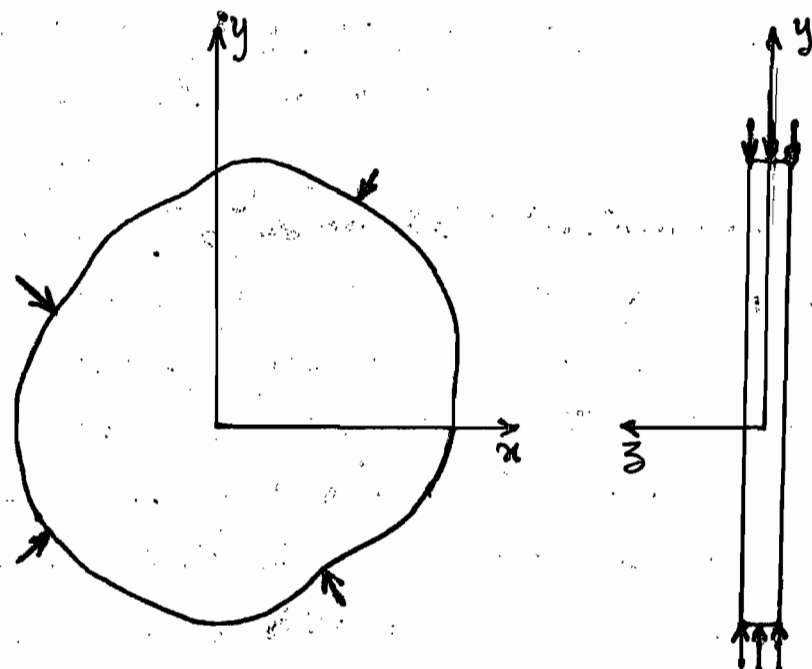


Figure 4 : Contraintes planes; plaque mince chargée dans son plan

$$\text{D'où : } \epsilon_x = \frac{\partial v}{\partial x} \quad \epsilon_y = \frac{\partial v}{\partial y} \quad \gamma_{xy} = \frac{\partial u}{\partial y} + \frac{\partial v}{\partial x} \quad (\text{eq. 23})$$

et  $\{e\} = [\epsilon_x \quad \epsilon_y \quad \gamma_{xy}]^t$

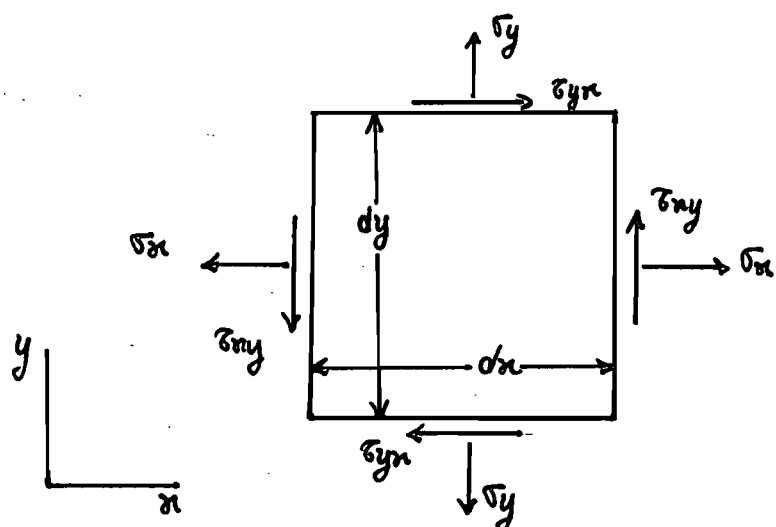


Fig 5: Contraintes dans le plan

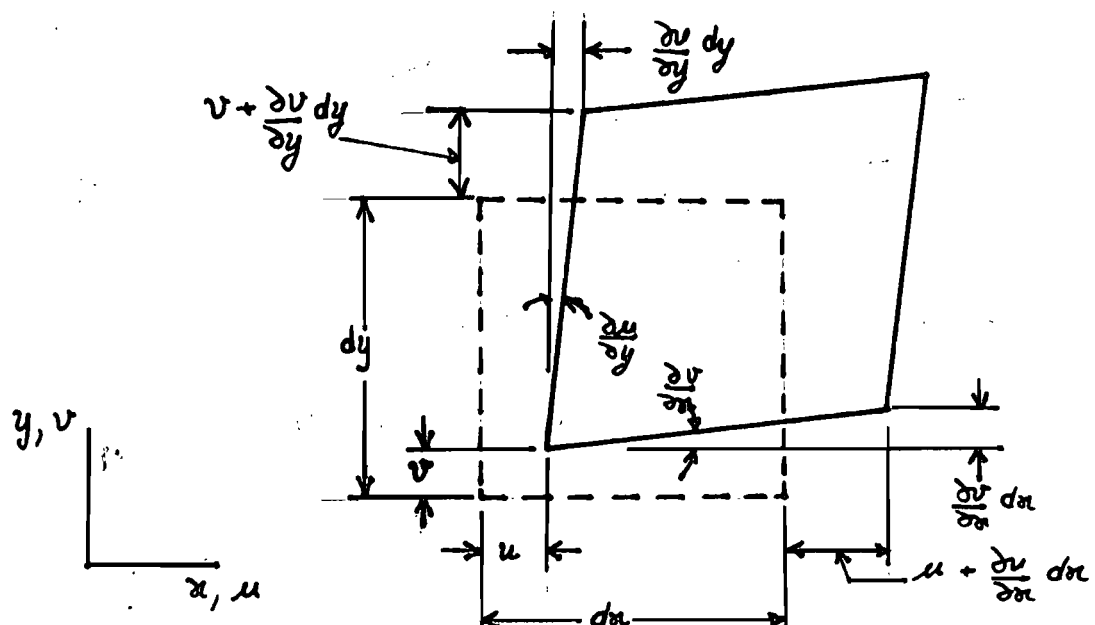


Fig 6 : déformations dans le plan

Comme  $\sigma_{xz} = \sigma_{yz} = \tau_{yz} = 0$ , d'après la loi de Hooke, on a alors :

$$\sigma_{xz} = \sigma_{yz} = 0$$

$$\tau_{xy} = \frac{1}{G} \sigma_{xy} = \frac{2(1+\nu)}{E} \sigma_{xy}$$

$$\epsilon_x = \frac{1}{E} (\sigma_x - \nu \sigma_y)$$

$$\epsilon_y = \frac{1}{E} (-\nu \sigma_x + \sigma_y)$$

$$\epsilon_z \neq 0$$

Si  $\{\sigma\} = [E] \{\epsilon\}$ , alors

$$\begin{bmatrix} \sigma_x \\ \sigma_y \\ \sigma_{xy} \end{bmatrix} = \frac{E}{1-\nu^2} \begin{bmatrix} 1 & \nu & 0 \\ \nu & 1 & 0 \\ 0 & 0 & \frac{1-\nu}{2} \end{bmatrix} \begin{bmatrix} \epsilon_x \\ \epsilon_y \\ \epsilon_{xy} \end{bmatrix} \quad (\text{éq. 24})$$

c'est la relation contrainte-deformation en état plan de contrainte ;  $[E]$  est la matrice d'élasticité correspondante ;  $\{\sigma\}$  est constant sur l'épaisseur de la plaque.

## 2.3 LES PLAQUES EN FLEXION

### 2.3.1 Flexion simple des plaques minces

Par opposition aux parois chargées dans leur plan, les plaques sont maintenant chargées perpendiculairement à leur plan moyen. Afin d'arriver à une formulation suffisamment simple du problème, on admet certaines hypothèses simplificatrices

### Hypothèses (Kirchhoff)

- les plaques sont minces par rapport aux dimensions horizontales
- les matériaux sont linéaires
- les contraintes et déformations sont dues à l'effet de flexion seulement:  $\nu = v = \epsilon_x = \epsilon_y = \delta_{xy} = 0$  à  $z=0$
- les déplacements sont faibles par rapport à l'épaisseur:  $w$  est petit suivant  $z$
- les effets secondaires dus au cisaillement sont ignorés
- les points se trouvent sur une normale au feuillet moyen avant la déformation s'y trouvent toujours après la déformation

Avec ces hypothèses, la plaque se comporte comme un empilement de feuilles d'épaisseur infinitésimale  $dz$ , qui se trouvent chacun en état plan de contrainte. Pour rendre possible l'équilibre selon  $z$ , on admettra par la suite également, l'existence des contraintes tangentielles transversales  $\tau_{xz}$  et  $\tau_{yz}$ , mais on considère négligeables les déformations correspondantes,  $\delta_{xz} = \delta_{yz} = 0$

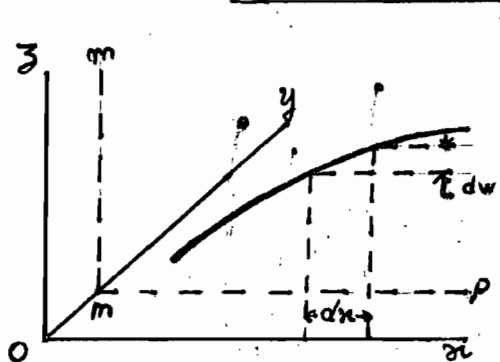
### Déformations et déplacements

Considérons la surface médiane d'une plaque et supposons qu'elle coïncide avec le plan  $z=0$ , avant que ne se produise la flexion due aux moments que nous appli-

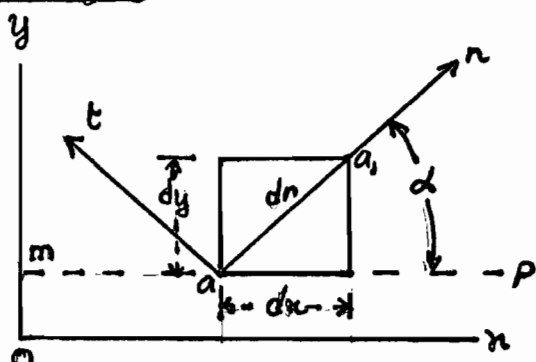
quons comme montre sur la figure 8; durant la flexion, les particules qui étaient dans le plan  $xy$  subissent de petits déplacements  $w$  perpendiculaires au plan  $xy$  (fig. 7); considérons une section normale à la plaque et parallèle au plan  $xz$  (fig. 7.a); la pente de la surface médiane dans la direction  $x$  est  $i_x = \frac{\partial w}{\partial x}$ ;

par le même raisonnement, celle dans la direction  $y$  est  $i_y = \frac{\partial w}{\partial y}$

$$i_x = \frac{\partial w}{\partial x} \quad i_y = \frac{\partial w}{\partial y} \quad (\text{eq. 25})$$



(a)



(b)

Fig. 7 : Pentes et courbures d'une plaque mince fléchie

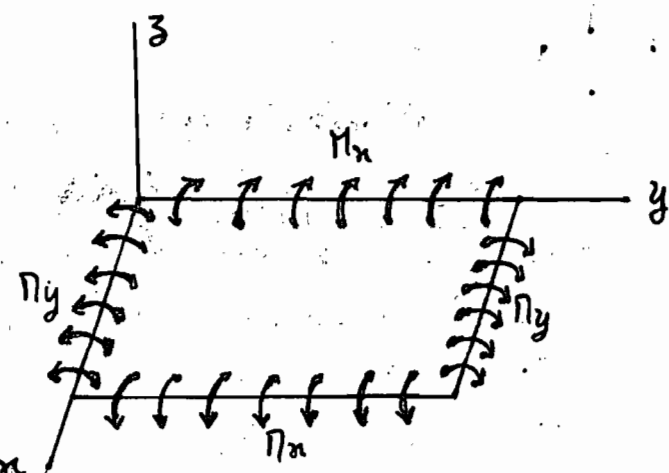


Fig. 8 : Plaque en flexion pure

si on considère maintenant une direction quelconque  $\alpha$  dans le plan  $xy$  (fig. 7.6), la différence des déflexions des deux points adjacents  $a$  et  $a'$ , est :

$$dw = \frac{\partial w}{\partial x} dx + \frac{\partial w}{\partial y} dy$$

et la pente correspondante est

$$\frac{\partial w}{\partial n} = \frac{\partial w}{\partial x} \cdot \frac{dx}{dn} + \frac{\partial w}{\partial y} \cdot \frac{dy}{dn} = \frac{\partial w}{\partial x} \cos \alpha + \frac{\partial w}{\partial y} \sin \alpha$$

Pour déterminer les courbures de la surface médiane de la plaque, on se rappelle que les déflexions  $w$  sont petites; dans un tel cas, la pente de la surface dans une quelconque direction peut être supposée égale à l'angle que fait la tangente à la surface dans cette direction avec le plan  $xy$ ; ainsi, prenons la direction  $\alpha$ ; si  $r_\alpha$  est le rayon de courbure, alors la longueur de l'arc de cercle d'angle  $d\beta$  est  $r_\alpha \cdot d\beta$  (fig. 9)

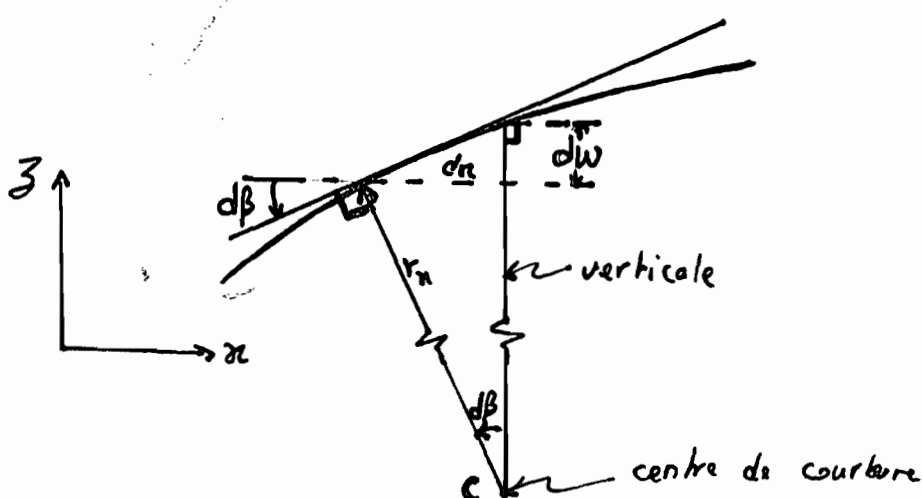


Fig 9 : figure 7-(a) détaillée

or la longueur de l'arc de cercle est assimilable à

$$\sqrt{dx^2 + dw^2} = dx \sqrt{1 + \left(\frac{dw}{dx}\right)^2} \approx dx$$

donc  $P_x = \frac{1}{r_x} = \frac{\partial \beta}{\partial x} \approx \frac{\partial (\beta \rho)}{\partial x} = \frac{\partial (-\frac{\partial w}{\partial x})}{\partial x}$

on fait le même raisonnement suivant la direction  $y$  et on a:

$P_x = -\frac{\partial^2 w}{\partial x^2}; P_y = -\frac{\partial^2 w}{\partial y^2}$

(26)

Le signe (-) moins apparaît car quand  $x$  augmente de  $dx$ , la pente  $\frac{\partial w}{\partial x}$  diminue.

Supposons que les moments  $P_x$  et  $P_y$  soient uniformément répartis sur les bords de la plaque; par analogie avec l'hypothèse de Bernoulli sur la flexion pure des barres prismatiques, la dernière hypothèse mentionnée de Kirchhoff permet de dire que la surface médiane ne subit pas de déformation et que les déformations du feuillet abcd (fig. 10) située à la distance  $z$  de l'axe neutre sont:

$E_x = 3P_x = -3\frac{\partial^2 w}{\partial x^2} \text{ et } E_y = 3P_y = -3\frac{\partial^2 w}{\partial y^2}$

(27.a)

des équations (23), on déduit que

$\gamma_{xy} = -2z \frac{\partial^2 w}{\partial x \partial y}$

∴ (27.b)

nous verrons par la suite, comment apparaissent ces grandeurs

### contraintes

les contraintes qui correspondent aux déformations des feuillets sont les contraintes qu'on avait en état plan de contrainte; en effet la plaque est mince, et les feuillets sont libres de se déformer dans les directions planes; la relation contrainte-déformation est donc celle de l'état plan de contrainte (équation 24);  $E$  est le module d'élasticité et  $\nu$  le coefficient de Poisson.

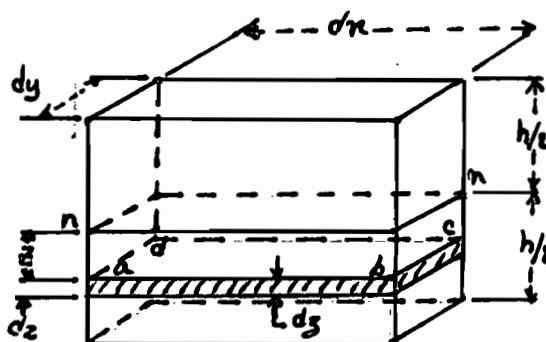


Fig. 10 : coupe d'un élément de plaque

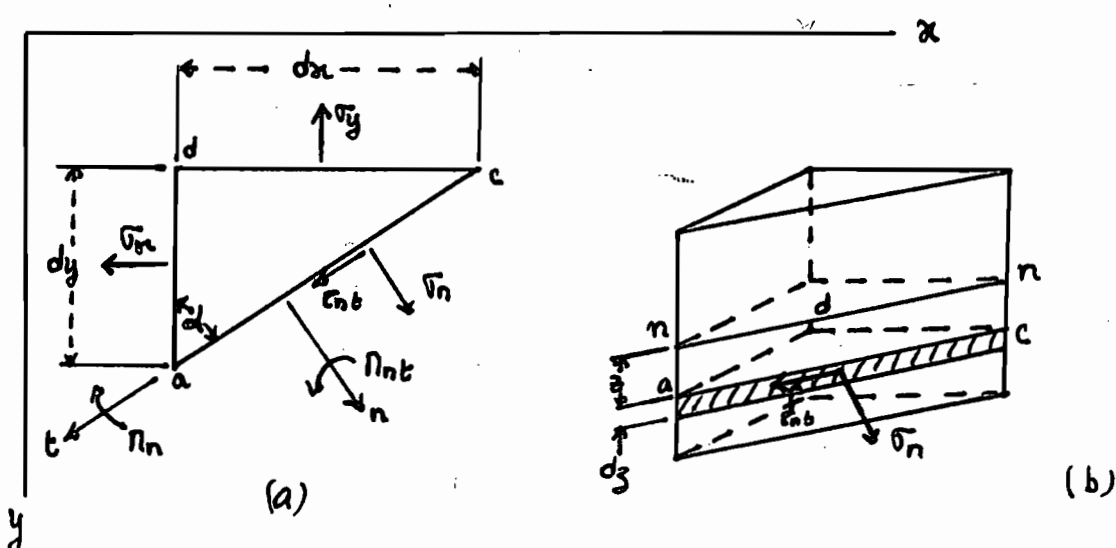


Fig. 11 : contraintes d'un feuillet d'un élément de plaque

En substituant (27-a) dans (26), on a:

$$\sigma_x = \frac{E\delta}{1-\nu^2} (p_x + \nu p_y) \quad (\text{eq. 28})$$

$$\sigma_y = \frac{E\delta}{1-\nu^2} (p_y + \nu p_x)$$

les tensions normales de chaque feuillet, réparties sur les faces latérales de l'élément de la figure 10 peuvent être réduites à des couples qui doivent être égaux aux moments extérieurs uniformément distribués (fig. 8); ainsi:

$$\int_{-h/2}^{+h/2} \sigma_x z dy dz = M_x dy \text{ et } \int_{-h/2}^{+h/2} \sigma_y z dx dz = M_y dx \quad (\text{eq. 29})$$

Si on remplace  $\sigma_x$  et  $\sigma_y$  de l'équation (28) dans (29), on a:

$$M_x = D(p_x + \nu p_y) \text{ et } M_y = D(p_y + \nu p_x) \quad (\text{eq. 30})$$

avec

$$D = \frac{E}{1-\nu^2} \int_{-h/2}^{+h/2} z^3 dz = \frac{Eh^3}{12(1-\nu^2)} \quad (\text{eq. 31})$$

$D$  est la rigidité à la flexion de la plaque

Considérons maintenant le cas d'une plaque fléchie, lorsque les tensions agissent sur une section parallèle à l'axe  $z$  et inclinée par rapport aux axes  $x$  et  $y$ ; si  $acd$  (fig. 11) représente une partie du feuillet mince  $abcd$  (fig. 10) découpé par la section

considérée, on peut déterminer la tension agissant sur la face ac au moyen des équations de la statique; si l'on décompose cette tension en une composante normale  $\sigma_n$  et une composante de cisaillement  $\tau_{nt}$ , la valeur de ces composantes est donnée par les équations

$$\sigma_n = \sigma_x \cos^2 \alpha + \sigma_y \sin^2 \alpha$$

$$\tau_{nt} = \frac{1}{2} (\sigma_y - \sigma_x) \sin 2\alpha$$

dans lesquelles  $\alpha$  est l'angle que fait la normale n avec l'axe des x (fig. 11-a); l'angle  $\alpha$  est considéré positif s'il est mesuré dans le sens horaire.

Considérant tous les feuillets analogues à ac sur toute l'épaisseur de la plaque (fig. 11-b), les tensions normales  $\sigma_n$  donnent le moment fléchissant agissant sur la section ac de la plaque, dont la valeur par unité de longueur de ac est

$$M_n = \int_{-h/2}^{+h/2} \sigma_n \cdot z \cdot dz \quad (\text{éq. 32-a})$$

$\tau_{nt}$  donne le moment de torsion agissant sur la section ac de la plaque, dont la valeur par unité de longueur de ac est

$$M_{nt} = - \int_{-h/2}^{+h/2} \tau_{nt} \cdot z \cdot dz \quad (\text{éq. 32-b})$$

Leurs signes sont choisis de façon à ce que les valeurs positives de ces moments soient représentées par des vecteurs dans les directions positives des n et t, si l'on emploie la règle des trois doigts de la main droite (fig. 11-a).

par suite des hypothèses que les faces de l'élément restent planes durant la flexion de la plaque et ne peuvent tourner qu'autour des axes neutres  $n-n$ , en restant normales à la surface élastique, il résulte que les déformations des fibres parallèles aux  $n$  et aux  $t$  (fig. 11-a) situées à la distance  $z$  du plan médian s'expriment par :

$$\epsilon_n = \frac{z}{r_n} \text{ et } \epsilon_t = \frac{z}{r_t}$$

où  $r_n$  et  $r_t$  sont les courbures de la surface élastique dans les plans  $nz$  et  $tz$ .

En combinant ces expressions avec la loi de Hooke et en les portant dans (32-a), on a :

$$M_n = D (f_n + V f_t) = -D \left( \frac{\partial^2 w}{\partial n^2} + V \frac{\partial^2 w}{\partial t^2} \right) \quad (\text{eq. 33-a})$$

Pour obtenir une expression du moment de torsion  $M_{nt}$ , considérons la torsion d'un feuillet mince  $abcd$  dont les cotés  $ab$  et  $ad$  sont parallèles aux directions  $n$  et  $t$ , et qui se trouve à la distance  $z$  du plan médian.

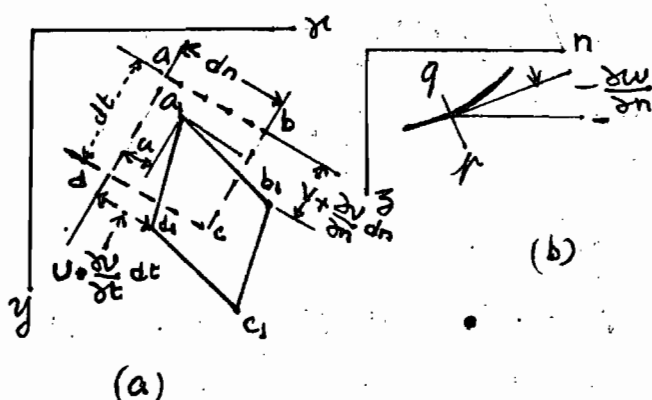


Fig 12: déformations du feuillet suivant  $n$  et  $t$

Pendant la flexion de la plaque (fig. 12-a), les points a, b, c, d se déplacent en petits quantités; soient u et v les composantes des déplacements du point a; le déplacement du point adjacent d dans la direction des n est  $u + \left(\frac{\partial v}{\partial t}\right)dt$  et celui de b dans la direction des t est  $v + \left(\frac{\partial u}{\partial n}\right)dt$ ; par suite de ces déplacements, il se produit une déformation par torsion.

$$\gamma_{nt} = \frac{\partial u}{\partial t} + \frac{\partial v}{\partial n}$$

la tension de cisaillement correspondante sera

$$\tau_{nt} = G \left( \frac{\partial u}{\partial t} + \frac{\partial v}{\partial n} \right)$$

Par la figure 12-b qui représente la section de la surface élastique par un plan vertical passant par l'axe des n, on voit que l'angle de rotation d'un élément pq initialement perpendiculaire au plan xy est égal à  $-\frac{\partial w}{\partial n}$ ; par suite, un élément situé à la distance z du plan médian subit un déplacement dans la direction n, égal à:

$$u = -z \frac{\partial w}{\partial n}$$

un raisonnement analogue conduit au déplacement du même élément dans la direction t, égal à:

$$v = -z \frac{\partial w}{\partial t}$$

de ces valeurs, on déduit

$$\gamma_{nt} = \frac{\partial u}{\partial t} + \frac{\partial v}{\partial n} = -2z \frac{\partial^2 w}{\partial n \partial t}$$

$$\text{et } \tau_{nt} = -2Gz \frac{\partial^2 w}{\partial n \partial t};$$

ainsi:	$\Pi_{nt} = \frac{Gh^3}{6} \frac{\partial^2 w}{\partial n \partial t} = D(1-\nu) \frac{\partial^2 w}{\partial n \partial t}$	(eq. 33-5)
--------	--	------------

### 2.3.2 Cas général de flexion des plaques

L'étude précédente concerne le cas de la flexion simple des plaques rectangles aux bords sur lesquels agissent des moments fléchissants uniformément répartis; pour passer au cas général, on supposera un chargement quelconque et une forme quelconque pour la plaque; ainsi, en prenant des axes  $x$  et  $y$  perpendiculaires, on peut dire que pour un élément quelconque isolé dans la plaque, les conditions précédentes restent inchangées, sauf que les moments de flexion et de torsion, dont les valeurs sont données par les équations (32-a) et (32-b), n'ont pas nécessairement la même direction tout le long de la périphérie de l'élément; on prendra les directions mettant  $t$ , égales à  $\pi/2$  et  $y$  et on aura (fig. 13), les expressions suivantes:

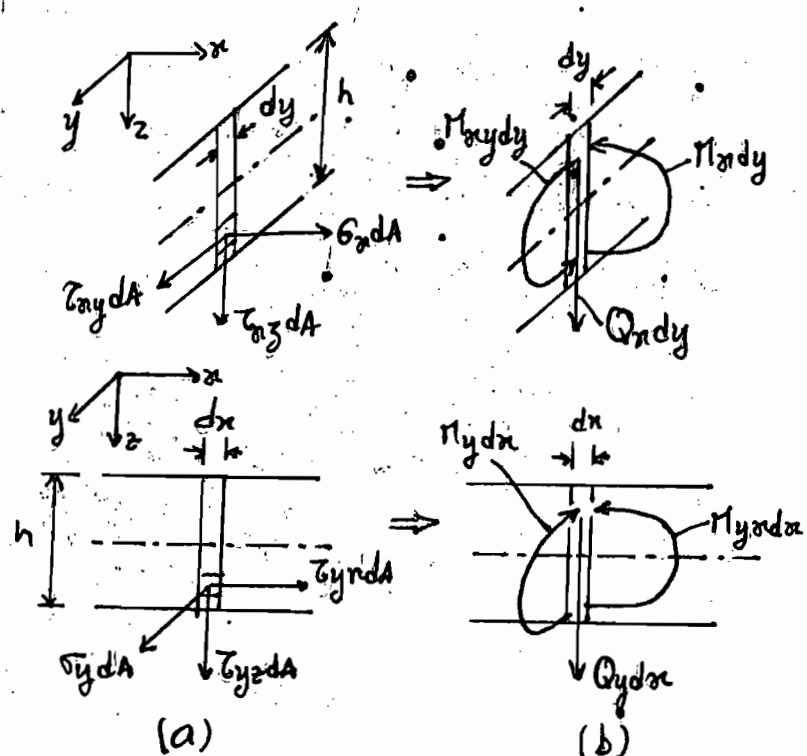


Fig. 13 : Efforts internes dans les coupes  $x = \text{const}$  et  $y = \text{const}$  d'une plaque

$$M_x = \int_{-h/2}^{+h/2} \sigma_x \cdot z \, dz = -D \left( \frac{\partial^2 w}{\partial x^2} + \nu \frac{\partial^2 w}{\partial y^2} \right)$$

$$M_y = \int_{-h/2}^{+h/2} \sigma_y \cdot z \, dz = -D \left( \frac{\partial^2 w}{\partial y^2} + \nu \frac{\partial^2 w}{\partial x^2} \right) \quad (\text{eq. 34.a})$$

$$M_{xy} = -M_{yx} = - \int_{-h/2}^{+h/2} \sigma_{xy} \cdot z \, dz = D(1-\nu) \frac{\partial^2 w}{\partial x \partial y}$$

Supposons maintenant qu'une charge répartie agisse perpendiculairement au plan médian de la plaque; soit  $q$  son intensité qui, dans le cas général peut varier linéairement en fonction de  $x$  et  $y$ ; en découplant un élément de la plaque par deux paires de plans parallèles aux plans  $xz$  et  $yz$  (fig. 13 et 14), on déduit de part la statique que par raison de l'action de  $q$ , il se produira sur les faces latérales de cet élément, non seulement des moments de flexion et de torsion, mais aussi des efforts tranchants suivant  $z$ , dont les valeurs par unité de longueur seront définies par :

$$Q_x = \int_{-h/2}^{+h/2} \sigma_{xz} z \, dz, \quad Q_y = \int_{-h/2}^{+h/2} \sigma_{yz} z \, dz$$

On peut négliger les variations de  $\sigma_{xz}$  et  $\sigma_{yz}$  le long des distances infinitésimales  $dx$  et  $dy$ , et supposer que les efforts tranchants résultants  $Q_{xdy}$  et  $Q_{ydx}$  passent par les centres de gravité des faces des éléments.

Si  $M_x$ ,  $M_y$  et  $M_{xy}$  sont les efforts pour la face gauche de l'élément de la figure 15, les quantités correspondantes

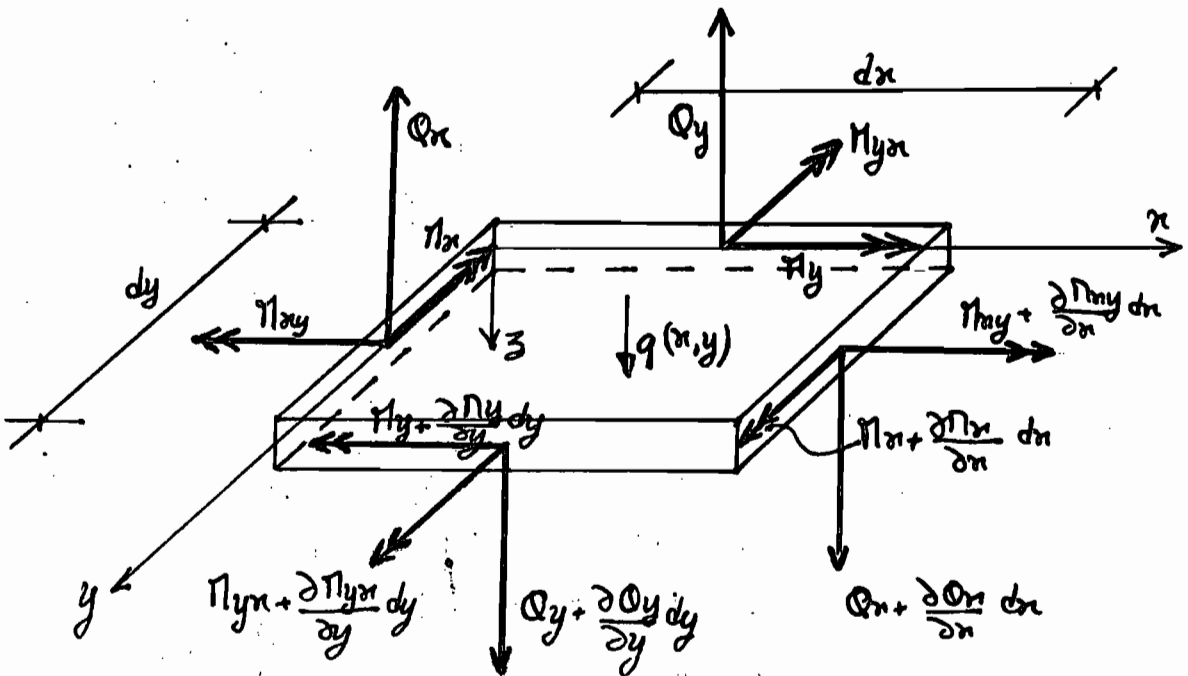


Fig. 14 : éléments de réduction

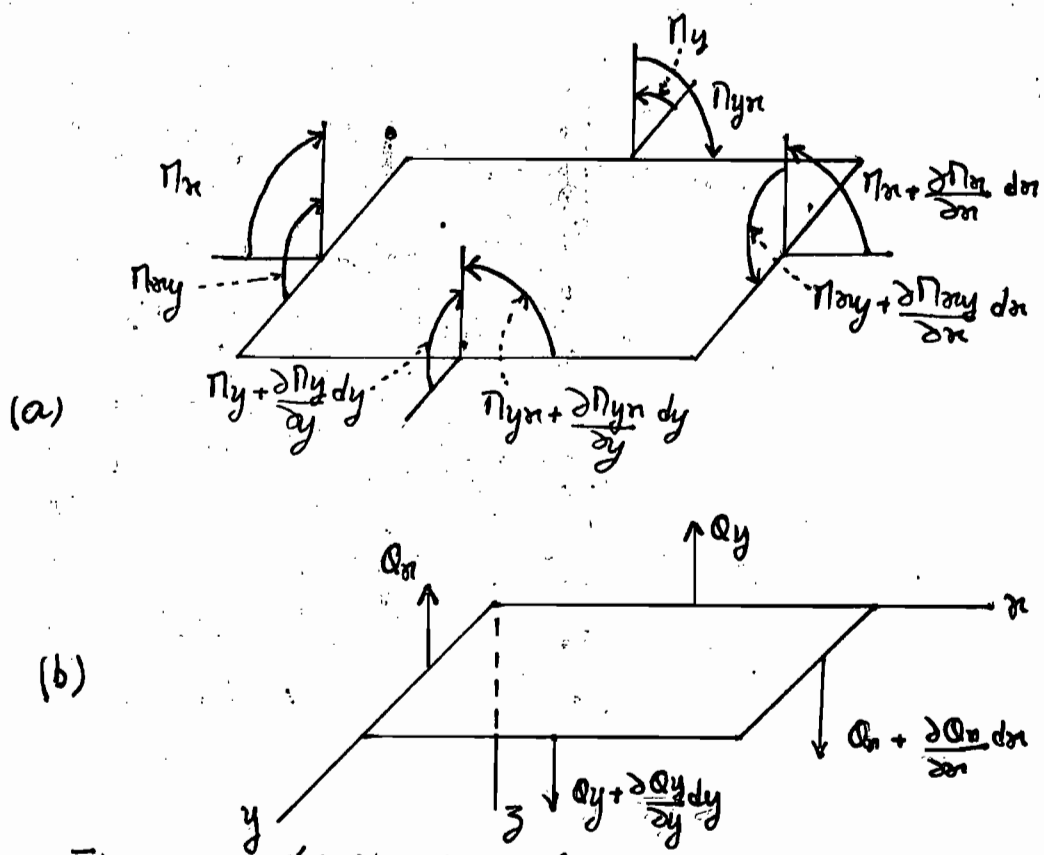


Fig. 15 : détails de la figure 14

pour la face droite, distante de  $dx$  de la face gauche seront :

$$Q_x + \frac{\partial Q_n}{\partial x} dx, \quad \Pi_n + \frac{\partial \Pi_x}{\partial x} dx, \quad \Pi_{ny} + \frac{\partial \Pi_{ny}}{\partial x} dx$$

il en sera de même pour les plans parallèles au plan  $yz$ ; en supposant que la charge  $q$  est positive dans la direction  $z$ , l'équilibre de l'élément permet d'écrire :

$$\sum F_z = 0 \Rightarrow \frac{\partial Q_n}{\partial z} dy dz + \frac{\partial Q_y}{\partial y} dy dz + q dy dz = 0$$

$$\rightarrow \frac{\partial Q_n}{\partial z} + \frac{\partial Q_y}{\partial y} + q = 0$$

$$\sum \text{Moments}/\text{axe } z = 0 \Rightarrow \frac{\partial \Pi_{ny}}{\partial z} dy dz - \frac{\partial \Pi_y}{\partial y} dy dz + Q_y dy dz = 0$$

dans cette équation, on a négligé le moment de la charge  $q$  et celui dû à la variation de  $Q_y$  (infiniment petits d'ordre supérieur); ainsi :

$$\frac{\partial \Pi_{ny}}{\partial z} - \frac{\partial \Pi_y}{\partial y} + Q_y = 0$$

$$\text{de m } \sum \text{Moments}/\text{axe } y \rightarrow \frac{\partial \Pi_{yx}}{\partial y} + \frac{\partial \Pi_x}{\partial z} - Q_x = 0 ;$$

du fait même de la faible épaisseur des plaques par rapport aux autres dimensions, on peut négliger l'effet de  $Q_x$  et  $Q_y$  sur les courbures de la plaque, si bien que  $\Pi_x$ ,  $\Pi_y$  et  $\Pi_{ny}$  gardent leur expression des équations (34-a); en notant que  $\Pi_{ny} = -\Pi_{nx}$ , on déduit les valeurs de  $Q_x$  et  $Q_y$  en fonction de la flexion  $w$ :

$$Q_x = \frac{\partial \Pi_x}{\partial x} + \frac{\partial \Pi_{yx}}{\partial y} = -D \frac{\partial}{\partial x} \left( \frac{\partial^2 w}{\partial x^2} + \frac{\partial^2 w}{\partial y^2} \right)$$

(eq. 34-6)

$$Q_y = \frac{\partial \Pi_y}{\partial y} - \frac{\partial \Pi_{xy}}{\partial x} = -D \frac{\partial}{\partial y} \left( \frac{\partial^2 w}{\partial x^2} + \frac{\partial^2 w}{\partial y^2} \right)$$

durant l'analyse, il est en général pratique de remplacer l'effet statique des contraintes sur l'épaisseur de la plaque par les efforts internes appropriés (moments de flexion, moments de torsion et efforts tranchants par unité de la coupe) selon la figure 13.

On peut alors calculer les valeurs maximales des contraintes de tension, de torsion et d'étalement : en effet, le rapport des équations (28) et (34-a) donne :

$$\frac{\sigma_x}{\sigma_y} = \left[ \frac{E_3}{1-\nu_2} (P_x + \nu P_y) \right] / \left[ D (P_x + \nu P_y) \right] = \frac{123}{h^3}$$

de même  $\frac{\sigma_y}{\sigma_z} = \frac{123}{h^3}$ ; si  $\frac{z}{2} = h/2$ , alors

$$\sigma_x = \frac{123}{h^3} \cdot \Pi_{xz} = \frac{6 \Pi_{xz}}{h^2}$$

(équation 35-a)

$$\sigma_y = \frac{123}{h^3} \cdot \Pi_y = \frac{6 \Pi_y}{h^2}$$

$$\sigma_{zy} = \frac{123}{h^3} \cdot \Pi_{zy} = \frac{6 \Pi_{zy}}{h^2}$$

$\sigma_{zy}$  se calcule aussi de la même manière. En supposant une répartition parabolique de  $\sigma_{xz}$  et  $\sigma_{yz}$ , on déduit de l'équation (28-b) que :

$$\sigma_{xz_{max}} = \frac{3 Q_x}{2h} \text{ et } \sigma_{yz_{max}} = \frac{3 Q_y}{2h} \quad (\text{eq. 35.6})$$

## 2.4 PLAQUES SUBISSANT L'ACTION COMBINEE DE LA FLEXION ET DES FORCES DANS SON PLAN

Jusqu'à présent, nous avons supposé que la plaque fléchit sous l'action d'une charge latérale et que les flèches produites étaient si faibles que la flexion subie par le plan moyen de la plaque pouvait être négligée; si de plus, il existe des forces agissant dans le plan moyen de la plaque, elles déterminent une déformation du plan; toutefois, on supposera qu'elles engendrent des tensions qui sont faibles par rapport aux tensions critiques; ainsi, on peut négliger l'effet qu'elles produisent sur la flexion de la plaque et admettre que les tensions totales s'obtiennent avec une approximation suffisante en superposant les tensions dues à la déformation du plan moyen, et celles produites par la charge latérale.

Les expressions des ~~expressions~~ des forces pour les plaques护身符 des forces dans leur plan et celles pour les plaques en flexion, ayant été établies de façon indépendante, on pourra établir aussi les modèles d'élément fini pour chacun des cas de façon séparée, et les superposer par la suite.

# CHAPITRE III

## FORMULATION DES MODELES PAR ELEMENTS FINIS

### 3.1 CHOIX DU CHAMP DE DEPLACEMENT ET DE L'ELEMENT

L'état d'un corps est entièrement défini par la connaissance d'un nombre défini des composantes du champ de ses déplacements, à l'intérieur du corps d'une part, et sur ses frontières d'autre part; ce champ doit remplir la double exigence d'être dérivable (condition de compatibilité ou continuité interne de la matière) et de satisfaire aux conditions limites.

On a vu que le champ s'exprimait en fonction d'un certain nombre de valeurs discrètes, les déplacements choisis en certains noeuds situés sur la frontière de l'élément; l'exigence la plus difficile à remplir lors de la mise au point d'un modèle deplacement pur est le fait d'assurer la continuité des déplacements le long de tous les points situés sur les frontières rien qu'à partir de l'identification des déplacements modaux aux seuls noeuds communs des éléments; c'est le critère n° 3 déjà cité;

Le champ de déplacement devrait d'autre part satisfaire aux conditions supplémentaires qui sont les critères 1 et 2; il suffit que ces deux critères soient remplis pour que la solution converge vers la solution exacte.

En conclusion, la solution approchée fournie par la méthode des éléments finis tend vers la solution exacte quand on subdivise toujours plus finement la structure étudiée; si les conditions suivantes sont

remplies lors du choix du champ de déplacement:

- a) le champ est continu dans le domaine (dérivables)
- b) le champ satisfait les conditions aux limites (continuité le long des frontières des éléments)
- c) le champ contient les modes rigides
- d) le champ contient les modes homogènes ou mode de déformation constante

Pour les éléments qui ne satisfont pas exactement a) b) ci-dessus, il existe le critère du « patch-test » qui si l'il est satisfait, assure la convergence.

En général, les fonctions choisies pour décrire le champ en question sont des polynômes de la forme

$$f(x) = d_1 + d_2 x + d_3 x^2 + \dots + d_n x^{n-1}$$

$$\begin{aligned} f(x,y) = & d_1 + d_2 x + d_3 y + d_4 x^2 + d_5 xy + d_6 y^2 + d_7 x^3 \\ & + d_8 x^2 y + \dots + d_{(n+e)(n+e)/2} y^n \end{aligned}$$

de sorte que la première condition est toujours remplie; Par ailleurs, il faut éviter de choisir des polynômes incomplets, i.e dont certains termes (modes de déplacement) de degré inférieur manquent; ainsi, les fonctions doivent avoir tous les termes de degré inférieur et égal à l'ordre le plus élevé des dérivées avec lesquels elles interviennent dans les intégrales.

En ce qui concerne l'idealisation structurel pour les plaques, il est evident que l'on doit utiliser des elements lie's entre eux par des lignes continues; l'element triangulaire semble le plus designe' pour une structure quelconque bidimensionnelle; mais la difficulte' majeur reside dans l'interpretation physique des forces des elements; d'abord les deplacements des noeuds sont suppose's etre les deplacements reels des points correspondants de la structure; ensuite, le champ variable des contraintes dans l'element doit etre remplace' par des charges equivalentes aux noeuds; ces charges equivalentes ne correspondent en fait a' rien au niveau des points correspondants de la structure reelle et sont donc fictives.

Nous supposons au niveau de notre element que l'epaisseur  $h$  est constante et que son systeme d'axe local est tel que l'axe  $y$  coincide avec le cote' reliant les noeuds  $j_1$  et  $j_2$  de l'element (voir fig. 16).

### 3.2 ELEMENT TRIANGULAIRE EN ETAT PLAN DE CONTRAINTE

#### 3.2.1 Choix de la fonction de deplacement

En etat plan de contrainte, le champ de deplacement est constitue' par les deplacements plan  $u$  et  $v$ :  $\{u\} = [u, v]^t$

Pour les trois noeuds de l'element triangulaire, on aura :

$$\{\Delta\} = [u_1 \ v_1 \ u_2 \ v_2 \ u_3 \ v_3]^t$$

supposons les fonctions de déplacement suivantes linéaires en  $x$  et  $y$ :

$$\begin{cases} u = d_1 + d_2x + d_3y \\ v = d_4 + d_5x + d_6y \end{cases} \quad (36-a)$$

ou encore, sous forme matricielle, on peut écrire

$$\{uv\} = [G]\{d\} \quad (36-b)$$

avec  $[G] = \begin{bmatrix} 1 & x & y & 0 & 0 & 0 \\ 0 & 0 & 0 & 1 & x & y \end{bmatrix}$

et  $\{d\} = [d_1 \ d_2 \ d_3 \ d_4 \ d_5 \ d_6]^t$

### 3.2.2 Vérification des critères

a)  $\{uv\}$  est continu dans le domaine: c'est une fonction polynomiale

b) les déplacements  $u$  et  $v$  sont linéaires le long de chaque côté, donc continus; les déplacements de chacun des points des frontières de l'élément sont déterminés par la seule connaissance des six déplacements locaux aux trois sommets du domaine; enfin, la continuité des déplacements est assurée par l'identification des déplacements nodaux

c) si dans le champ, on pose successivement:  
 -  $d_i = 0$  sauf  $d_1$ , alors  $u = \text{constante}$ ,  $v = 0$ : translation parallèle à  $x$

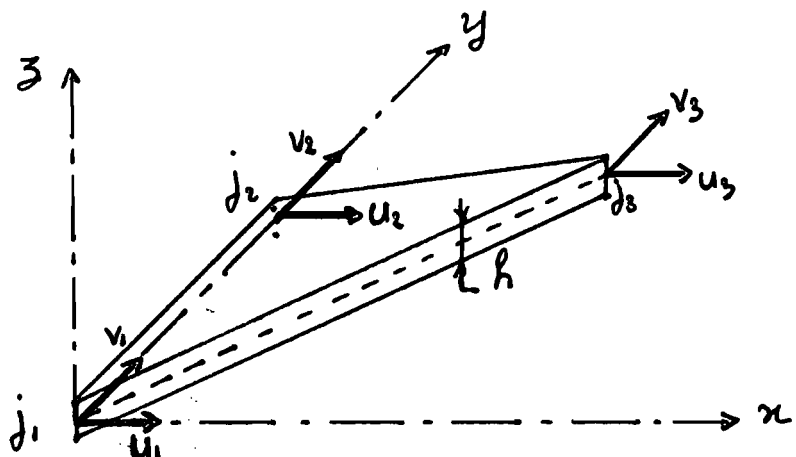
-  $d_i = 0$  sauf  $d_4$ ; alors  $v = \text{constante}$ ,  $u = 0$ : translation parallèle à  $y$

—  $d_i = 0$  sauf  $d_5 = -d_3 = w$ ; alors  $u = -wy$  et  $v = wr$ : rotation autour de l'origine local.

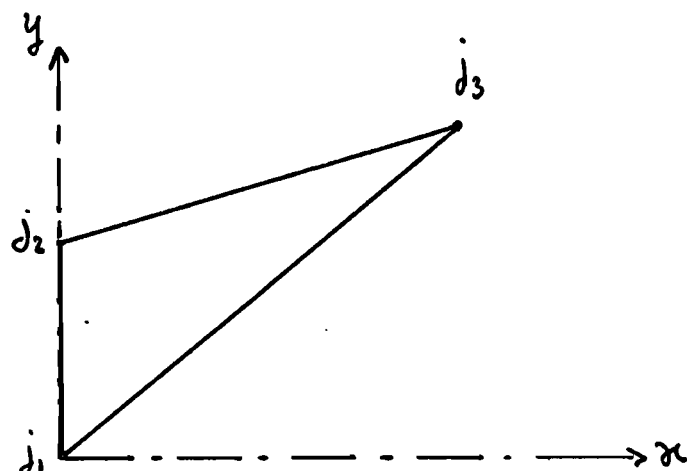
ainsi les 3 modes rigides possibles de cet élément dans son plan sont contenus dans le champ de déplacements

d) des déformations sont toutes constantes:

$$\epsilon_x = \frac{\partial u}{\partial x} = d_2 \quad \epsilon_y = \frac{\partial v}{\partial y} = d_6 \quad \gamma_{xy} = \frac{\partial u}{\partial y} + \frac{\partial v}{\partial x} = d_3 + d_5; \text{ le critère de mode homogène est donc respecté.}$$



(a) Vue en perspective



(b) vue de plan dans le plan xy local

Fig. 16: état plan de contrainte; déplacements nodaux

Cet élément est donc de type déplacement pur et satisfait à toutes les exigences de convergence vers la solution exacte.

### 3.2.3. Matrice de rigidité

$$(eq. 12) \Rightarrow \{ \Delta f \} = [C] \{ \Delta f \}$$

$$\Rightarrow [C] = \begin{bmatrix} 1 & 0 & 0 & 0 & 0 & 0 \\ 0 & 0 & 0 & 1 & 0 & 0 \\ 1 & 0 & y_{j2} & 0 & 0 & 0 \\ 0 & 0 & 0 & 1 & 0 & y_{j2} \\ 1 & x_{j3} & y_{j3} & 0 & 0 & 0 \\ 0 & 0 & 0 & 1 & x_{j3} & y_{j3} \end{bmatrix} \quad (eq. 12-a)$$

$x_{ji}$  et  $y_{ji}$  étant les coordonnées des noeuds  $j_i$ ;

[C] est la matrice de transformation des déplacements;

$$(eq. 10) \rightarrow \{ \epsilon f \} = [B_\alpha] \{ \Delta f \}$$

$$\Rightarrow [B_\alpha] = \begin{bmatrix} 0 & 1 & 0 & 0 & 0 & 0 \\ 0 & 0 & 0 & 0 & 0 & 1 \\ 0 & 0 & 1 & 0 & 1 & 0 \end{bmatrix} \quad (eq. 10-a)$$

$$(eq. 13) \rightarrow \{ \epsilon f \} = [C^{-1}] \{ \Delta f \}$$

$$\Rightarrow \{ \epsilon f \} = [B_\alpha] [C^{-1}] \{ \Delta f \}$$

Alors  $[K_\alpha] = \int [B_\alpha]^T [E] [B_\alpha] dv$ ; par calcul, on a:

$$[B_\alpha]^T [E] [B_\alpha] = \frac{E}{1-\nu^2} \begin{bmatrix} 0 & 0 & 0 & 0 & 0 & 0 \\ 0 & 1 & 0 & 0 & 0 & \nu \\ 0 & 0 & \frac{1-\nu}{2} & 0 & \frac{1-\nu}{2} & 0 \\ 0 & 0 & 0 & 0 & 0 & 0 \\ 0 & 0 & \frac{1-\nu}{2} & 0 & \frac{1-\nu}{2} & 0 \\ 0 & \nu & 0 & 0 & 0 & 1 \end{bmatrix}$$

on intègre alors pour obtenir  $[K_d]$ ; on notera  $I(x^0, y^0)$  l'intégrale suivante :  $\iint x^n y^m dx dy$ ; le calcul des intégrales est donné en appendice; on a:

$$[K_d] = \frac{h \cdot x_3 y_2}{2} \cdot [B_d]^t [E] [B_d] \quad (37-a)$$

$$\text{et } [K] = [C^{-1}]^t [K_d] [C^{-1}] \quad (37-b)$$

### 3.2.4 Charges équivalentes

on considère comme charges :

- les charges volumétriques  $\{P_V\} = [P_{Vx}, P_{Vy}]^t$ : ce sont les composantes du poids volumique qui agissent suivant  $x$  et  $y$ .
- les charges de surface  $\{P_S\} = [bx, by]^t$ : ce sont des charges réparties ( $[kN/m]$ ) qui agissent sur les cotés de l'élément suivant  $x$  et  $y$ .

L'équation (20) donne l'effet équivalent de ces charges:

$$[C^{-1}]^t \iint_V [G]^t \{P_V\} dV = [C^{-1}]^t \left\{ \begin{array}{c|cc|c} 1 & 0 & & P_{Vx} \cdot I(x^0, y^0) \\ x & 0 & \left[ \begin{array}{c} P_{Vx} \\ P_{Vy} \end{array} \right] & P_{Vx} \cdot I(x^0, y^0) \\ y & 0 & \left[ \begin{array}{c} P_{Vx} \\ P_{Vy} \end{array} \right] & P_{Vy} \cdot I(x^0, y^0) \\ 0 & 1 & & P_{Vx} \cdot I(x^0, y^0) \\ 0 & x & & P_{Vy} \cdot I(x^0, y^0) \\ 0 & y & & P_{Vy} \cdot I(x^0, y^0) \end{array} \right\}$$

le cas de la charge latérale est un peu plus complexe, car il faut faire une intégration sur la longueur du côté chargé; on suppose qu'on a une charge linéaire telle que

$$bx = a_i + b_i x$$

On choisit les côtés tels que leur numéro soit celui du noeud opposé; ainsi le côté 1 relie les noeuds  $j_1$  et  $j_2$ , le côté 2 relie les noeuds  $j_2$  et  $j_3$  et le côté 3 relie les noeuds  $j_1$  et  $j_3$ ; on suppose que la variété du noeud  $i$ , dont l'indice est le plus petit d'autre noeud  $j_i$ ; considérons par exemple le côté 2 (fig 17); prenons la nouvelle origine en  $C$  milieu du côté;

soit  $x_{i_1}$  et  $x_{i_2}$  les valeurs aux noeuds extrêmes du côté;

$$\text{alors } x_c = \frac{x_{i_1} + x_{i_2}}{2} \quad ; \quad \text{dans notre cas } j_1 = j_1 \text{ et } j_2 = j_3$$

$$y_c = \frac{y_{i_1} + y_{i_2}}{2}$$

$$\text{alors } x = X + x_c \text{ et } y = Y + y_c$$

soit  $L$  la longueur sur laquelle on intègre:  $L = x_{i_2} - x_{i_1}$

$$\text{la pente du côté vérifie } Y = \rho X \Rightarrow \rho = \frac{Y_{i_2} - Y_{i_1}}{X_{i_2} - X_{i_1}}$$

en remplaçant successivement  $X$  par  $-\frac{L}{2}$  et  $+\frac{L}{2}$ , on trouve les valeurs de  $a_1$  et  $b_1$ ; le même raisonnement donnerait les valeurs  $a_2$  et  $b_2$  pour une charge dirigée suivant  $y$  s'exprimant par  $by = a_2 + b_2 x$ ; ainsi, les expressions des coefficients sont:

côte	$j_1$	$j_2$
1	$j_2$	$j_3$
2	$j_1$	$j_3$
3	$j_1$	$j_2$

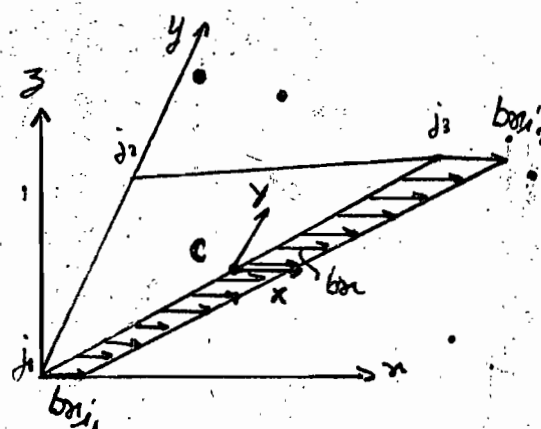


Fig 17: charge latérale  $bx$  sur le côté 2 de l'élément

$$b_1 = (b_{xi_2} - b_{xi_1})/L ; \quad b_2 = (b_{yi_2} - b_{yi_1})/L$$

$$a_1 = (b_{xi_2} + b_{xi_1})/2 ; \quad a_2 = (b_{yi_2} + b_{yi_1})/2.$$

La force équivalente est donnée par :

$$\{P_b\} = [C^{-1}] \int_s^t [G] \{P_g\} ds = [C^{-1}] \int_t^l [G] \{b_f\} dr$$

les valeurs des intégrales linéaires sont données en annexe sachant que  $\{b_f\} = [b_x, b_y]^T$ , on effectue les calculs en veillant à remplacer  $x$  et  $y$  dans  $[G]$  par leurs expressions en fonction de  $X$  et  $Y$ , puis  $Y$  par son expression en fonction de  $X$ ; cela permet de garder des intégrales suivant  $X$  seulement car  $dl = dx$ ; on a alors dans les calculs la valeur suivante :

$$\{P_b\} = [C^{-1}] \times \begin{bmatrix} a_1 \cdot L \\ a_1 x_c L + b_1 L^3/12 \\ a_1 y_c L + pb_1 L^3/12 \\ a_2 L \\ a_2 x_c L + b_2 L^3/12 \\ a_2 y_c L + pb_2 L^3/12 \end{bmatrix}$$

le même calcul est fait trois fois pour tenir compte des trois côtés.

### 3.3 ELEMENT TRIANGULAIRE EN FLEXION

#### 3.3.1 Choix de la fonction de déplacement

D'après les relations établies dans la section 2.3, on peut dire que :

— la flèche  $w$  définit entièrement l'état de la plaque à l'intérieur du domaine

— les conditions de continuité entre éléments doivent être imposées non seulement à cette quantité, mais aussi à la pente normale  $\frac{\partial w}{\partial n}$ ; qui est nécessaire pour que la plaque reste continue et ne fasse pas de «plis»; dans les expressions des travaux virtuels, le degré des plus hauts sont les déformations dues aux déplacements; ces déformations sont définies par des dérivées d'ordre 2; alors, la continuité aux interfaces doit être d'ordres, c'est à dire que  $\frac{\partial w}{\partial n}$  et  $\frac{\partial w}{\partial y}$  doivent y être continues; par conséquent le nombre de paramètres à un nœud est trois.

$w$ ,  $\frac{\partial w}{\partial n}$  et  $\frac{\partial w}{\partial y}$ , on prendra  $\frac{\partial w}{\partial n} = \frac{\partial w}{\partial y}$  et  $\frac{\partial^2 w}{\partial y^2} = -\frac{\partial w}{\partial n}$ .

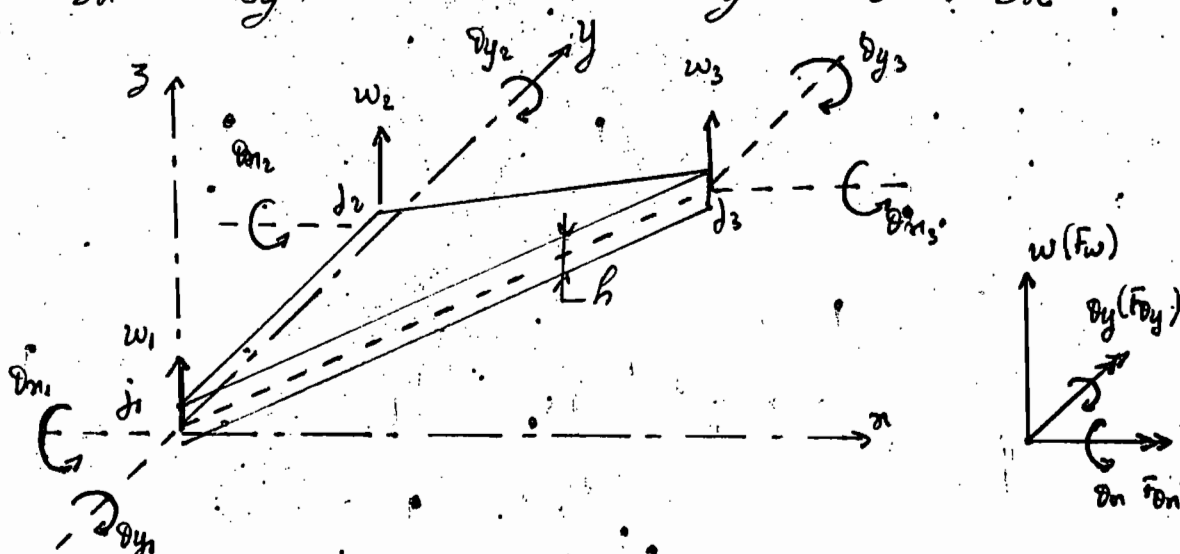


Fig 18: élément triangulaire en flexion: déplacements nodaux

pour les 3 nœuds de l'élément, on aura neuf degrés de liberté en tout :  $\{S_i\}^t = [w_1 \ \theta_{x1} \ \theta_{y1}]^t$  et

$$\{D\}^t = [w_1 \ \theta_{x1} \ \theta_{y1} \ w_2 \ \theta_{x2} \ \theta_{y2} \ w_3 \ \theta_{x3} \ \theta_{y3}]^t$$

Par conséquent, il faudra 9 paramètres ou coordonnées généralisées dans la fonction de déplacement; toutefois, un polynôme cubique complet contient dix termes et toute suppression d'un terme du polynôme ne peut être que arbitraire; Gallagher (1962) a proposé la fonction suivante :

$$w = d_1 + d_2 x + d_3 y + d_4 x^2 + d_5 xy + d_6 y^2 + d_7 x^3 + d_8 xy^2 + d_9 y^3$$

cette fonction ne possède pas une isométrie géométrique par contre : le terme  $d_7 x^3$  est absent.

Les « forces » nodales correspondantes à  $\{S_i\}$  peuvent être interprétées comme composées d'une force et de deux moments :  $\{F_i\}^t = [F_{xi} \ F_{x1} \ F_{y1}]^t$

Les « déformations » et les « contraintes » généralisées doivent être maintenant définies de telle sorte que leur produit scalaire s'identifie au travail intérieur; c'est pourquoi on donnera de la « déformation » la définition suivante :

$$\{f\} = \left[ -\frac{\partial^2 w}{\partial x^2} \quad -\frac{\partial^2 w}{\partial y^2} \quad \frac{2 \partial^2 w}{\partial x \partial y} \right] = [f_x \ f_y \ f_{xy}]$$

Les « contraintes » correspondantes sont, en fait, les classiques moments de flexion et de torsion par unité de longueur dans les directions  $x$  et  $y$ ; le calcul de l'énergie de déformation est donné en appendice.

La loi de Hooke s'écrit alors,

$$\{M\} = \begin{bmatrix} M_x \\ M_y \\ M_{xy} \end{bmatrix} = [D]\{P\} = \frac{Eh^3}{12(1-\nu^2)} \begin{bmatrix} 1 & \nu & 0 \\ \nu & 1 & 0 \\ 0 & 0 & \frac{1-\nu}{2} \end{bmatrix} \begin{bmatrix} P_x \\ P_y \\ 2P_{xy} \end{bmatrix}$$

Les éléments de réduction sont montrés à la figure 16.

### 3.3.2 Vérification des critères

a) le champ est continu dans le domaine : c'est une fonction polynomiale

b) le champ ne satisfait pas les conditions de compatibilité des déplacements aux frontières : en effet, considérons le côté 1-2 pour lequel  $n = 0$ ; il est parallèle à l'axe  $y$ ; il aurait fallu que  $w$  et la pente normale  $\frac{\partial w}{\partial n} = \frac{\partial w}{\partial x}$  soient continues :

$$w = d_1 + d_3 y + d_5 y^2 + d_7 y^3$$

$$\frac{\partial w}{\partial x} = d_2 + d_5 y + d_7 y^2$$

nous avons sept inconnues  $d_i$  et on dispose de six équations : six paramètres nodaux aux noeuds 1 et 2 :  $w_1, \theta_{x1}, \theta_{y1}, w_2, \theta_{x2}, \theta_{y2}$ ; les degrés de liberté ne suffisent pas à la définition complète de la pente ; elle est donc discontinue et l'élément n'est pas conforme (non codéformable).

c) l'élément contient les modes rigidides :

$w = d_1 \rightarrow$  translation le long de l'axe  $z$

$w = d_2 y \rightarrow$  rotation autour de l'axe  $y$

$w = d_3 y \rightarrow$  rotation autour de l'axe  $x$

d) l'élément contient des modes homogènes pour  
 $\alpha_7 = \alpha_8 = \alpha_9 = 0$

$$f_{\alpha} = 2\alpha_4 + 6\alpha_5 x$$

$$f_y = 2\alpha_6 + 2\alpha_7 x + 6\alpha_8 y$$

$$f_{xy} = \alpha_5 + 2\alpha_9 y$$

L'élément satisfait à toutes les exigences sauf au critère b); il sera bon par la suite de faire le « patch-test ».

### 3.3.3. Matrice de rigidité

$$(eq. 12) \Rightarrow \{\Delta\} = [C] \{\alpha\}$$

$$\Rightarrow [C] = \begin{bmatrix} 1 & 0 & 0 & 0 & 0 & 0 & 0 & 0 & 0 \\ 0 & 0 & 1 & 0 & 0 & 0 & 0 & 0 & 0 \\ 0 & -1 & 0 & 0 & 0 & 0 & 0 & 0 & 0 \\ 1 & 0 & y_2 & 0 & 0 & y_2^2 & 0 & 0 & y_2^3 \\ 0 & 0 & 1 & 0 & 0 & 2y_2 & 0 & 0 & 3y_2^2 \\ 0 & -1 & 0 & 0 & -y_2 & 0 & 0 & -y_2^2 & 0 \\ 1 & x_3 & y_3 & x_3^2 & x_3 y_3 & y_3^2 & x_3^2 & x_3 y_3 & y_3^3 \\ 0 & 0 & 1 & 0 & x_3 & 2y_3 & 0 & 2x_3 y_3 & 3y_3^2 \\ 0 & -1 & 0 & -2x_3 & -y_3 & 0 & -3x_3^2 & -y_3^2 & 0 \end{bmatrix} \quad (eq. 12-b)$$

[C] est la matrice de transformation des déplacements

$$(eq. 10) \Rightarrow \{\epsilon\} = [B_\alpha] \{\alpha\}; \text{ si } i, \text{ on aura } \{\rho\} = [B_\alpha] \{\alpha\}$$

$$\Rightarrow [B_\alpha] = \begin{bmatrix} 0 & 0 & 0 & 2 & 0 & 0 & 6x & 0 & 0 \\ 0 & 0 & 0 & 0 & 0 & 2 & 0 & 2x & 6y \\ 0 & 0 & 0 & 0 & -2 & 0 & 0 & -4y & 0 \end{bmatrix} \quad (eq. 10-b)$$

$$(\text{éq. 13}) \Rightarrow \{d\} = [c^{-1}] \{A\} \Rightarrow \{q\} = [B_d] [c^{-1}] \{d\}$$

$$(\text{éq. 19}) \rightarrow [K] = [c^{-1}] \int_V [B_d]^t [E] [B_d] dv [c^{-1}]$$

La relation moment-curvature tient compte de l'intégration sur l'épaisseur  $h$  de la plaque et  $[E]$  est remplacé par  $[D]$ ; ainsi, on a :

$$[K] = [c^{-1}] \int_A [B_d]^t [D] [B_d] dA [c^{-1}]^t$$

$$\text{Or } [K_d] = \int_A [B_d]^t [D] [B_d] dA; \text{ on a}$$

$$[B_d]^t [D] [B_d] =$$

$$\frac{Eh^3}{12(1-\nu^2)} \begin{bmatrix} 0 & 0 & 0 & 0 & 0 & 0 & 0 & 0 \\ 0 & 0 & 0 & 0 & 0 & 0 & 0 & 0 \\ 0 & 0 & 0 & 0 & 0 & 0 & 0 & 0 \\ 0 & 0 & 0 & 4 & 0 & 4\nu & 12x & 4\nu x \\ 0 & 0 & 0 & 0 & 2(1-\nu) & 0 & 0 & 4y(1-\nu) \\ 0 & 0 & 0 & 4\nu & 0 & 0 & 12\nu x & 4x \\ 0 & 0 & 0 & 12x & 0 & 12\nu x & 36x^2 & 12\nu x^2 \\ 0 & 0 & 0 & 4\nu x & 4y(1-\nu) & 4x & 12\nu x^2 & 8y^2(1-\nu) \\ 0 & 0 & 0 & 12\nu y & 0 & 12y & 36\nu xy & 12xy \end{bmatrix}$$

on intègre cette expression sur la surface élémentaire puis on calcule  $[K]$

### 3.3.4 Charges équivalentes

on considère comme charges :

— les charges volumétriques  $\{P_V\} = P_{V3}$  : c'est la composante suivant  $z$  du poids volumique

— les charges de surface  $\{P_S\} = P_{S3}$  : c'est une force de pression qui agit sur la surface de l'élément suivant  $z$  et s'exprime en  $\text{KN/m}^2$

L'équation (20) donne l'effet équivalent de ces charges :

$$[C^{-1}]^t \int_V [G]^t \{P_V\} dV = h \cdot P_{V3} \cdot [C^{-1}]^t \begin{bmatrix} I(x^0, y^0) \\ I(x^1, y^0) \\ I(x^0, y^1) \\ I(x^2, y^0) \\ I(x^1, y^1) \\ I(x^0, y^2) \\ I(x^3, y^0) \\ I(x^1, y^2) \\ I(x^0, y^3) \end{bmatrix}$$

Pour la charge de surface, on suppose qu'elle varie linéairement sur la surface en fonction de  $x$  et  $y$  :

$$A_S = a + bx + cy$$

Soient  $P_{S1}$ ,  $P_{S2}$  et  $P_{S3}$  les cotés extrêmes de  $A_S$  au niveau des nœuds  $j_1, j_2, j_3$  respectivement.

$$\text{au nœud } j_1, P_{S1} = a \Rightarrow a = A_{S1}$$

$$\text{au nœud } j_2, P_{S2} = a + cy_2 \Rightarrow c = (P_{S2} - a)/y_2$$

$$\text{au nœud } j_3, A_{S3} = a + bx_3 + cy_3 \Rightarrow b = (P_{S3} - a - cy_3)/x_3$$

La donnée des  $A_{Sj}$  aux nœuds  $j_i$  donne l'expression de  $P_{Sj}$ , et bien qu'on peut calculer  $[C^{-1}]^t \int_V [G]^t \{P_S\} ds$ , en fait, on intègre sur la surface  $A$  de l'élément; on a donc :

$$[C^{-1}]^t \int_A [G]^t (a + b\partial x + c\partial y) dA =$$

$$[C^{-1}]^t \times \left[ \begin{array}{l} a \cdot I(x^0, y^0) + b \cdot I(x^1, y^0) + c \cdot I(x^0, y^1) \\ a \cdot I(x^1, y^0) + b \cdot I(x^2, y^0) + c \cdot I(x^1, y^1) \\ a \cdot I(x^0, y^1) + b \cdot I(x^1, y^1) + c \cdot I(x^0, y^2) \\ a \cdot I(x^2, y^0) + b \cdot I(x^3, y^0) + c \cdot I(x^2, y^1) \\ a \cdot I(x^1, y^2) + b \cdot I(x^2, y^1) + c \cdot I(x^1, y^2) \\ a \cdot I(x^0, y^2) + b \cdot I(x^1, y^2) + c \cdot I(x^0, y^3) \\ a \cdot I(x^3, y^0) + b \cdot I(x^4, y^0) + c \cdot I(x^3, y^1) \\ a \cdot I(x^1, y^3) + b \cdot I(x^2, y^2) + c \cdot I(x^1, y^3) \\ a \cdot I(x^0, y^3) + b \cdot I(x^1, y^3) + c \cdot I(x^0, y^4) \end{array} \right]$$

### 3.4 LE VOILE MINCE

Les voiles minces sont des éléments où l'on superpose un élément de contraintes planaires à un élément de plaque en flexion; chaque noeud a donc cinq degrés de liberté indépendants: deux en contraintes planaires et trois en flexion; pour faire la superposition, on classe les degrés de liberté dans un ordre tel que la matrice de rigidité soit aussi à utiliser; étant donné qu'on devra passer du système local de l'élément au système global de la structure où on a six degrés de libertés, on introduit des maintenant dans le système local, un sixième degré de liberté  $\theta_3$  qui est la rotation, en réalité fictive, autour de l'axe local  $z$ .

#### 3.4.1 Matrice de rigidité $[k]$ et charges équivalentes

soient  $[k_p]$  = matrice de rigidité en contraintes planaires  
 $\{P_{eqp}\}$  = charges équivalentes en contraintes planaires  
 $[k_f]$  = matrice de rigidité en état de flexion  
 $\{P_{eqf}\}$  = charges équivalentes en état de flexion  
ces matrices et vecteurs charges ont déjà été calculées.  
vient  $\{\Delta p\}$  = degrés de liberté en contraintes planaires  
 $\{\Delta f\}$  = degrés de liberté en état de flexion  
 $\{\Delta_{ef}\}$  = degrés de liberté du voile minu dans le système  
du d'axe Local

$\{\delta\}$  = degré de liberté dans le système global de la structure;

on pose  $\{\Delta\} = \{\Delta_{ef}\} = [\{\Delta p\}, \{\Delta f\}, \delta_{31}, \delta_{32}, \delta_{33}]^t$

alors, dans ces conditions,

$$[k_e] = \begin{bmatrix} k_p & & & \\ & \ddots & & \\ & & k_f & \\ & & & 0 \end{bmatrix} \quad \left. \begin{array}{l} \text{6 lignes} \\ \text{9 lignes} \\ \text{3 lignes} \end{array} \right\} \quad (\text{éq. 28})$$

avec  $[k_e]$  = matrice de rigidité local du voile; elle est d'ordre  $18 \times 18$

de même le vecteur charge équivalente du voile dans le système local est

$$\{P_{eq}\} = [\{P_{eqp}\}, \{P_{eqf}\}, 0, 0, 0]^t$$

### 3.4.2 Assemblage des éléments

L'assemblage consiste à calculer les matrices  $[R]$ ,  $\{P_{eq}\}$  et  $\{\Delta\}$  exprimées dans l'équation (22) en vu du

calcul de  $\bar{D}$  par la résolution de cette même équation.

$$(éq. 18) \rightarrow [\bar{R}] = \sum_{j=1}^m [Kg]$$

$[Kg]$  est la matrice de rigidité élémentaire dans le système d'axe global de la structure; il convient donc de transformer  $[k]$  en  $[Kg]$ , afin de pouvoir faire la sommation. (voir figure 3-6)

Soyons  $(x', y', z')$  le système d'axe local propre à l'élément et  $(x, y, z)$  le système d'axe global de la structure. Soit  $[d]$  la matrice des cotinus directeurs des axes locaux par rapport aux axes globaux.

$$[d] = \begin{bmatrix} dx'x & dx'y & dx'z \\ dy'x & dy'y & dy'z \\ dz'x & dz'y & dz'z \end{bmatrix} = \begin{bmatrix} d_{11} & d_{12} & d_{13} \\ d_{21} & d_{22} & d_{23} \\ d_{31} & d_{32} & d_{33} \end{bmatrix}$$

où  $dx'x = d_{11}$  = cotinus directeur de l'axe  $x$  par rapport à  $X$

Le système d'axe local est tel que le côté  $j_1-j_2$  est parallèle à l'axe  $y'$  et le nœud  $j_1$  est l'origine (fig. 16 et 18).

Soit  $(x_i, y_i, z_i)$  les coordonnées globales du nœud local  $j_i$ ; le côté  $j_1-j_2$  est défini par le vecteur  $V_{12}$  par:

$$V_{12} = \begin{bmatrix} x_2 - x_1 \\ y_2 - y_1 \\ z_2 - z_1 \end{bmatrix} = \begin{bmatrix} x_{21} \\ y_{21} \\ z_{21} \end{bmatrix}$$

Sa longueur est  $l_{12} = \sqrt{x_{21}^2 + y_{21}^2 + z_{21}^2}$

Les cotinus directeurs de l'axe local  $y'$  sont alors donnés par les coordonnées du vecteur unitaire  $v_{y'} = V_{12}/l_{12}$ ;

en utilisant les propriétés du produit vectoriel et du vecteur unitaire, on trouve également les valeurs des cotinus directeurs des autres axes locaux; la démonstration est donnée en appendice et on a:

$$\lambda_{21} = x_{21}/l_{12} \quad \lambda_{22} = y_{21}/l_{12} \quad \lambda_{23} = z_{21}/l_{12}$$

$$\lambda_{31} = (y_{31}z_{21} - y_{21}z_{31})/l_3'$$

$$\lambda_{32} = (z_{31}x_{21} - z_{21}x_{31})/l_3'$$

$$\lambda_{33} = (x_{31}y_{21} - x_{21}y_{31})/l_3'$$

$$\lambda_{11} = \lambda_{22}\lambda_{33} - \lambda_{32}\lambda_{23}; \quad \lambda_{12} = \lambda_{23}\lambda_{31} - \lambda_{33}\lambda_{21}$$

$$\lambda_{13} = \lambda_{21}\lambda_{32} - \lambda_{31}\lambda_{22}$$

$l_3'$  est la longueur du vecteur  $V_3' = V_{13} \times V_{12}$

Les cotinus directeurs connus, on peut calculer les coordonnées des noeuds de l'élément par rapport au système local; ces coordonnées, on les avait aussi supposées connues, alors qu'a priori, seules les coordonnées  $x_i, y_i$  et  $z_i$  le sont; la démonstration de ce calcul est aussi donnée en appendice.

$$\text{Soit } \{\Delta\} = [\{\Delta_1\}, \{\Delta_2\}, \{\Delta_3\}]^t$$

$$\text{avec } \{\Delta_i\} = [dx_i, dy_i, dz_i, Rx_i, Ry_i, Rz_i]^t$$

$dx_i, dy_i, dz_i$  sont les déplacements suivant  $x, y$  et  $z$   
 $Rx_i, Ry_i, Rz_i$  sont les rotations autour de  $x, y$  et  $z$ .

Soit  $[Tg]$  la matrice définie par:

$$\{\Delta\} = [Tg] \{\Delta\} \quad (\text{eq. 38})$$

$[Tg]$  est la matrice de transformation géométrique;  
 De l'équation (38), on déduit l'expression de  $[Tg]$ :

$$= [6_1]$$

६

soit  $\{F_f\}$  l'expression des forces dans le système global  
 $\{F_f\} = [\{F_1\}, \{F_2\}, \{F_3\}]^t$  avec  $\{F_i\} = [F_x; F_y; F_z; \tau_{x1}; \tau_{y1}; \tau_{z1}]$   
 quelque soit le système, les forces effectuent le même travail, compte tenu des déplacements correspondants.

$$\{F_f\}^t \{\Delta_f\} = \{F_{ef}\}^t \{\Delta_f\}$$

$$(38) \rightarrow \{p_{ef}\} = [T_g] \{\Delta_f\} \text{ et } \{F_{ef}\} = [T_g] \{F_f\}$$

alors  $\{F_f\}^t \{\Delta_f\} = ([T_g] \{F_f\})^t ([T_g] \{\Delta_f\}) = \{F_f\}^t [T_g]^t [T_g] \{\Delta_f\}$

$$\Rightarrow [T_g]^t = [T_g^{-1}] : [T_g] \text{ est une matrice orthogonale}$$

$$\{F_f\} = [K_e] \{p_{ef}\} \Rightarrow [T_g] \{F_f\} = [K_e] [T_g] \{\Delta_f\}$$

$$\Rightarrow [T_g^{-1}] [T_g] \{F_f\} = [T_g^{-1}] [K_e] [T_g] \{\Delta_f\}$$

$$\Rightarrow \{F_f\} = [T_g^{-1}] [K_e] [T_g] \{\Delta_f\}$$

comme  $\{F_f\} = [K] \{p_f\}$ , alors

$$[K] = [T_g]^{-1} [K_e] [T_g] \quad (\text{eq. 40})$$

l'équation (38) montre que  $[K_e]$  est singulier; pour l'éviter, on remplace la sous matrice nulle  $[0]$  de dimension  $3 \times 3$  par la matrice suivante définie par:

$$\begin{pmatrix} F_{B31} \\ F_{B32} \\ F_{B33} \end{pmatrix} = \alpha E h A \begin{pmatrix} 1 & -0,5 & -0,5 \\ & 1 & -0,5 \\ & & 1 \end{pmatrix} \begin{pmatrix} \theta_{31} \\ \theta_{32} \\ \theta_{33} \end{pmatrix}$$

sym.

où  $A$  est la surface de l'élément triangulaire et  $\alpha$  est un

coefficient qui reste à déterminer; ceci est une solution proposée par O. Zienkiewicz; cette raideur supplémentaire intervient en fait sur les résultats, car elle affecte les noeuds où les éléments ne sont pas coplanaires; ce procédé ne donne que des résultats approchés; il propose de prendre  $\alpha$  aussi petit que possible de zéro et recommande que  $\alpha \leq 0,03$

### 3.5. RESOLUTION DES EQUATIONS ET CALCUL DES CONTRAINTES

Il s'agit de trouver les solutions  $\{\delta\}$  de l'équation matricielle (22); la résolution se fait par des procédés numériques.  $\{\delta\}$  représente les déplacements à tous les noeuds de la structure; la méthode utilisée est basée sur l'élimination de GAUSS.

Les déplacements connus, on peut alors calculer les éléments de réductions de chaque élément triangulaire, aux trois noeuds; ces forces ou contraintes sont données dans le système local de chaque élément; pour cela, on recourt au deux cas de contraintes planaires puis de flexion indépendamment.

En état plan de contrainte, la relation contrainte-déplacement  $\{\sigma\} = [E] \{\delta\}$  et l'équation (13) donnent, avec l'équation (10):

$$\{\sigma\} = [E] [B_\alpha] \{\omega\} = [E] [B_\alpha] \cdot [C^{-1}] \{f\}$$

où  $\{\sigma\}$  est défini par  $\{\sigma\} = [ \sigma_x \ \sigma_y \ \tau_{xy} ]^t$ .

en multipliant  $\{\sigma\}$  par l'épaisseur de la plaque, on ob-

Tient les forces par unité de longueur.  $\{N_f\} = [N_x, N_y, N_{xy}]^t$ .

$$\{N_f\} = h \cdot \{f_f\} = h \cdot [E] [B_d] [C^{-1}] \{f_f\},$$

en flexion, les équations dérivées des équations (10) et (18) et la relation  $\{M_f\} = [D] \{f_f\}$  donnent :

$$\{M_f\} = [D] [B_d] [C^{-1}] \{f_f\}$$

dans cette équation,  $\{M_f\}$  est défini comme dans l'équation (24), et correspondent donc à des moments par unité de longueur.

Pour la résolution, on tient compte des appuis de la structure; on considère une très grande rigidité pour les noeuds qui se trouvent au niveau des appuis où les déplacements en ces points sont connus d'avance et sont nuls; on peut donc déduire la valeur des réactions en ces points en multipliant l'opposé des déplacements par la rigidité supposée; on n' considérera donc que les noeuds restreints;

# CHAPITRE IV

## PRESENTATION DU LOGICIEL

Pour chaque problème à traiter, il faut créer un fichier dans lequel on mettra toutes les données qui lui sont relatives; c'est le fichier des données que le programme lira au cours de son exécution; il est également nécessaire de donner un nom au fichier des résultats que le programme crera automatiquement, et dans lequel il mettra le résultat des calculs; nous allons présenter les différentes phases de l'exécution du programme.

#### 4.1 LECTURE DES DONNÉES

##### 4.1.1 Données générales

après avoir lu en mode interactif les noms des fichiers de données et des résultats, le programme procéde à la lecture des données générales qui sont, dans l'ordre de lecture :

- nel : nombre d'éléments de la structure discutée
- nod : nombre total de nœuds de la structure
- ndl : nombre de degré de liberté par nœud
- em : le module d'élasticité du matériau en  $\text{KN/m}^2$
- pe : le coefficient de Poisson  $\nu$ .
- nrr : le nombre de nœuds restreints

gamma : le poids volumique du matériau en  $\text{KN/m}^3$ ; si l'axe vertical z du système global est dirigé vers le bas, il sera positivement; dans le cas contraire, donner une valeur négative pour le poids volumique.

— alfa : coefficient qui tient compte du sixième degré de liberté  $\theta_3$  au niveau local; il varie entre 0,03 et 0.

Pour un problème de plaque,  $\alpha_{ff}$  est non nul.

Le programme calcule alors :

- $m_k$  = nombre de degrés de liberté par élément
- $nn$  = nombre total de degrés de liberté
- $nr = nn + 1$

#### 4.1.2 Données des noeuds et connectivité des éléments

La lecture se poursuit avec celle de :

$k$  = numéro du noeud spécifié

$x_k$  = abscisse du noeud  $k$  dans le système global

$y_k$  = ordonnée du noeud  $k$  " "

$z_k$  = côte du noeud  $k$  " "

les restrictions des noeuds sont lues et stockées dans le tableau  $ires$ :

$i_{res}(i, j)$  = numéro du  $j$ ème noeud restreint

$i_{res}(i, j)$  = restriction suivant  $j$  du  $i$ ème noeud restreint.

$j$  varie de 1 à 6, pour les 6 degrés de liberté

$i_{res}(i, j) = 0$  si le mouvement est permis

$i_{res}(i, j) = 1$  si le mouvement est empêché

Pour la connectivité des éléments, on a :

$j(i, k)$  = noeud  $j$  de l'élément  $k$ ,  $j$  variant de 1 à 3.  
on lit en même temps l'épaisseur  $t(k)$  de l'élément, dont l'unité est en m.

#### 4.2 CALCUL DE L'ADRESSE DES DIAGONALES

on évalue le vecteur  $noxa$ , correspondant aux adresses des diagonales; il permet d'effectuer l'assemblage, la triplé de composition

tion, et détermine l'espace requis pour la matrice de rigidité; cette valeur de l'espace est  $nwk$ ; on procède alors à l'initialisation de la matrice de rigidité  $gwk$ .

#### 4.3 BOUCLE DE CALCUL DES DONNEES DES ELEMENTS

cette partie fait appel à plusieurs sous routines; successivement, on fait appel à:

— coordloc: cette sous routine calcule les cotés directs des axes locaux:  $al(i,j) = \lambda_{ij}$ , puis les coordonnées des noeuds du triangle dans le système local; ainsi:  $x(i,k)$  est l'abscisse locale du noeud  $i$  de l'élément  $k$   
 $y(i,k)$  = ordonnée du noeud  $i$  de l'élément  $k$   
 $z(i,k)$  = cote du noeud  $i$  de l'élément  $k$

— aintegr:

à partir des coordonnées locales  $x, y$  et  $z$ , on calcule les intégrals:  $aint(i,j) = I(x^{i-1}, y^{j-1}) = \int x^{i-1} y^{j-1} dx dy$ .

— coplag:

elle calcule la matrice de rigidité de l'élément en contraintes planes dans son système local; cette sous routine fait appel à d'autres sous routines qui sont:

\* transfem: qui calcule la matrice de transformation des déplacements en état membrane  $[C]$  et son inverse gradué à la sous routine dinv; l'inverse est stocké dans  $[C^{-1}]$

\* produit: qui fait la triple multiplication  $[C^{-1}]^T [K_0] [C^{-1}]$ ;

à la sortie de coplag, la matrice de rigidité est ncp.

— coffleg: calcule la rigidité ncf de l'élément en flexion; elle fait aussi appel à transdef pour le calcul de la matrice de transformation des déplacements dans le cas de la flexion, puis à produit

— transfo:

cette sous routine calcule la matrice de transformation géométrique [tg] de l'élément;

— rigel:

elle calcule la rigidité de l'élément en tenant compte des états plan (ncp) et de flexion (ncf); puis transforme cette rigidité appellée stif du système local au système global et devient la rigidité amat.

— adress:

elle calcule le vecteur d'adresses iad des rangées et colonne de la rigidité de l'élément traité, dans la rigidité globale grk.

— assemb:

elle procède à l'assemblage des rigidités amat dans le grk; c'est là que prend fin la boucle des éléments.

#### 2.4 TRAITEMENT DES RESTRICTIONS ET DECOMPOSITION

ce traitement consiste à chercher dans le grk, les rigidités qui correspondent aux degrés de liberté restreints et à y mettre un très gros chiffre pour limiter la rigidité infinie.

Le programme fait appel à la sous routine tripld qui procède à la décomposition de Gauss; cela revient

à réduire

Tous coefficients de  $g_{rk}$  en une matrice triangulaire supérieure indépendamment du vecteur des charges; en fait triple décompose  $g_{rk}$  en un produit de trois matrices: une matrice triangulaire inférieure, une matrice diagonale unité, et une matrice triangulaire supérieure, taconnée de la matrice triangulaire inférieure; c'est à cette étape que l'on voit si  $g_{rk}$  est définie positive ou non; elle devrait l'être.

#### 4.5 BOUCLE DES CAS DE CHARGEMENT

On passe à la lecture des charges dans le fichier des données:

- nnch: nombre de noeuds chargés directement; il est recommandé de mettre un noeud aux lieux des points où des charges concentrées sont appliquées
- ve: vecteur des charges; on y met les charges concentrées et l'effet équivalent des autres charges sur les éléments.
- nelsr: nombre d'éléments avec charges réparties en surface
- piz(j,k): cote de la charge répartie en surface de l'élément k, au niveau de son noeud j
- nelrc: nombre d'éléments avec charges réparties sur le côté
- bx, by: charges réparties sur les cotés, et agissant suivant les directions x et y respectivement
- Les charges introduites, on calcule leur effet équivalent

aux noeuds grâce aux sous routines chepla pour les forces agissant dans le plan et cheflex pour les forces causant la flexion, les étapes suivantes sont:

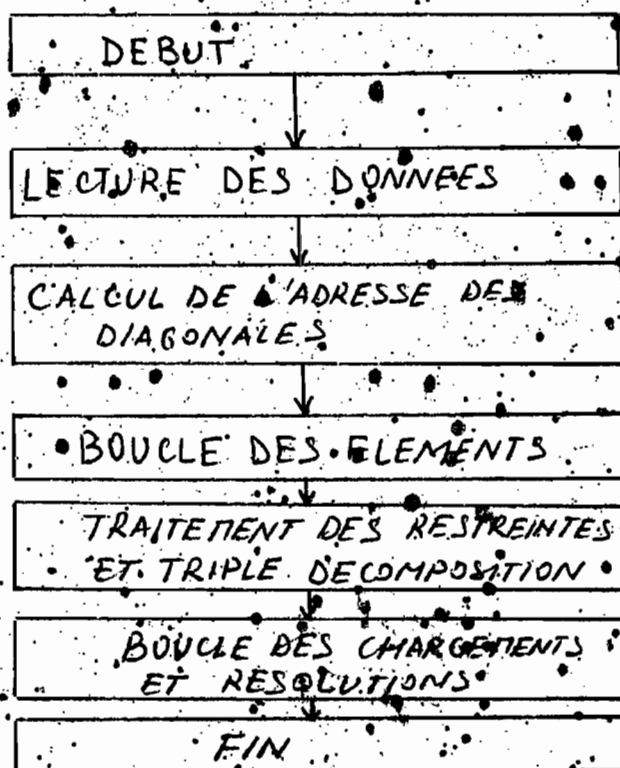
— calcul des déplacements par la sous routine resolv, les déplacements sont stockés dans vc, à l'apôtre des charges.

— calcul des contraintes grâce aux sous routines sigmap et sigmaf respectivement pour les états plan et de flexion.  $s$  est le vecteur des contraintes.

— calcul des réactions  $R$  aux appuis ou noeuds restreints;

Fin de la boucle des chargements et du programme. Un listing du programme et des sous routines est donné en appendice.

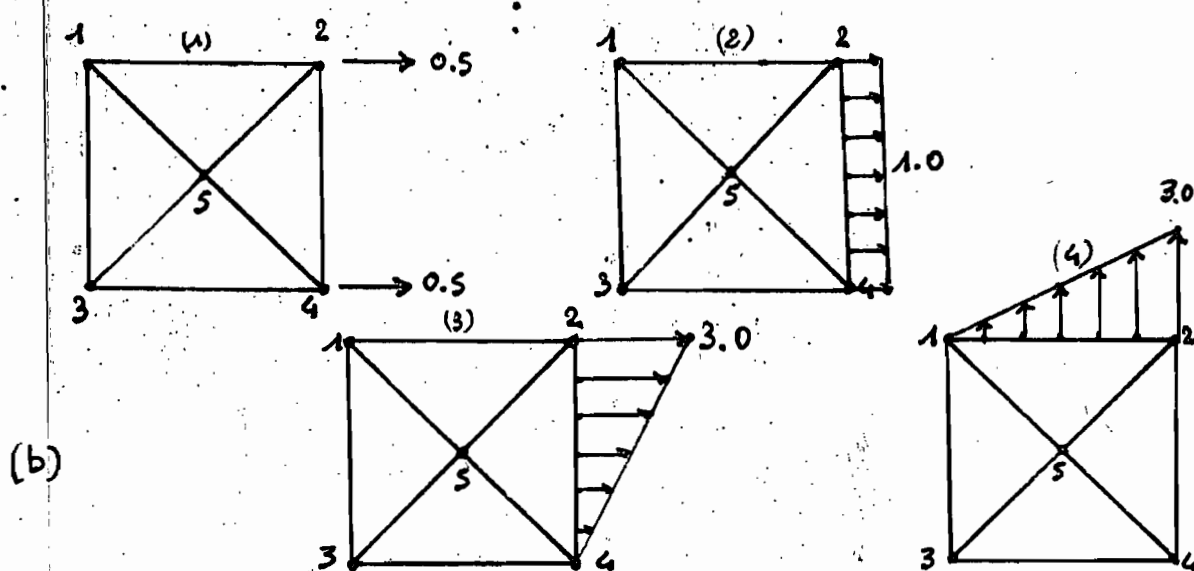
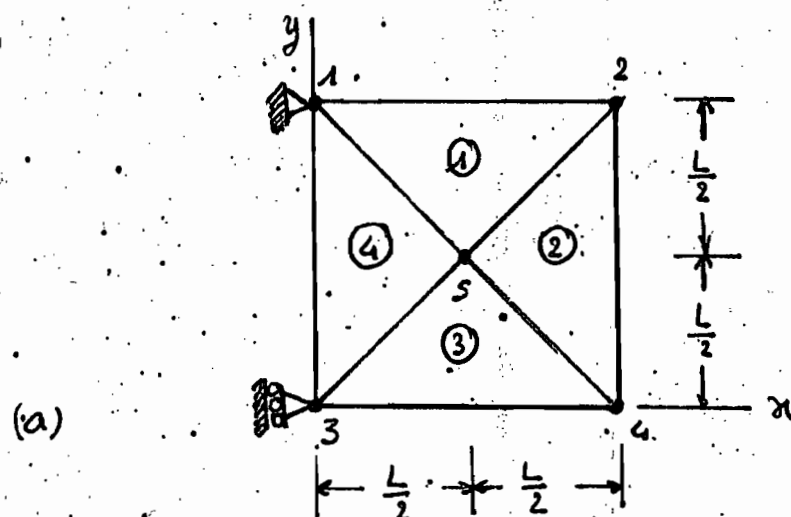
#### 4.6 ALGORITHME DU PROGRAMME PRINCIPAL



La validité d'un programme d'ordinateur ne peut être connue qu'après avoir effectué des essais sur des cas particuliers dont on connaît les solutions exactes; la référence 8 donne des exemples résolus que nous allons traiter, afin de comparer nos résultats.

Le premier cas est celui d'une plaque carrée subissant des forces dans son plan; les valeurs des paramètres sont:

$$E = 1; \nu = 0.3; \text{ épaisseur } h = 0.1; L = 1$$



On utilise le même maillage que celui utilisé dans la référence 8, de même que des éléments identiques; seule la connectivité des éléments n'est pas la même; les résultats obtenus sont identiques; remarquons que pour les quatre cas de chargement analysés, seule la partie de la matrice de rigidité pour l'état plan de contrainte est prise en compte; il se trouve que l'élément dans ce cas est conforme; par ailleurs, lors du traitement des restrictions, on doit empêcher la rotation autour de l'axe 3, perpendiculaire au plan en un noeud; ici, on a pris le noeud 1; cela permet d'éviter la singularité de la rigidité; il y a aussi pris égal à 1. Bien que nous pensons qu'il serait bien de faire d'autres tests sur des cas réels, nous donnons dans les quatre pages qui suivent, l'impression de nos résultats.

## CONCLUSION

Donnees generales

\*\*\*\*\*  
nombre d'elements \_\_\_\_\_ 4  
nombre de noeuds \_\_\_\_\_ 5  
nombre de degres de libertes \_\_\_\_\_ 6  
module d'elasticite \_\_\_\_\_ 1.0  
coefficient de Poisson \_\_\_\_\_ 3000  
nombre de noeuds restreints \_\_\_\_\_ 2  
poids volumique \_\_\_\_\_ 0000  
Alfa \_\_\_\_\_ 1.000000

\*\*\*\*\*

Donnees des noeuds

\*\*\*\*\*

noeud	coordx	coordy	coordz
1	.000	1.000	.000
2	1.000	1.000	.000
3	.000	.000	.000
4	1.000	.000	.000
5	.500	.500	.000

\*\*\*\*\*

restreintes aux noeuds

\*\*\*\*\*

noeud	dx	dy	dz	rotax	rotay	rotaz
1	1	1	1	0	0	1
3	1	0	1	0	0	0

3.

\*\*\*\*\*

connectivite des elements

\*\*\*\*\*

elmt	noeud 1	noeud 2	noeud 3	epaisseur
1	5	1	2	1000
2	5	2	4	1000
3	5	4	3	1000
4	5	3	2	1000

nombre d'equations = 30

espace requis = 429

\*\*\*\*\*

CAS DE CHARGEMENT NO 1

\*\*\*\*\*

\*\*charges aux noeuds\*\*  
\*\*\*\*\*

nombre de noeuds charges = 2

noeud	fx	fz	Mx	My	Mz	
2	.500	.000	.000	.000	.000	.000
4	.500	.000	.000	.000	.000	.000

\*\*\*\*\*

Deplacements

\*\*\*\*\*

noeud	dx	dy	dz	rota.x	rota.y	rota.z
1	0.0000	0.0000	.0000	.0000	.0000	.0000
2	10.0000	0.0000	.0000	.0000	.0000	.0000
3	0.0000	3.0000	.0000	.0000	.0000	.0000
4	10.0000	3.0000	.0000	.0000	.0000	.0000
5	5.0000	1.5000	.0000	.0000	.0000	.0000

\*\*\*\*\*

elements de reduction

\*\*\*\*\*

elem.	noeuds	Nx	Ny	Nxy	Mx	My	Mxy
1	1	.5000	.5000	.5000	.0000	.0000	.0000
1	2	.5000	.5000	.5000	.0000	.0000	.0000
1	3	.5000	.5000	.5000	.0000	.0000	.0000
2	1	.5000	.5000	.5000	.0000	.0000	.0000
2	2	.5000	.5000	.5000	.0000	.0000	.0000
2	3	.5000	.5000	.5000	.0000	.0000	.0000
3	1	.5000	.5000	.5000	.0000	.0000	.0000
3	2	.5000	.5000	.5000	.0000	.0000	.0000
3	3	.5000	.5000	.5000	.0000	.0000	.0000
4	1	.5000	.5000	.5000	.0000	.0000	.0000
4	2	.5000	.5000	.5000	.0000	.0000	.0000
4	3	.5000	.5000	.5000	.0000	.0000	.0000

\*\*\*\*\*

reactions aux appuis

\*\*\*\*\*

noeud	rx	ry	rz	Mx	My	Mz
1	-.500	0.000	.000	.000	.000	.000
3	-.500	.000	.000	.000	.000	.000

\*\*\*\*\*

CAS DE CHARGEMENT NO 2

\*\*\*\*\*

\*\*charges laterales \*\*

\*\*\*\*\*  
nombre d elements charges 1

elem.	cote	bx1	bx2	by1	by2
2	1	1.0000	1.0000	1.0000	1.0000

\*\*\*\*\*  
Deplacements  
\*\*\*\*\*

noeud	dx	dy	dz	rotax	rota.y	rota.z
1	0.0000	0.0000	0.0000	0.0000	0.0000	0.0000
2	10.0000	0.0000	0.0000	0.0000	0.0000	0.0000
3	0.0000	3.0000	0.0000	0.0000	0.0000	0.0000
4	10.0000	3.0000	0.0000	0.0000	0.0000	0.0000
5	9.0000	1.5000	0.0000	0.0000	0.0000	0.0000

\*\*\*\*\*  
elements de reduction  
\*\*\*\*\*

elem.	noeuds	Nx	<th>Nxy</th> <th>Mx</th> <th>My</th> <th>Mxy</th>	Nxy	Mx	My	Mxy
1	1	.5000	.5000	-.5000	0.0000	0.0000	0.0000
1	2	.5000	.5000	-.5000	0.0000	0.0000	0.0000
1	3	.5000	.5000	-.5000	0.0000	0.0000	0.0000
2	1	.5000	.5000	-.5000	0.0000	0.0000	0.0000
2	2	.5000	.5000	-.5000	0.0000	0.0000	0.0000
2	3	.5000	.5000	-.5000	0.0000	0.0000	0.0000
3	1	.5000	.5000	-.5000	0.0000	0.0000	0.0000
3	2	.5000	.5000	-.5000	0.0000	0.0000	0.0000
3	3	.5000	.5000	-.5000	0.0000	0.0000	0.0000
4	1	.5000	.5000	-.5000	0.0000	0.0000	0.0000
4	2	.5000	.5000	-.5000	0.0000	0.0000	0.0000
4	3	.5000	.5000	-.5000	0.0000	0.0000	0.0000

\*\*\*\*\*  
reactions aux appuis  
\*\*\*\*\*

noeud	rx	ry	rz	Mx	My	Mz
1	-.500	0.000	0.000	0.000	0.000	0.000
3	-.500	0.000	0.000	0.000	0.000	0.000

\*\*\*\*\*  
CAS DE CHARGEMENT NO 3  
\*\*\*\*\*

\*\*charges laterales\*\*  
\*\*\*\*\*

nombre d elements charges 1

elem.	cote	bx1	bx2	by1	by2
2	1	3.0000	.0000	3.0000	.0000

\*\*\*\*\*

**Deplacements**

\*\*\*\*\*

noeud	dx	dy	dz	rota.x	rota.y	rota.z
1	0.0000	0.0000	0.0000	0.0000	0.0000	0.0000
2	23.7750	-8.7750	0.0000	0.0000	0.0000	0.0000
3	0.0000	4.5000	0.0000	0.0000	0.0000	0.0000
4	6.2250	-4.2750	0.0000	0.0000	0.0000	0.0000
5	7.5000	-0.0250	0.0000	0.0000	0.0000	0.0000

\*\*\*\*\*

**elements de reduction**

\*\*\*\*\*

elem.	noeuds	Nx	<th>Nzy</th> <th>Mx</th> <th>My</th> <th>Mxy</th>	Nzy	Mx	My	Mxy
1	1	1.0750	1.0750	-1.2500	0.0000	0.0000	0.0000
1	2	1.0750	1.0750	-1.2500	0.0000	0.0000	0.0000
1	3	1.0750	1.0750	-1.2500	0.0000	0.0000	0.0000
2	1	.5750	.9250	.7500	0.0000	0.0000	0.0000
2	2	.5750	.9250	.7500	0.0000	0.0000	0.0000
2	3	.5750	.9250	.7500	0.0000	0.0000	0.0000
3	1	.4250	.4250	-.2500	0.0000	0.0000	0.0000
3	2	.4250	.4250	-.2500	0.0000	0.0000	0.0000
3	3	.4250	.4250	-.2500	0.0000	0.0000	0.0000
4	1	.9250	.5750	.7500	0.0000	0.0000	0.0000
4	2	.9250	.5750	.7500	0.0000	0.0000	0.0000
4	3	.9250	.5750	.7500	0.0000	0.0000	0.0000

\*\*\*\*\*

**reactions aux appuis**

\*\*\*\*\*

noeud	rx	ry	rz	Mx	My	Mz
1	-1.000	0.000	0.000	0.000	0.000	0.000
3	-.500	0.000	0.000	0.000	0.000	0.000

\*\*\*\*\*

**CAS DE CHARGEMENT NO 4**

\*\*\*\*\*

\*\*charges laterales \*\*

\*\*\*\*\*

nombre d elements charges 1

elem.	cote	bx1	bx2	by1	by2
1	1	0.0000	3.0000	0.0000	3.0000

\*\*\*\*\*

Deplacements

\*\*\*\*\*

noeud	dx	dy	dz	rota.x	rota.y	rota.z
1	0.0000	0.0000	.0000	.0000	.0000	.0000
2	-17.5500	61.1000	.0000	.0000	.0000	.0000
3	0.0000	17.5500	.0000	.0000	.0000	.0000
4	17.5500	43.5500	.0000	.0000	.0000	.0000
5	4.2250	26.3250	.0000	.0000	.0000	.0000

\*\*\*\*\*

elements de reduction

\*\*\*\*\*

elem.	noeuds	Nx	<th>Nxy</th> <th>Mx</th> <th>My</th> <th>Mxy</th>	Nxy	Mx	My	Mxy
1	1	.7000	-2.0000	1.0000	.0000	.0000	.0000
1	2	.7000	-2.0000	1.0000	.0000	.0000	.0000
1	3	.7000	-2.0000	1.0000	.0000	.0000	.0000
2	1	0.0000	1.3000	-1.0000	.0000	.0000	.0000
2	2	0.0000	1.3000	-1.0000	.0000	.0000	.0000
2	3	0.0000	1.3000	-1.0000	.0000	.0000	.0000
3	1	1.3000	0.0000	-1.0000	.0000	.0000	.0000
3	2	1.3000	0.0000	-1.0000	.0000	.0000	.0000
3	3	1.3000	0.0000	-1.0000	.0000	.0000	.0000
4	1	-2.0000	.7000	1.0000	.0000	.0000	.0000
4	2	-2.0000	.7000	1.0000	.0000	.0000	.0000
4	3	-2.0000	.7000	1.0000	.0000	.0000	.0000

reactions aux appuis

noeud	rx	ry	rz	Mx	My	Mz
1	1.000	-1.500	.000	.000	.000	.000
3	-1.000	.000	.000	.000	.000	.000

La méthode à envisager quand on veut faire un maillage n'est pas évidente; dans le premier cas que nous venons de traiter le maillage nous était donné. En effet, on a traité le cas d'une plaque carrée travaillant en flexion sous des charges perpendiculaires à son plan, comme le montre la figure 19; la référence 8 a traité ce même cas avec un élément plutôt carré; on se devait donc d'effectuer un maillage et de voir comment la structure se comporte; si l'on se base sur les résultats des déflections des points A, B, C suivant z, on constate que la précision de nos résultats varie avec le maillage, le type d'élément choisi, le nombre d'éléments en usage.

Nous avons essayé des cas de maillage symétrique, puis quelconque, des éléments élancés puis trapus (triangle isocèle); nous n'avons toute fois pas pu décider du type de maillage à effectuer afin d'obtenir la solution la plus précise possible.

Si on traçait la courbe des variations des déflections des points A, B et C en fonction des mailles, on constate que :

— les déflections sont grandes pour des éléments élancés (allongés); on pourrait penser que ce fait est normal car les éléments sont dans ce cas flexibles

— les déflections sont petites pour des éléments courts ; éléments plus rigides (maillage S: 32 éléments)

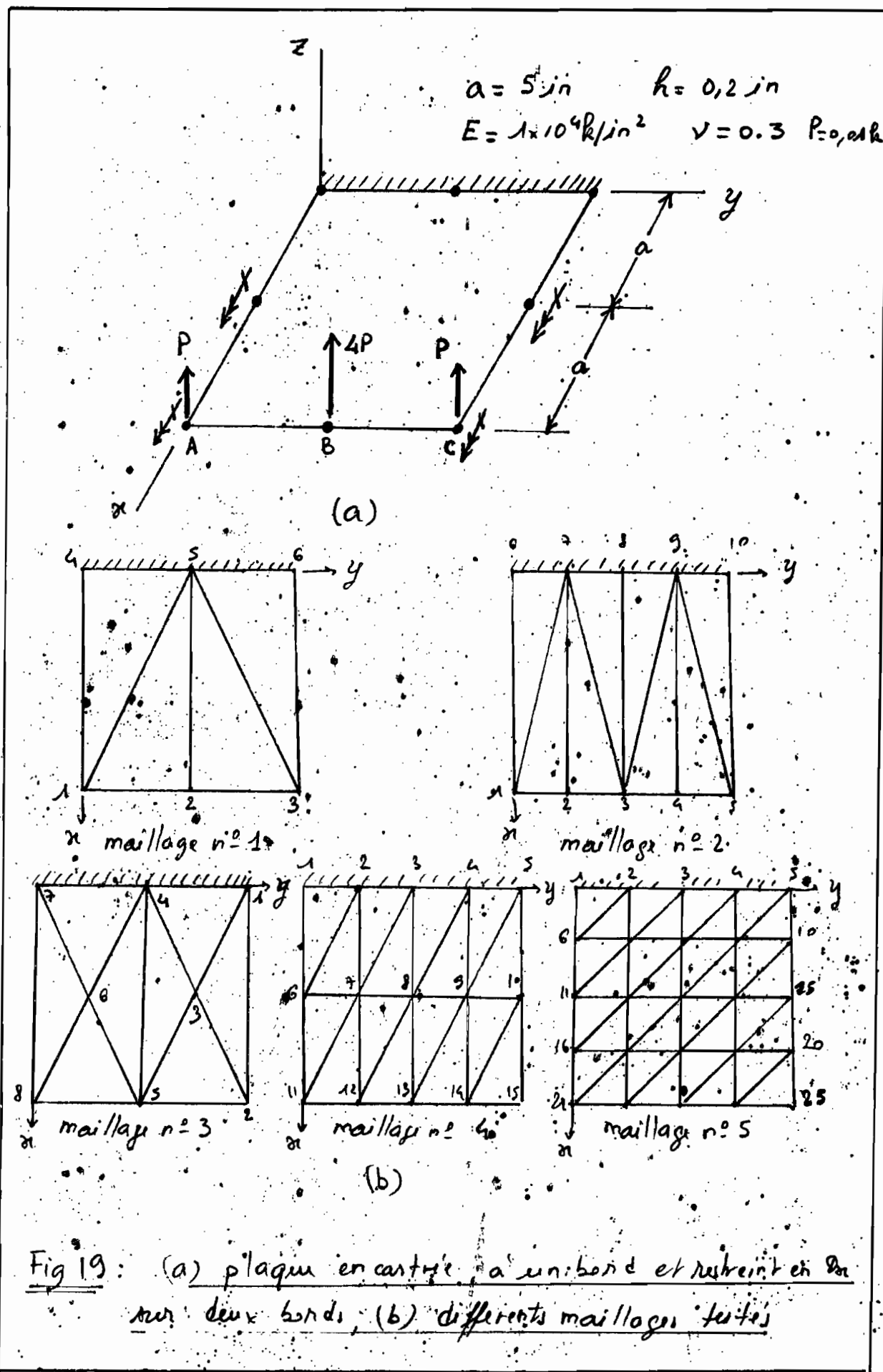


Fig 19: (a) plaque en carrière, à un bord et restreint en 2a sur deux bords, (b) différents maillages testés

— le premier maillage grossier donne des déflexions plus précises que celles des maillages de 8 éléments; toutefois, on revient vers la précision avec un maillage de 16 éléments.

Ces quelques points ne nous permettent pas de nous épanouir de façon claire sur l'efficacité du programme; il faut se rappeler que l'élément triangulaire dans un tel cas de chargement n'est pas conforme; ce qui veut dire que la convergence des solutions n'est pas forcément monotone;

Nous n'avons pas eu le temps de contrôler le comportement des autres variables, mais l'implémentation de ces résultats devrait être semblable; il est donc souhaitable de se pencher encore sur le programme pour l'améliorer sur ce plan; le maillage de 16 éléments donne des résultats avec 2% d'erreur (voir annexe)

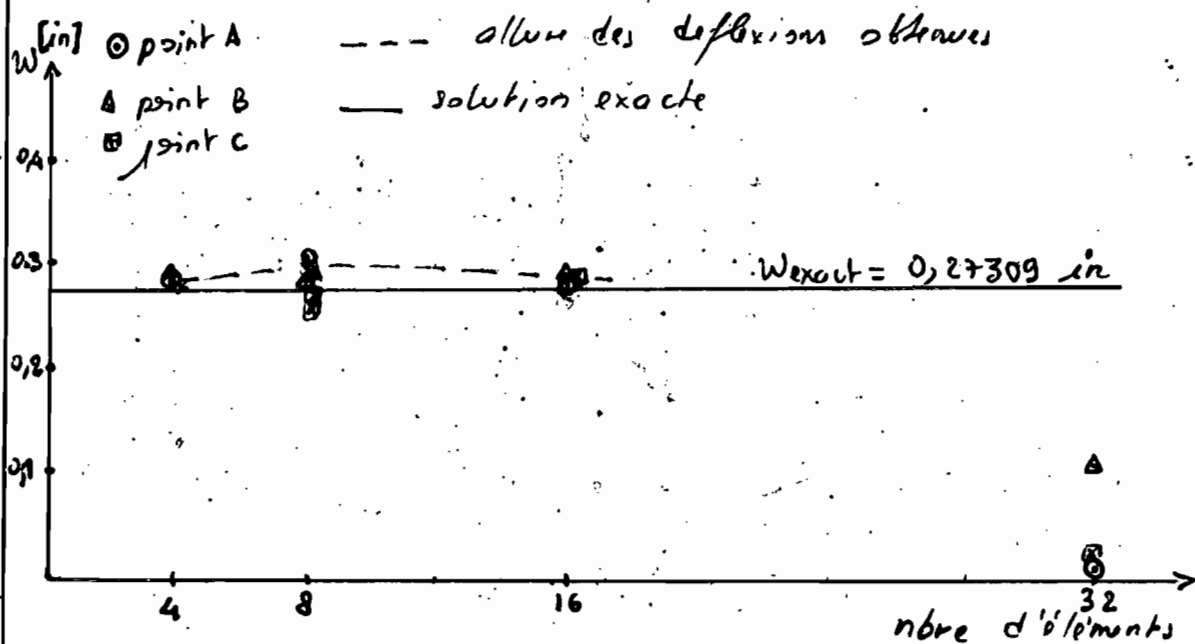


Fig 20 : allure des déflexions des points A, B et C versus maillages

## REFERENCES

## APPENDICE

### A-1 ENERGIE DE DEFORMATION PRODUITE PAR LA FLEXION D'UNE PLAQUE

#### A-1.1 Flexion simple

Lorsqu'une plaque est fléchie par des moments fléchissants  $M_x$  et  $M_y$  uniformément distribués (fig. 8), on calcule l'énergie de déformation accumulée dans un élément tel que celui montré à la figure 10 en déterminant le travail effectué par les moments  $M_x dy$  et  $M_y dx$  sur l'élément pendant la flexion de la plaque.

Puisque les cotés restent plans, le travail effectué par les moments  $M_x dy$  s'obtient en prenant la moitié du produit du moment et de l'angle que font entre eux les côtés correspondants de l'élément après flexion; comme  $-\frac{\partial^2 w}{\partial x^2}$  représente approximativement la courbure de la plaque dans le plan des  $xz$ , l'angle correspondant à ces moments  $M_x dy$  est  $(-\frac{\partial^2 w}{\partial x^2}) dx$  et le travail effectué par ces moments est :

$$-\frac{1}{2} M_x \frac{\partial^2 w}{\partial x^2} dx dy.$$

On arrive à une équation analogue pour le travail effectué par les moments  $M_y dx$ .

Le travail total égal à l'énergie potentielle de l'élément est  $dU = -\frac{1}{2} \left( M_x \frac{\partial^2 w}{\partial x^2} + M_y \frac{\partial^2 w}{\partial y^2} \right) dx dy$ . (éq. 1)

en l'équation 3 donne  $\Delta U = \int_V U_0 dv$

$\Rightarrow U_e = U_0$  énergie au niveau de l'élément

L'équation (6) donne  $U_0$ ; on déduit l'expression de  $U$ :

$$U = \int_V \frac{1}{2} \{E\}^t [E] f f^T dV \quad (\text{eq. 6})$$

pourraient le calcul de  $U$  pour la plaque fléchie; on remplace les moments par leurs expressions (eq. 34-a), l'énergie de déformation sera représentée par

$$dU = \frac{1}{2} D \left[ \left( \frac{\partial^2 w}{\partial x^2} \right)^2 + \left( \frac{\partial^2 w}{\partial y^2} \right)^2 + 2\nu \frac{\partial^2 w}{\partial x^2} \frac{\partial^2 w}{\partial y^2} \right] dx dy$$

L'énergie totale s'obtiendra en intégrant cette expression

### 1.1.2 Flexion d'une plaque sous l'action d'une charge latérale

Si on néglige dans un tel cas l'énergie de déformation due aux efforts tranchants  $R_x$  et  $R_y$ , on trouve que l'énergie de déformation de l'élément est égale au travail effectué sur l'élément par les moments fléchissants  $M_{xy}$  et  $M_{yy}$  et par les moments de torsion  $M_{xydy}$  et  $M_{yndx}$ ; comme on néglige l'effet des efforts tranchants verticaux sur la courbure de la surface élastique, l'énergie de déformation due aux moments fléchissants sera représentée par l'expression précédente intégrée dans le cas de la flexion simple.

Pour exprimer l'énergie de déformation due aux moments de torsion  $M_{xydy}$ , on remarquera que l'angle de torsion correspondant est  $(\frac{\partial^2 w}{\partial x \partial y}) dx$ ; cette énergie est donc

$$\frac{1}{2} M_{xy} \frac{\partial^2 w}{\partial x \partial y} dx dy = \frac{1}{2} D(1-\nu) \left( \frac{\partial^2 w}{\partial x \partial y} \right)^2 dx dy$$

la même quantité d'énergie sera produite par les couples flexionnaires, de sorte que l'énergie due aux couples de torsion est

$$D(1-\nu) \left( \frac{\partial^2 w}{\partial x \partial y} \right)^2 dx dy$$

Puisque la torsion n'affecte pas le travail produit par les moments flexionnaires, l'énergie totale de déformation d'un élément de plaque s'obtient en additionnant l'énergie de flexion et celle de torsion.

$$\begin{aligned} dU = & \frac{1}{2} D \left[ \left( \frac{\partial^2 w}{\partial x^2} \right)^2 + \left( \frac{\partial^2 w}{\partial y^2} \right)^2 + 2\nu \frac{\partial^2 w}{\partial x^2} \frac{\partial^2 w}{\partial y^2} \right] dx dy + \\ & + D(1-\nu) \left( \frac{\partial^2 w}{\partial x \partial y} \right)^2 dx dy. \quad (\text{eq. c}) \end{aligned}$$

on constate que l'équation (c) peut s'écrire sous forme matricielle par

$$dU = \frac{dt}{2} \{ p \}^t [D] \{ p \} dx dy$$

$$\text{et } U = \int \frac{1}{2} \{ p \}^t [D] \{ p \} dx dy \quad (\text{eq. d})$$

cette équation est analogue à l'équation (6) et on voit que les déformations génératrices sont les courbures.

## A-2 INTEGRALES DE SURFACE ET LINÉAIRES

### A-2.1 Intégrales de surface

il s'agit d'évaluer les expressions des intégrales du genre :

$$I(x^m, y^n) = \iint x^m y^n dx dy \quad (\text{eq. a})$$

on utilise les coordonnées triangulaire ;  $\xi$  et  $\eta$  :

$$x = \xi(1-\eta)x_3$$

$$y = \xi[(1-\eta)y_3 + \eta y_2]$$

le jacobien de la transformation est  $J(x, y) = \xi x_3 y_2$

$$\text{donc } I(x^m, y^n) = \int_0^1 \int_0^1 x^m y^n |J(x, y)| d\xi d\eta \quad (\text{eq. b})$$

en remplaçant  $x$  et  $y$  par leurs expressions, on a tous calculs faits.

$$I(x^m, y^n) = \frac{x_3^{m+1} y_2}{m+n+2} \int_0^1 (1-\eta)^m [(1-\eta)y_3 + \eta y_2]^n d\eta \quad (\text{eq. c})$$

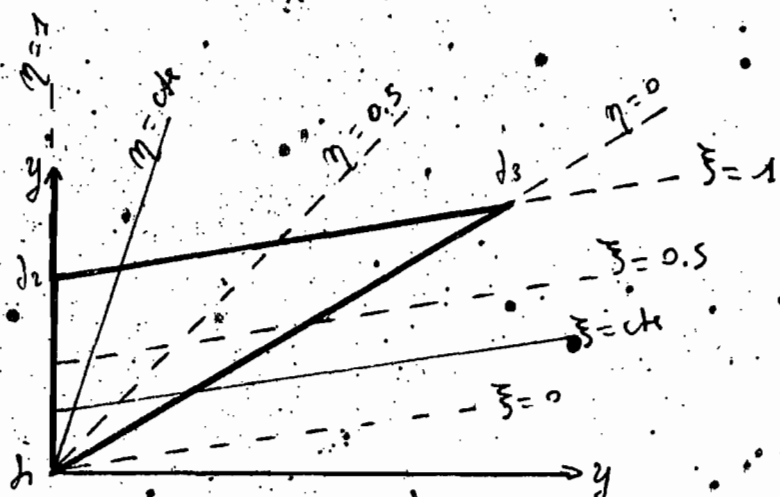


Fig A.1 coordonnées triangulaires

en posant

$$I(m,n) = \int_0^1 (1-\eta)^m [(1-\eta)y_3 + \eta y_2]^n d\eta \quad (\text{eq. d})$$

on a

$$J(m^n, y^n) = \frac{\alpha_3^{m+1} y_2}{m+n+2} : I(m,n)$$

$$(a+b)^m = \sum_{k=0}^n C_n^k a^k b^{n-k} \implies$$

$$[(1-\eta)y_3 + \eta y_2]^n = \sum_{k=0}^n ((1-\eta)y_3 + \eta y_2)^k \cdot C_n^k$$

$$\implies J(m,n) = \sum_{k=0}^n C_n^k y_3^k y_2^{n-k} \int_0^1 (1-\eta)^{m+k} \eta^{n-k} d\eta$$

$$\text{on pose } J(k,n) = \int_0^1 (1-\eta)^{m+k} \eta^{n-k} d\eta \quad (\text{eq. f})$$

alors ; après des intégrations par parties, on a :

$$J(k,n) = \frac{m+k}{m+k+1} \int_0^1 (1-\eta)^{m+k+1} \eta^{n-(k+1)} d\eta = \frac{n-k}{m+k+1} J(k+1,n)$$

$$\implies J(k+1,n) = \frac{m+k+1}{n-k} J(k,n) \quad (\text{eq. g})$$

en substituant l'équation (g), on a :

$$J(0,0) = \frac{1}{m+1}, \quad J(0,1) = \frac{1}{m+2} \cdot \frac{1}{m+3}$$

$$J(0,2) = \frac{2 \times 1}{(m+1)(m+2)(m+3)}, \quad J(0,3) = \frac{3 \times 2 \times 1}{(m+1)(m+2)(m+3)(m+4)}$$

on devine une récurrence :

$$J(0,0) = \frac{1}{m+1}, \quad J(0,1) = \frac{1}{m+2}, \quad J(0,2) = \frac{2}{m+3} J(0,1)$$

$$J(0,3) = \frac{3}{m+4} J(0,2)$$

$$J(0,k) = \frac{k}{m+1+k} J(0, k-1)$$

en retournant on a, part, un m donné :

$$J(0, m) = \frac{m}{m+1} J(0, m-1)$$

et  $J(0, 0) = \frac{1}{m+1}$   
la connexité de  $J(0, n)$ , donne la  $J(k, n)$  par l'équation (1).

$$J(k+1, n) = \frac{m+k+1}{m+k} J(k, n)$$

on calcule tous les  $J(k, n)$ , avec k variant de 0 à m;  
alors on obtient

$$J(m, n) = \sum_{k=0}^m C_n^k y_3^k y_2^{n-k} J(k, n)$$

$$\text{et enfin } J(x^m, y^n) = \frac{x_3^m y_2^n}{m+n+2} J(m, n)$$

on a donc

$$J(x^0, y^0) = \int x^0 dy = x_3 y_2$$

$$J(x^1, y^1) = \int x^1 dy = x_3 y_2 (y_2 + y_3)/6$$

$$J(x^2, y^2) = \int x^2 dy = x_3 y_2 (y_2^2 + y_3 y_2 + y_3^2)/12$$

$$J(x^3, y^3) = \int x^3 dy = x_3 y_2 (y_2^3 + y_3 y_2^2 + y_3^2 y_2 + y_3^3)/120$$

$$J(x^4, y^4) = x_3^2 y_2 / 6$$

$$J(x^5, y^5) = \int x^5 dy = x_3^2 y_2 (y_2 + 2y_3)/24$$

$$J(x^6, y^6) = \int x^6 dy = x_3^2 y_2 (y_2^2 + 2y_3 y_2 + 3y_3^2)/120$$

etc

#### 4-2-2 Intégrales concaves

on prend l'origine au point c (fig. A-2)

soit  $\xi_1$  l'abscise du noeud 1

soit  $\xi_2$  l'abscise du point 2

l'abscise de C est  $\xi_c = 0$

on a  $\xi_1 + \xi_2 = 0$  si C est le milieu du segment [1-2]

soit L la longueur du segment; alors  $\xi_2 - \xi_1 = L$

on a alors:

$$\int_L d\xi = L \quad \int_L \xi d\xi = 0 \quad \int_L \xi^2 d\xi = (\xi_1^2 + \xi_2^2) \frac{L}{6} = \frac{L^3}{12}$$

$$\int_L \xi^3 d\xi = 0 \quad \int_L \xi^4 d\xi = (\xi_1^4 + \xi_2^4) \frac{L}{10} = \frac{L^5}{80}$$

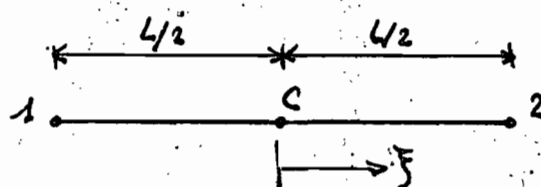


Fig. A-2 : Repère algébrique

### A.3 COSINUS DIRECTEURS ET COORDONNEES LOCALES

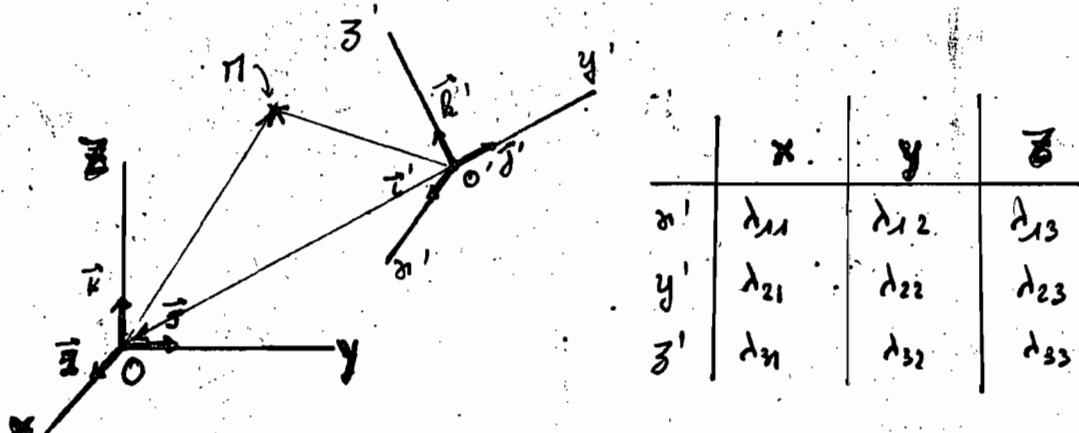


Fig A-3: Repères cartésiens  $xyz$  et  $x'y'z'$ ; table des cosinus directeurs

soit  $x'y'z'$  un système d'axes dit local  
 soit  $xyz$  un autre système d'axes dit global  
 soit  $[\lambda]$  la matrice des cotinus directeurs des axes locaux  
 par rapport aux axes globaux

$$[\lambda] = \begin{bmatrix} \lambda_{x|x} & \lambda_{y|x} & \lambda_{z|x} \\ \lambda_{x|y} & \lambda_{y|y} & \lambda_{z|y} \\ \lambda_{x|z} & \lambda_{y|z} & \lambda_{z|z} \end{bmatrix} = \begin{bmatrix} \lambda_{11} & \lambda_{12} & \lambda_{13} \\ \lambda_{21} & \lambda_{22} & \lambda_{23} \\ \lambda_{31} & \lambda_{32} & \lambda_{33} \end{bmatrix}$$

$\lambda_{x|x} = \lambda_{11}$  est le cotinus directeur de l'axe  $x$  par rapport à l'axe  $x$  ;

prenons la figure 3 puis la figure 13, le système d'axe local est tel que le côté  $j_1-j_2$  du triangle élémentaire soit parallèle à l'axe  $y'$

Soit  $(x_i, y_i, z_i)$  les coordonnées dans le système global d'un point  $j_i$ , le côté  $j_1-j_2$  est donc défini par le vecteur  $v_{12}$  en fonction des coordonnées globales des points  $j_1$  et  $j_2$  par :

$$v_{12} = \begin{bmatrix} x_2 - x_1 \\ y_2 - y_1 \\ z_2 - z_1 \end{bmatrix} = \begin{bmatrix} x_{21} \\ y_{21} \\ z_{21} \end{bmatrix}$$

sa norme ou longueur est  $\ell_{12} = \sqrt{x_{21}^2 + y_{21}^2 + z_{21}^2}$

les cotinus directeurs de l'axe  $z'$  sont donnés par les coordonnées du vecteur unitaire  $v_{2y'}$  :

$$v_{2y'} = \begin{bmatrix} \lambda_{y'|x} \\ \lambda_{y'|y} \\ \lambda_{y'|z} \end{bmatrix} = \begin{bmatrix} \lambda_{21} \\ \lambda_{22} \\ \lambda_{23} \end{bmatrix} = \frac{1}{\ell_{12}} \cdot v_{12}$$

l'axe  $z'$  est normal au plan de l'élément triangulaire

soit  $V_{13}$  un vecteur parallèle au côté  $j_1-j_3$

alors  $V_3' = V_{13} \times V_{12}$  est un vecteur normal au plan de l'élément

$$\text{et } V_{13} = \begin{bmatrix} x_{31} \\ y_{31} \\ z_{31} \end{bmatrix} = \begin{bmatrix} x_3 - x_1 \\ y_3 - y_1 \\ z_3 - z_1 \end{bmatrix}, \text{ alors}$$

$$V_3' = \begin{bmatrix} x_{31} \\ y_{31} \\ z_{31} \end{bmatrix} \times \begin{bmatrix} x_{21} \\ y_{21} \\ z_{21} \end{bmatrix} = \begin{bmatrix} y_{31}z_{21} - y_{21}z_{31} \\ z_{31}x_{21} - z_{21}x_{31} \\ x_{31}y_{21} - x_{21}y_{31} \end{bmatrix} = \begin{bmatrix} x_3' \\ y_3' \\ z_3' \end{bmatrix}$$

sa norme est :  $\|V_3'\| = \sqrt{x_3'^2 + y_3'^2 + z_3'^2}$ ; les cosinus directeurs de l'axe  $z'$  sont les coordonnées du vecteur unitaire dirigé suivant  $z'$ :

$$v_3 = \begin{bmatrix} \lambda_{3x} \\ \lambda_{3y} \\ \lambda_{3z} \end{bmatrix} = \begin{bmatrix} \lambda_{31} \\ \lambda_{32} \\ \lambda_{33} \end{bmatrix} = \frac{1}{\|V_3'\|} \begin{bmatrix} x_3' \\ y_3' \\ z_3' \end{bmatrix}$$

enfin, les cosinus directeurs de l'axe  $x'$  s'obtiennent directement comme coordonnées du vecteur à la fois perpendiculaire aux vecteurs normés  $v_y'$  et  $v_3'$ ; donc :

$$v_{21} = v_y' \times v_3' = \begin{bmatrix} \lambda_{21}x \\ \lambda_{21}y \\ \lambda_{21}z \end{bmatrix} = \begin{bmatrix} \lambda_{11} \\ \lambda_{12} \\ \lambda_{13} \end{bmatrix} = \begin{bmatrix} \lambda_{21} \\ \lambda_{22} \\ \lambda_{23} \end{bmatrix} \times \begin{bmatrix} \lambda_{21} \\ \lambda_{22} \\ \lambda_{23} \end{bmatrix}$$

$$\Rightarrow v_{21}' = \begin{bmatrix} \lambda_{22}\lambda_{33} - \lambda_{32}\lambda_{23} \\ \lambda_{23}\lambda_{31} - \lambda_{33}\lambda_{21} \\ \lambda_{21}\lambda_{32} - \lambda_{31}\lambda_{22} \end{bmatrix}$$

soit le point  $M$  de coordonnées  $(x, y, z)$  et  $(x', y', z')$  dans les repères cartésiens  $(O, I, J, K)$  et  $(O', I', J', K')$  respectivement

soit  $O'$  de coordonnées  $(x_0', y_0', z_0')$  dans  $(\bar{I}, \bar{J}, \bar{K})$

d'après la figure 3 et la figure A-3, on a

$$\overrightarrow{O'N} = \overrightarrow{O'0} + \overrightarrow{ON}$$

$$\overrightarrow{ON} = x\bar{I} + y\bar{J} + z\bar{K}$$

$$\overrightarrow{O'0} = x_0'\bar{I} + y_0'\bar{J} + z_0'\bar{K}$$

alors

$$x\bar{I} + y\bar{J} + z\bar{K} = (x - x_0')\bar{I} + (y - y_0')\bar{J} + (z - z_0')\bar{K}$$

par ailleurs

$$\begin{pmatrix} \bar{I} \\ \bar{J} \\ \bar{K} \end{pmatrix} = \begin{bmatrix} d_{11} & d_{21} & d_{31} \\ d_{12} & d_{22} & d_{32} \\ d_{13} & d_{23} & d_{33} \end{bmatrix} \begin{pmatrix} I \\ J \\ K \end{pmatrix}$$

en remplaçant  $\bar{I}$ ,  $\bar{J}$  et  $\bar{K}$  par leurs expressions en fonction de  $I$ ,  $J$  et  $K$ , puis après tous les calculs, on obtient

$$\begin{pmatrix} x' \\ y' \\ z' \end{pmatrix} = \begin{bmatrix} d_{11} & d_{21} & d_{31} \\ d_{12} & d_{22} & d_{32} \\ d_{13} & d_{23} & d_{33} \end{bmatrix} \begin{pmatrix} x - x_0' \\ y - y_0' \\ z - z_0' \end{pmatrix}$$

\*\*\*\*\*  
 \* ECOLE POLYTECHNIQUE DE THIES  
 \* DEPARTEMENT DU GENIE CIVIL  
 \*  
 \* PROJET DE FIN D ETUDES  
 \*  
 \* CALCUL DE COQUES PAR ELEMENTS FINIS  
 \* (analyse elastique)  
 \*

\* auteur : Yves habib francis KONATE  
 \* directeur : Mouhamadou Moustapha NDIAYE  
 \*

\*\*\*\*\*  
 \* Pour executer ,creer un fichier de donnees d abord  
 \* Si le fichier des resultats existe deja ,e assurer  
 \* qu il est vide  
 \*

```
implicit real*8(a-h,o-z)
character*6 stdon,strat
dimension rcf(9,9),ccf(9,9),int(5,5),ccp(6,6),rcp(6,6),
1 al(3,3),ires(50,7),tx(50),ty(50),tg(50),ji(3,50),ih(300),
2 it(50),tg(18,18),grk(6000),max(6000),ebcp(3,6),ebcf(3,9)
dimension psz(3,50),vc(6000),fg(18),x(3,50),y(3,50),
1 amat(18,18),bx(2,3,50),by(2,3,50),f1(18),py(3),
2 iad(18),z(3,50);react(6),s(6)
```

```
c
500 print 500
format(1x,'fichier de donnees ??',$)
read1,stdon
```

```
1 format(a6)
print 505
505 format(1x,'fichier de resultat ??',$)
read1,strat
open(unit=5,file=stdon)
open(unit=6,file=strat)
rewind(5)
rewind(6)
```

c  
 c DONNEES GENERALES

```
c
print 100
read*,nel,nod,ndl,em,pc,nnr,gama,alfa,ncc
print 105,nel,nod,ndl,em,pc,nnr,gama,alfa
```

```
nk=3*ndl
nn=ndl*nod
nn=nn+1
```

```
c
do 2 i=1,nnr
do 2 j=1,7
ires(i,j)=0
c
coordonnees des noeuds
print 110
do 3 i=1,nod
```

```

      read*,k,tx(k),ty(k),tz(k)
3     print 115,k,tx(k),ty(k),tz(k)
c
a     restreintes aux noeuds
      print 120
      do 14 i=1,nnr
      read *,k,(ires(i,j),j=1,ndl)
      ires(i,7)=k
14    print 125,k,(ires(i,j),j=1,ndl)
c
c     connectivite des elements
      print 130
      do 4 i=1,nel
      read*,k,t(k),(ji(j,k),j=1,3)
4     print 135,k,(ji(j,k),j=1,3),t(k)
c
c     calcul de l'adresse des diagonales
e
      do 5 i=1,nn
5     ih(i)=0
c
      do 6 k=1,nel
      call adres(ji,ndl,nk,iad,nel,k)
      mi=iad(1)
c
      do 7 i=1,nk
      if (iad(i).lt.mi) mi=iad(i)
7     do 8 j=1,nk
      ii=iad(i)
      iht=ii+mi
      ihii=ih(ii)
      if (iht.gt.ii+mi) ih(ii)=iht
8     continue
6     continue
      maxa(1)=1
      maxa(2)=2
      do 9 i=2,nn
      maxa(i+1)=maxa(i)+ih(i)+1
9     nwk=maxa(nn+1)-1
      print 205,nw
      print 200,nwk
c
c     DONNEES DES ELEMENTS : RIGIDITE, ASSEMBLAGE
c
      do 10 i=1,nwk
      grk(i)=0.d0
      do 11 k=1,nel
      h=t(k)
      call coordloc(x,y,z,al,k,tx,ty,tz,ji,nod,nel)
      zk3=x(3,k)
      yk3=y(3,k)
      yk2=y(2,k)
c
c     calcul des integrales
      call sinteg(aint,zk3,yk3,yk2)
c

```

```

c      rigidite des elements et assemblage
c      call coplag(rcp,6,em,pc,h,zk3,yk3,yk2)
c      call cofleg(rcf,9,em,pc,h,aint,zk3,yk3,yk2)
c      call transfo(tg,a1)
c      call rigel(amat,18,6,9,rcp,rcf,tg,alfa,em,h,zk3,yk2)
c      call adres(ji,ndl,nk,iad,nel,k)
c      call assemb(iad,nk,amat,grk,nwk,maxa,nz,nn)
c
11    continue
c
c      introduction des restreintes
do 21 i=1,nnr
k=ires(i,7)
do 21 j=1,ndl
if(ires(i,j).eq.1) then
kk=maxa(ndl*(k-1)+j)
grk(kk)=grk(kk)+1.d60
endif
21  continue
c
call tripld(grk,maxa,nn,nwk,nx)

c. DONNEES DES CHARGES
c
do 12 neck=1,ncc
print 165,neck
do 13 i=1,nel
do 13 ic=1,3
psz(ic,i)=0.d0
do 13 ii=1,2
bx(ii,ic,i)=0.d0
13   by(ii,ic,i)=0.d0
do 20 i=1,mn
vc(i)=0.d0
do 50 i=1,18
fl(i)=0.d0
50   fg(i)=0.d0
c
read*,nnch
if(nnch.eq.0)goto 23
print 140
print 145,nnch
print 160
do 15 i=1,nnch
read*,k,(vc((k-1)*ndl+j),j=1,ndl)
15   print 175,k,(vc((k-1)*ndl+j),j=1,ndl)
c
23  read*,nelcrs
if (nelcrs.eq.0)goto 24
print 170
print 180,nelcrs
print 185
do 16 i=1,nelcrs
read*,k,(psz(j,k),j=1,3)
16   print 190,k,(psz(j,k),j=1,3)
c

```

```

24      read*,nelcrc
      if(nelcrc.eq.0)goto 25
      print 195
      print 180,nelcrc
      print 210
      do 19 i=1,nelcrc
      read*,k,nccek
      do 19 j=1,nccek
      read*,ic,(bx(ii,ic,k),ii=1,2)
      read*,(by(ii,ic,k),ii=1,2)
19      print 235,k,ic,(bx(ii,ic,k),ii=1,2),(by(ii,ic,k),ii=1,2)

c
c      calcul des charges equivalentes aux noeuds
c
25      do 26 k=1,nel
      call coordloc(x,y,z,al,k,tx,ty,tz,ji,nod,nel)
      h=t(k)
      x3=x(3,k)
      y3=y(3,k)
      y2=y(2,k)
      call xintegr(aint,x3,y3,y2)
      call trandem(ccp,x3,y3,y2,6)
      call trandef(ccf,x3,y3,y2,9)
      call transfo(tg,al)
      do 55 i=1,3
55      pv(i)=gama*al(i,3)
c
      call cheqpla(f1,pv,aint,h,bx,by,z,y,nel,k,ccp)
      call cheflex(f1,pv,aint,h,psz,z,y,nel,k,ccf)
c
      do 35 i=1,18
      fg(i)=0.d0
      do 35 j=1,18
35      fg(i)=tg(j,i)*f1(j)+fg(i)
      call adres(ji,ndl,nk,iad,nel,k)
      do 17 j=1,18
17      vc(iad(j))=vc(iad(j))+fg(j)
c
26      continue
c
c      calcul des deplacements par resolution des equations
c
      call resolv(grk,vc,maxa,nn,nwk,ns)
      print 150
      do 22 i=1,nod
      print 155,i,(vc(ndl*(i-1)+j),j=1,ndl)
22      continue
c
c      calcul des contraintes
c
      print 230
      do 30 k=1,nel
      call coordloc(x,y,z,al,k,tx,ty,tz,ji,nod,nel)
      h=t(k)
      x3=x(3,k)
      y2=y(2,k)

```

```

y3=y(3,k)
call trandem(ccp,x3,y3,y2,6)
call trandef(ccf,x3,y3,y2,9)
call transfo(tg,a1)
call adres(ji,ndl,nk,iad,nel,k)
do 40 i=1,18.
f1(i)=0.d0
do 40 j=1,18
f1(i)=f1(i)+tg(i,j)*vc(iad(j))
call sigmap(ebcn,em,pc,ccp)
do 45 i=1,3
s(i)=0.d0
do 45 j=1,6
s(i)=s(i)+ebcn(i,j)*f1(j)*h
do 60 i=1,3
xi=x(i,k)
yi=y(i,k)
call sigmaf(ebcf,em,pc,h,xi,yi,ccf)
do 65 ii=1,3
s(ii+3)=0.d0
do 70 j=1,9
s(ii+3)=s(ii+3)+ebcf(ii,j)*f1(j+6)
70 continue
print 235,k,i,(s(j),j=1,6)
60 continue
30 continue
c
c      calcul des reactions
c
print 240
do 85 i=1,nnr
k=iress(i,7)
do 90 j=1,ndl
react(j)=0.d0
if(iress(i,j).eq.1) then
react(j)=-vc((k-1)*ndl+j)*1.d60
endif
90 continue
print 175,k,(react(j),j=1,ndl)
85 continue
12 continue
100 format(' ',t10,'Donnees generales'// 't8,21(*)')
105 format(' ',t10,'nombre d elements _____',t40,i5)
1   ' ',t10,'nombre de noeuds _____',t40,i5/
2   ' ',t10,'nombre de degres de libertes _____',t40,i5/
3   ' ',t10,'module d elasticite _____',t40,f12.1/
4   ' ',t10,'coefficient de Poisson _____',t40,f12.4/
5   ' ',t10,'nombre de noeuds restreints _____',t40,i5/
6   ' ',t10,'poids volumique _____',t40,f12.4/
7   ' ',t10,'Alfa _____',t40,f12.6/
110 format(///',t8,22('*'),/ ',t10,'Donnees des noeuds'// ',t8
1 ,22('*')// ',t8,'noeud',t17,'coordx',t27,'coordy',t38,'coordz')
115 format(' ',5x,i5,3(x,f10.3))
120 format(///',t8,25('*')/t10,'restreintes aux noeuds'// ',
1 t8,25('*')/t10,'noeud',2x,' dx',3x,' dy',4x,' dz ',1x,
2 'rota.x',1x,'rota.y',1x,'rota.z')

```

```

125   format(' ',t7,7(1x,i6))
130   format('/// ',t8,29('*')/t10,'connectivite des elements'//',
1 t8,29('*')//',t8,'elmt',t18,'noeud 1',t28,'noeud 2',t38,
2 'noeud 3',t48,'epaisseur')
135   format(' ',t8,i5,3(5x,i5),t48,f9.4)
140   format(' ',t20,22('*'),' ',t22,'charges aux noeuds',//',
1 t20,22('*'))
145   format(' ',t8,'nombre de noeuds charges = ',i5)
150   format(' ',t20,16('*')//',t22,'Deplacements'//',t20,16('*')/
1 // ',t8,'noeud',t18,'dx',t28,'dy',t38,'dz',t46,'rota.x',t56,
2 'rota.y',t66,'rota.z')
155   format(' ',t8,i3,t12,6(f10.4))
160   format(' ',t8,'noeud',t18,'fx',t29,'fy',t40,'fz',t51,'Mx',t62,
1 'My',t73,'Mz')
165   format('//// ',t8,26('*')/t10,'CAS DE CHARGEMENT NO',t31,
1 t31,i2/t9,25('*'))
170   format(' ',t20,24('*'),' ',t22,'charges de surface '//',
1 t20,24('*'))
175   format(' ',5x,i5,6(1x,f10.3))
180   format(' ',t8,'nombre d elements charges',i5)
185   format(' ',t8,'element',t28,'psz1',t48,'psz2',t68,'psz3')
190   format(' ',5x,i7,8(10x,d10.3))
195   format(' ',t20,22('*'),' ',t22,'charges laterales '
1 // ',t20,22('*'))
200   format(' ',t8,'espace requis = ',i4)
205   format(' ',t8,'nombre d equations = ',i4)
210   format(' ',t7,'elem.',t13,' cote',t20,' bx1',t32,' bx2',
1 t44,' by1',t56,' by2')
215   format(' ',5x,i7,10x,4(10x,d10.3))
220   format(' ',t20,25('*')/t22,'elements de reduction '
1 // ',t20,25('*')//',t7,'elem.',t13,'noeuds',t20,' Nx',t32,
2 ' Ny',t44,' Nxy',t58,' Mx',t71,' My',t83,'Mxy')
225   format(' ',6x,i4,1x,i6,6(f11.4))
230   format(' ',t8,24('*')//',t10,'reactions aux appuis'//',
1 t8,24('*')//',t8,'noeud',t20,'rx',t30,'ry',t40,'rz',t48,
2 ' Mx',t57,' My',t69,' Mz')
c
    close(unit=5)
    close(unit=6)
    stop
    end

```

```

      subroutine coordloc(x,y,z,al,k,tx,ty,tz,ji,nod,nel)
c
c
c      **** la sous-routine calcule :
c      *   les cosinus directeurs des axes locaux : al
c      *   les coordonnees du systeme local : x,y,z
c      * de l element k , connaissant :
c      *   les coordonnees dans le systeme global : tx,
c      *   ty, tz
c      * ji: vecteur connectivite
c      * nod :nombre de noeuds
c      * nel :nombre d elements
c
c      ****
implicit real*8(a-h,o-z)
dimension xj(3),yj(3),zj(3),tx(nod),ty(nod),tz(nod)
ji(3,nel),x(3,nel),y(3,nel),z(3,nel),al(3,3)
do 12 i=1,3
  xj(i)=tx(ji(i,k))
  yj(i)=ty(ji(i,k))
12  zj(i)=tz(ji(i,k))
  x21=xj(2)-xj(1)
  y21=yj(2)-yj(1)
  z21=zj(2)-zj(1)
  d12=(x21**2.d0+y21**2.d0+z21**2.d0)**.5d0
  al(2,1)=x21/d12
  al(2,2)=y21/d12
  al(2,3)=z21/d12
  x31=xj(3)-xj(1)
  y31=yj(3)-yj(1)
  z31=zj(3)-zj(1)
  xVz=y31*z21-y21*z31
  yVz=z31*x21-z21*x31
  zVz=x31*y21-x21*y31
  dVz=(xVz**2.d0+yVz**2.d0+zVz**2.d0)**.5d0
  al(3,1)=xVz/dVz
  al(3,2)=yVz/dVz
  al(3,3)=zVz/dVz
  al(1,1)=al(2,2)*al(3,3)-al(3,2)*al(2,3)
  al(1,2)=al(2,3)*al(3,1)-al(3,3)*al(2,1)
  al(1,3)=al(2,1)*al(3,2)-al(3,1)*al(2,2)
c
c      coordonnees locales
c
  x(1,k)=0.d0
  y(1,k)=0.d0
  x(2,k)=x21*al(1,1)+y21*al(1,2)+z21*al(1,3)
  x(3,k)=x31*al(1,1)+y31*al(1,2)+z31*al(1,3)
  y(2,k)=x21*al(2,1)+y21*al(2,2)+z21*al(2,3)
  y(3,k)=x31*al(2,1)+y31*al(2,2)+z31*al(2,3)
  z(2,k)=x21*al(3,1)+y21*al(3,2)+z21*al(3,3)
  z(3,k)=x31*al(3,1)+y31*al(3,2)+z31*al(3,3)
c
c      return
end

```

```

subroutine cofleg(rkalfa,n,em,pc,t,aint,x3,y3,y2)
c
c **** la sous-routine calcule la matrice de rigite *
c * elementaire dans le syst. local pour la plaque*
c * en flexion.
c ****
c
c implicit real*8(a-h,o-z)
dimension rkalfa(9,9),cc(9,9),aint(5,5),temp(9,9)

c calcul de cc et de cinv
call trandef(cc,x3,y3,y2,n)
c
c calcul de rkalfa
const=em*(t**3)/(12.d0*(1.d0-pc**2))
do 20 i=1,n
do 20 j=1,n
20 rkalfa(i,j)=0.d0
rkalfa(4,4)=4.d0*aint(1,1)
rkalfa(4,6)=rkalfa(4,4)*pc
rkalfa(4,7)=12.d0*aint(2,1)
rkalfa(4,8)=4.d0*aint(2,1)*pc
rkalfa(4,9)=12.d0*aint(1,2)*pc
rkalfa(5,5)=2.d0*aint(1,1)*(1.d0-pc)
rkalfa(5,8)=4.d0*aint(1,2)*(1.d0-pc)
rkalfa(6,6)=rkalfa(4,4)
rkalfa(6,7)=rkalfa(4,7)*pc
rkalfa(6,8)=4.d0*aint(2,1)
rkalfa(6,9)=12.d0*aint(1,2)
rkalfa(7,7)=36.d0*aint(3,1)
rkalfa(7,8)=12.d0*aint(3,1)*pc
rkalfa(7,9)=36.d0*aint(2,2)*pc
rkalfa(8,8)=4.d0*aint(3,1)+8.d0*aint(1,3)*(1.d0-pc)
rkalfa(8,9)=12.d0*aint(2,2)
rkalfa(9,9)=36.d0*aint(1,3)
do 30 i=4,n
do 30 j=i,n
rkalfa(i,j)=rkalfa(i,j)*const
rkalfa(j,i)=rkalfa(i,j)
30 continue
c
c calcul de rcf
call produit(rkalfa,cc,temp,n)
c
return
end

```

```

subroutine xintegrf(aint,x3,y3,y2)
*****  

c      * la sous routine calcule les valeurs des integrales *
c      *****  

c
c      implicit real*8(a-h,o-z)
c      dimension aint(5,5)
c      aint(1,1)=y2*x3/2.
c      aint(2,1)=y2*x3**2/6.
c      aint(3,1)=y2*x3**3/12.
c      aint(1,3)=(y2**2+y2*y3+y3**2)*x3*y2/12.
c      aint(4,1)=y2*x3**4/20.
c      aint(5,1)=y2*x3**5/30.
c      aint(1,2)=y2*x3*(y3+y2)/6.
c      aint(2,2)=y2*x3**2*(y2+2*y3)/24.
c      aint(3,2)=(y2+3*y3)*y2*x3**3/60.
c      aint(3,3)=y2*x3**3*(y2**2+3*y2*y3+6*y3**2)/180.
c      aint(2,3)=(y2**2+2*y2*y3+3*y3**2)*y2*x3**2/60.
c      aint(2,4)=x3**2*y2*(y2**3+2*y2**2*y3+3*y2*y3**2+4*y3**3)/120.
c      aint(1,4)=(y2**3+y2**2*y3+y2*y3**2+y3**3)*x3*y2/20.
c      aint(1,5)=(y2**4+y2**3*y3+y2**2*y3**2+y2*y3**3+y3**4)*x3*y2/30.
c      aint(4,2)=x3**4*y2*(y2+4.*y3)/120.
c
c      return
c      end
c
subroutine produit(aa,cc,temp,n)
c
c      *****  

c      * la sous-routine multiplie la t@ans- *
c      * posee de cc par aa ,puis le resultat *
c      * stocke dans temp est multiplie par cc*
c      * le produit final est stocke dans aa *
c      *****  

c
c      implicit real*8(a-h,o-z)
c      dimension aa(n,n),cc(n,n),temp(n,n)
c
c      do 20 i=1,n
c      do 20 j=1,n
c      temp(i,j)=0.d0
c      do 20 k=1,n
c      temp(i,j)=temp(i,j)+cc(k,i)*aa(k,j)
c 20  continue
c      do 30 i=1,n
c      do 30 j=1,n
c      aa(i,j)=0.d0
c      do 30 k=1,n
c      aa(i,j)=aa(i,j)+temp(i,k)*cc(k,j)
c 30  continue
c      return
c      end

```

```

c
      subroutine cheqpla(f1,pv,aint,h,bx,by,z,y,nel,k,cc)
      implicit real*8(a-h,o-z)
      dimension pv(3),f1(18),aint(5,5),bx(2,3,nel),by(2,3,nel)
      ,z(3,nel),y(3,nel),a(2),b(2),temp(6),cc(6,6)
***** ****
c      *  rentree:
c      *      - pv(1),pv(2):composantes du poids en x et y
c      *      - cc :matrice de transformation des deplacements
c      *      - z,y: coordonnees locales
c      *      - bx,by:charges reparties
c      *  sortie:
c      *      - f1(i),i=1 a 6:forces équivalentes planaires
c***** ****
c
      do 35 j=1,6
      f1(i)=0.d0
35    temp(i)=0.d0
c
c      charges équivalentes dues au poids
      do 5 i=1,2
      pv(i)=h*pv(i)
      temp(3*i-2)=pv(i)*aint(1,1)+temp(3*i-2)
      temp(3*i-1)=pv(i)*aint(2,1)+temp(3*i-1)
      temp(3*i)=pv(i)*aint(1,2)+temp(3*i)
5     continue
c
c      charges équivalentes laterales
      do 10 i=1,3
      j1=i+1
      if (j1.lt.4) go to 15
      j1=1
      go to 20
15    if (j1.lt.3) go to 20
      j1=1
      j2=3
      go to 25
20    j2=j1+1
25    xc=(z(j1,k)+z(j2,k))/2.
      yc=(y(j1,k)+y(j2,k))/2.
      xl=z(j2,k)-z(j1,k)
      p=(y(j2,k)-y(j1,k))/xl
      a(1)=(bx(1,i,k)+bx(2,i,k))/2.d0
      a(2)=(by(1,i,k)+by(2,i,k))/2.d0
      b(1)=(bx(2,i,k)-bx(1,i,k))/xl
      b(2)=(by(2,i,k)-by(1,i,k))/xl
      do 30 ii=1,2
      temp(3*ii-2)=temp(3*ii-2)+a(ii)*xl
      temp(3*ii-1)=temp(3*ii-1)+a(ii)*xc*xl+b(ii)*xl**3/12.
      temp(3*ii)=temp(3*ii)+a(ii)*yc*xl+p*b(ii)*xl**3/12.
30    continue
10    continue
      do 40 i=1,6
      do 40 j=1,6
40    f1(i)=f1(i)+cc(j,i)*temp(j)
      return
      end

```

```

subroutine trandem(cc,x3,y3,y2,n)
c
implicit real*8(a-h,o-z)
dimension cc(6,6),l(6),m(6)
***** Calcul de la matrice de trans-
c      formation des deplacements en cas de
c      forces dans le plan.
c      ****
c
do 10 i=1,n
do 10 j=1,n
cc(i,j)=0.d0
10 continue
cc(1,1)=1.d0
cc(2,4)=1.d0
cc(3,1)=1.d0
cc(3,3)=y2
cc(4,4)=1.d0
cc(4,6)=y2
cc(5,1)=1.d0
cc(5,2)=x3
cc(5,3)=y3
cc(6,4)=1.d0
cc(6,5)=x3
cc(6,6)=y3
nfn=n*n
call dminv(cc,6,nfn,l,m)
c
return
end

```

```

subroutine transfo(tg,a1)
c
c      calcul de la matrice de transformation
c      geometrique
c
implicit real*8(a-h,o-z)
dimension tg(18,18),a1(3,3)
do 5 i=1,18
do 5 j=1,18
5 tg(i,j)=0.d0
do 10 j=1,3
do 10 k=0,2
do 20 i=1,2
tg(i+2*k,j+6*k)=a1(i,j)
20 tg(i+3*k+7,j+6*k+3)=a1(i,j)
i=k+1
tg(3*i+4,6*i+j-6)=a1(3,j)
10 tg(i+15,6*i+j-3)=a1(3,j)
return
end

```

```

subroutine trandef(cc,x3,y3,y2,n)
c
c      implicit real*8(a-h,o-z)
dimension cc(9,9),l(9),m(9)
***** Calcul de la matrice de transforme *
* mation des deplacements en cas flexion *
***** ***** ***** ***** ***** ***** *****

do 10 i=1,n
do 10 j=1,n
cc(i,j)=0.d0
10 continue
cc(1,1)=1.d0
cc(2,3)=1.d0
cc(3,2)=-1.d0
cc(4,1)=1.d0
cc(4,3)=y2
cc(4,6)=y2**2
cc(4,9)=y2**3
cc(5,3)=1.d0
cc(5,6)=2.d0*y2
cc(5,9)=3.d0*y2**2
cc(6,2)=-1.d0
cc(6,5)=-y2
cc(6,8)=-1*(y2**2)
cc(7,1)=1.d0
cc(7,2)=x3
cc(7,3)=y3
cc(7,4)=x3**2
cc(7,5)=x3*y3
cc(7,6)=y3**2
cc(7,7)=x3**3
cc(7,8)=x3*y3**2
cc(7,9)=y3**3
cc(8,3)=1.d0
cc(8,5)=x3
cc(8,6)=2.d0*y3
cc(8,8)=2.d0*x3*y3
cc(8,9)=3.d0*y3**2
cc(9,2)=-1.d0
cc(9,4)=-2.d0*x3
cc(9,5)=-y3
cc(9,7)=-3.d0*(x3**2)
cc(9,8)=-1*(y3**2)
nfn=n*n
call dminv(cc,9,nfn,l,m)

c
return
end

```

```

55 continue
c
c      matrix reduction
c
do 65 i=1,n
  ik=nk+i
  hold=a(ik)
  ij=i-n
  do 65 j=1,n
    ij=ij+n
    if(i-k) 60,65,60
60  if(j-k) 62,65,62
62  kj=ij-i+k
    a(ij)=hold*a(kj)+a(ij)
65 continue
c
c      divide row by pivot
c
kj=k-n
do 75 j=1,n
  kj=kj+n
  if(j-k) 70,75,70
70  a(kj)=a(kj)/biga
75 continue
c
c      product of pivots
c
d=d*biga
c
c      replace pivot by reciprocal
c
a(kk)=1.d0/biga
80 continue
c
c      final row and column interchange
c
k=n
100 k=k-1
  if(k) 150,150,105
105 i=l(k)
  if(i-k) 120,120,108
108 jq=n*(k-1)
  jr=n*(i-1)
  do 110 j=1,n
    jk=jq+j
    hold=a(jk)
    ji=jr+j
    a(jk)=-a(ji)
110 a(ji)=hold
120 j=m(k)
  if(j-k) 100,100,125
125 ki=k-n
  do 130 i=1,n
    ki=ki+n
    hold=a(ki)
    ji=ki-k+j

```

```

a(ki)=-a(ji)
130 a(ji)=hold
go to 100
150                               return
end

```

```

subroutine rigel(stif,n,np,nf,rkp,rcf,tg,alfa,em,t,x3,y2)
c
*****  

* calcul de la matrice de rigidite elementaire dans le *
* local ,puis global.on tient compte des effets membrane*
* et de flexion.                                     *
* rkp: rigidite plane                                *
* rcf: -/-   en flexion                               *
* tg : transformation geometrique                   *
*****  

c
implicit real*8(a-h,o-z)
dimension tg(n,n),temp(18,18), stif(n,n),rkp(np,np),rcf(nf,nf)
do 10 i=1,n
do 10 j=1,n
10 stif(i,j)=0.d0
do 20 i=1,np
do 20 j=i,np
stif(i,j)=rkp(i,j)
20 stif(j,i)=stif(i,j)
do 30 i=1,nf
do 30 j=i,nf
stif(i+np,j+np)=rcf(i,j)
30 stif(j+np,i+np)=stif(i+np,j+np)
const=alfa*em*t*y2*x3/2.d0
do 40 i=16,18
do 40 j=i,18
stif(i,j)=const
if(i.ne.j) stif(i,j)=stif(i,j)*-0.5d0
40 stif(j,i)=stif(i,j)
call produit(stif,tg,temp,18)
c
return
end

```

```

subroutine dminv(a,n,nfn,l,m)
implicit real*8(a-h,o-z)
dimension a(nfn),l(n),m(n)

c
d=1.d0
nk=-n
do 80 k=1,n
  nk=nk+n
  l(k)=k
  m(k)=k
  kk=nk+k
  biga=a(kk)
  do 20 j=k,n
    iz=n*(j-1)
    do 20 i=k,n
      ij=iz+i
    10 if(dabs(biga)-dabs(a(ij)))> 15,20,20
    15 biga=a(ij)
      l(k)=i
      m(k)=j
    20 continue

c
c   interchange rows
c
j=l(k)
if(j-k) 35,35,25
25 ki=k-n
do 30 i=1,n
  ki=ki+n
  hold=-a(ki)
  ji=ki-k+j
  a(ki)=a(ji)
  30 a(ji)=hold

c
c   interchange columns
c
35 i=m(k)
if(i-k) 45,45,38
38 jp=n*(i-1)
do 40 j=1,n
  jk=nk+j
  ji=jp+j
  hold=-a(jk)
  a(jk)=a(ji)
  40 a(ji)=hold

c
c   divide columns by pivot(the pivot element value is
c   contained in biga
c
45 if(biga) 48,46,48
46 d=0.d0
48 do 55 i=1,n
  if(i-k) 50,55,50
50 ik=nk+i
  a(ik)=a(ik)/(-biga)

```

return

wk,nnm)

eur compacte  
tionales de la matrice de raideur

la matrice de raideur  
us 1 (nn + 1)

1  
0 , 50

= ku

```
do 80 j = 1 , kh
  ic = ic + 1
  klt = klt - 1
  ki = maxa(k)
  nd = maxa(k+1) - ki - 1
  if(nd) 80 , 80 , 60
60  kk = min (ic,nd)
  c = 0.d0
  do 70 l = 1 , kk
    c = c + a(ki + l) * a(klt + l)
    a(klt) = a(klt) - c
  70
  k = k + 1
  80
  k = n
  b = 0.d0
  do 100 kk = kl , ku
    k = k - 1
    ki = maxa(k)
    c = a(kk) / a(ki)
    b = b + c * a(kk)
100  a(kk) = c
    a(kn) = a(kn) - b
110  if(a(kn)) 120 , 120 , 140
120  print 1000 , n
1000 format('OMATRICE SINGULIERE A LA RANGEE ',i5)
     print *,nd,a(kn)
     stop
140  continue
     return
end
```

6 Jun 16:24 1986 sigmap.f Page 1

```
subroutine sigmap(ebc,em,pc,cc)
implicit real*8(a-h,o-z)
dimension ebc(3,6),temp(3,6),cc(6,6)
*****  
* Calcul de la matrice liant les con- *
* traientes planes aux deplacements plans*
*****  
  
c
do 5 i=1,6
do 5 j=1,6
5 temp(i,j)=0.d0
temp(1,2)=em/(1.d0-pc**2)
temp(1,6)=pc*temp(1,2)
temp(2,2)=temp(1,6)
temp(2,6)=temp(1,2)
temp(3,3)=temp(1,2)*.5d0*(1.d0-pc)
temp(3,5)=temp(3,3)  
  
c
do 10 i=1,3
do 10 j=1,6
ebc(i,j)=0.d0
do 10 k=1,6
ebc(i,j)=ebc(i,j)+temp(i,k)*cc(k,j)
10 continue
return
end
```

6 Jun 16:31 1986 assemb.f Page 1

```
c
subroutine assemb(iad,nk,ptk,grk,nwk,maxa,nz,nn)
c
implicit real*8(a-h,o-z)
dimension iad(nk),ptk(nk,nk),grk(nwk),maxa(nn)
*****  
* Assemblage vectoriel des rigidites *
*****  
  
c
do 3 i=1,nk
ii=iad(i)
do 2 j=1,nk
jj=iad(j)
if(jj.lt.ii) go to 2
k=maxa(jj)+jj-ii
grk(k)=grk(k)+ptk(i,j)
2 continue
3 continue
return
end
```

5 Jun 17:07 1986 coplag.f Page 1

```
subroutine coplag(rkalfa,n,em,pc,t,x3,y3,y2)
c
c **** la sous-routine calcule la matrice de rigideite elementaire en contraintes planaires dans le syst. locale de l element. ****
c
c implicit real*8(a-h,o-z)
dimension rkalfa(n,n),cc(6,6),temp(6,6)
c
c calcul de cc et de cinv
call trandem(cc,x3,y3,y2,n)
c
c calcul de rkalfa
const=0.5d0*em*t*x3*y2/(1.d0-pc**2.)
do 20 i=1,n
do 20 j=1,n
20 rkalfa(i,j)=0.d0
rkalfa(2,2)=const
rkalfa(2,6)=const*pc
rkalfa(3,3)=const*(1.d0-pc)*0.5d0
rkalfa(3,5)=rkalfa(3,3)
rkalfa(5,3)=rkalfa(3,5)
rkalfa(5,5)=rkalfa(3,3)
rkalfa(6,2)=rkalfa(2,6)
rkalfa(6,6)=const
c
c calcul de rep
call produit(rkalfa,cc,temp,n)
c
return
end
```

6 Jun 15:59 1986 adres.f Page 1

```
subroutine adres(ji,ndl,n,iad,nel,k)
c
c calcul des adresses des colonnes
c
dimension ji(3,nel),iad(n)
do 1 i=1,ndl
do 1 j=1,3
1 iad(i+(j-1)*ndl)=ndl*(ji(j,k)-1)+i
return
end
```

```

subroutine cheflex(f1,pv,aint,h,psz,x,y,nel,k,cc)
implicit real*8(a-h,o-z)
dimension temp(9),f1(18),pv(3),aint(5,5),psz(3,nel),cc(9,9)
dimension x(3,nel),y(3,nel)
*****  

c      *      rentree:          *
c      *          _pv(3): composante du poids en z      *
c      *          _psz :pression de surface           *
c      *          _x,y: coordonnees locales            *
c      *          _cc :matrice transformation        *
c      *              des deplacements             *
c      *          _aint :integrales de surface       *
c      *      sortie:          *
c      *          _f1(i): forces equivalentes      *
c*****  

c
a=psz(1,k)
c=(psz(2,k)-a)/y(2,k)
b=(psz(3,k)-a-c*y(3,k))/x(3,k)
c
a=a+h*pv(3)
temp(1)=a*aint(1,1)+b*aint(2,1)+c*aint(1,2)
temp(2)=a*aint(2,1)+b*aint(3,1)+c*aint(2,2)
temp(3)=a*aint(1,2)+b*aint(2,2)+c*aint(1,3)
temp(4)=a*aint(3,1)+b*aint(4,1)+c*aint(3,2)
temp(5)=a*aint(2,2)+b*aint(3,2)+c*aint(2,3)
temp(6)=a*aint(1,3)+b*aint(2,3)+c*aint(1,4)
temp(7)=a*aint(4,1)+b*aint(5,1)+c*aint(4,2)
temp(8)=a*aint(2,3)+b*aint(3,3)+c*aint(2,4)
temp(9)=a*aint(1,4)+b*aint(2,4)+c*aint(1,5)
do 5 i=1,9
  f1(i+6)=0.d0
  do 5 j=1,9
    f1(i+6)=f1(i+6)+cc(j,i)*temp(j)
  continue
  return
end
5

```

```

subroutine resolv(a,v,maxa,nn,nwk,nnm)
c
c      a-matrice decomposee
c      v-vecteur chargement
c
implicit real*8(a-h,o-z)
dimension a(nwk),maxa(nnm),v(nn)
c
do 180 n=1,nn
kl=maxa(n)+1
ku=maxa(n+1)-1
if(ku-kl) 180,160,160
160 k=n
c=0.
do 170 kk=kl,ku
k=k-1
170 c=c+a(kk)*v(k)
v(n)=v(n)-c
180 continue
c
c      substitution a rebours
c
do 200,n=1,nn
k=maxa(n)
v(n)=v(n)/a(k)
n=nn
do 230 l=2,nn
kl=maxa(n)+1
ku=maxa(n+1)-1
if(ku-kl) 230,210,210
210 k=n
do 220 kk=kl,ku
k=k-1
220 v(k)=v(k)-a(kk)*v(n)
230 n=n-1
return
end

```

```

subroutine sigmaf(ebc,em,pc,h,x,y,cc)
implicit real*8(a-h,o-z)
dimension ebc(3,9),temp(3,9),cc(9,9)
***** Calcul de la matrice reliant les con-
* traînes de flexion(moments) aux depla-
* cements
*****
do 5 i=1,9
do 5 j=1,9
temp(i,j)=0.d0
5 c=-em*h**3/12.d0/(1.d0-pc**2)
temp(1,4)=2*c
temp(1,6)=2*c*pc
temp(1,7)=6*x*c
temp(1,8)=2*x*pc*c
temp(1,9)=6*y*pc*c
temp(2,4)=2*pc*c
temp(2,6)=2*c
temp(2,7)=6*pc*x*c
temp(2,8)=2*x*c
temp(2,9)=6*y*c
temp(3,5)=(pc-1.d0)*c
temp(3,8)=2*y*(pc-1.d0)*c
c
do 10 i=1,3
do 10 j=1,9
ebc(i,j)=0.d0
10 do 10 k=1,9
ebc(i,j)=ebc(i,j)+temp(i,k)*cc(k,j)
continue
c
return
end

```

**PLAQUE ENCASTRE A UN BORD RESULTAT DES FLECHES**

Donnees generales

\*\*\*\*\*

nombre d elements	:	16
nombre de noeuds	:	15
nombre de degres de libertes	:	6
module d elasticite	:	10000.0
coefficient de Poisson	:	.3000
nombre de noeuds restreints	:	9
poids volumique	:	.0000
Alfa	:	1.000000

\*\*\*\*\*

Donnees des noeuds

\*\*\*\*\*

noeud	coordx	coordy	coordz
1	.000	.000	.000
2	.000	2.500	.000
3	.000	5.000	.000
4	.000	7.500	.000
5	.000	10.000	.000
6	5.000	.000	.000
7	5.000	2.500	.000
8	5.000	5.000	.000
9	5.000	7.500	.000
10	5.000	10.000	.000
11	10.000	.000	.000
12	10.000	2.500	.000
13	10.000	5.000	.000
14	10.000	7.500	.000
15	10.000	10.000	.000

\*\*\*\*\*

restreintes aux noeuds

\*\*\*\*\*

noeud	dx	dy	dz	rotax	rotay	rotaz
1	1	1	1	1	1	1
2	1	1	1	1	1	1
3	1	1	1	1	1	1
4	1	1	1	1	1	1
5	1	1	1	1	1	1
6	0	0	0	1	0	0
10	0	0	0	1	0	0
11	0	0	0	1	0	0
15	0	0	0	1	0	0

\*\*\*\*\*

connectivite des elements

\*\*\*\*\*

e1mt	noeud 1	noeud 2	noeud 3	epaisseur
1	6	1	2	.2000
2	2	7	6	.2000
3	7	2	3	.2000
4	3	8	7	.2000
5	8	3	4	.2000
6	4	9	8	.2000
7	9	4	5	.2000
8	5	10	9	.2000
9	11	6	7	.2000
10	7	12	11	.2000
11	12	7	8	.2000
12	8	13	12	.2000
13	13	8	9	.2000
14	9	14	13	.2000
15	14	9	10	.2000
16	10	15	14	.2000

nombre d. equations = 90

espace requis = 2259

\*\*\*\*\*  
CAS DE CHARGEMENT NO 1  
\*\*\*\*\*

\*\*charges aux noeuds\*\*  
\*\*\*\*\*

nombre de noeuds charges = 3

noeud	fx	fz	Mx	My	Mz	
11	.000	.000	.010	.000	.000	.000
13	.000	.000	.040	.000	.000	.000
15	.000	.000	.010	.000	.000	.000

\*\*\*\*\*  
Deplacements  
\*\*\*\*\*

noeud	dx	dy	dz	rota.x	rota.y	rota.z
1	.0000	.0000	0.0000	0.0000	0.0000	.0000
2	.0000	.0000	0.0000	0.0000	0.0000	.0000
3	.0000	.0000	0.0000	0.0000	0.0000	.0000
4	.0000	.0000	0.0000	0.0000	0.0000	.0000
5	.0000	.0000	0.0000	0.0000	0.0000	.0000
6	.0000	.0000	.0838	0.0000	-.0323	.0000
7	.0000	.0000	.0853	.0003	-.0312	.0000
8	.0000	.0000	.0870	.0002	-.0314	.0000
9	.0000	.0000	.0883	0.0000	-.0314	.0000
10	.0000	.0000	.0893	0.0000	-.0301	.0000
11	.0000	.0000	.2741	0.0000	-.0417	.0000
12	.0000	.0000	.2760	.0007	-.0416	.0000
13	.0000	.0000	.2796	.0007	-.0420	.0000
14	.0000	.0000	.2785	-.0011	-.0415	.0000
15	.0000	.0000	.2788	0.0000	-.0410	.0000

## BIBLIOGRAPHIE

1. Przemieniecki, J. S., Theory of Matrix Structural Analysis, McGraw-Hill, New York, 1968.
2. Desai, C. S., and Abel, J. F., Introduction to the Finite Element Method, Van Nostrand-Reinhold, New York, 1972.
3. Bathe, K. J., and Wilson, E. L., Numerical Methods in Finite Element Analysis, Prentice-Hall, Englewood Cliffs, N. J., 1976.
4. Zienkiewicz, O. C., La Méthode des Éléments Finis Appliquée à l'Art de l'Ingénieur, Édisciene, Paris, 1973, est traduit de The Finite Element Method in Engineering Science, McGraw-Hill, Maidenhead, 1971.
5. Cook, R. D., Concepts and Applications of Finite Element Analysis, 2d ed., Wiley, New York, 1981.
6. Timoshenko, S. P., and Woinowsky-Krieger, S., Theory of Plates and Shells, 2d ed., McGraw-Hill Kogakusha, 1970.
7. Timoshenko, S. P., and Goodier, J. N., Theory of Elasticity, 3rd ed., McGraw-Hill, Singapore, 1982.

8. Weaver, W. Jr, and Johnston, P. R., Finite Elements  
for Structural Analysis, Prentice - Hall, New Jersey, 1984
9. Deprez, G., Fonder, G., Frey, F., Maquoi, R., Rondel, J.,  
Application des Ordinateurs au Calcul des Structures,  
Notes de cours, Université de Liège, 1976
10. Jirousek, J., Calcul des Structures par Ordinateur,  
Ecole Polytechnique Fédérale de Lausanne, Rédition pro-  
visoire, 1982